

UNIVERSIDADE FEDERAL DA PARAÍBA  
CENTRO DE TECNOLOGIA  
PROGRAMA DE PÓS-GRADUAÇÃO EM CIÊNCIA E  
TECNOLOGIA DE ALIMENTOS

GISLEÂNIA DOURADO LANDIM PARENTE

DESENVOLVIMENTO DE TAPIOCA FORTIFICADA COM  
CAROTENOIDES DA CENOURA E INVESTIGAÇÃO DAS  
PROPRIEDADES DO AMIDO DE MANDIOCA

JOÃO PESSOA – PB

2021

**GISLEÂNIA DOURADO LANDIM PARENTE**

**DESENVOLVIMENTO DE TAPIOCA FORTIFICADA COM  
CAROTENOIDES DA CENOURA E INVESTIGAÇÃO DAS  
PROPRIEDADES DO AMIDO DE MANDIOCA**

**JOÃO PESSOA – PB**

**2021**

**GISLEÂNIA DOURADO LANDIM PARENTE**

**DESENVOLVIMENTO DE TAPIOCA FORTIFICADA COM  
CAROTENOIDES DA CENOURA E INVESTIGAÇÃO DAS  
PROPRIEDADES DO AMIDO DE MANDIOCA**

Tese de Doutorado apresentada ao Programa de Pós-graduação em Ciência e Tecnologia de Alimentos, do Centro de Tecnologia, da Universidade Federal da Paraíba em cumprimento aos requisitos para obtenção do título de Doutor em Ciência e Tecnologia de Alimentos.

Orientadora – Prof<sup>a</sup>. Dra. Marta Maria Conceição  
Coorientadora – Prof<sup>a</sup>. Dra. Ana Luiza Mattos Braga

**JOÃO PESSOA – PB  
2021**

**Catalogação na publicação  
Seção de Catalogação e Classificação**

P228d Parente, Gisleania Dourado Landim.

Desenvolvimento de tapioca fortificada com carotenoides da cenoura e investigação das propriedades do amido de mandioca / Gisleania Dourado Landim Parente. - João Pessoa, 2021.

122 f. : il.

Orientação: Marta Maria Conceição.

Coorientação: Ana Luiza Mattos Braga.

Tese (Doutorado) - UFPB/CT.

1. Amido de mandioca. 2. Tapioca. 3. Carotenoides - cenoura. 4. Coacervação complexa. 5. Reologia. I. Conceição, Marta Maria. II. Braga, Ana Luiza Mattos. III. Título.

UFPB/BC

CDU 664.27(043)

GISLEÂNIA DOURADO LANDIM PARENTE

DESENVOLVIMENTO DE TAPIOCA FORTIFICADA COM CAROTENOIDES DA  
CENOURA E INVESTIGAÇÃO DAS PROPRIEDADES DO AMIDO DE  
MANDIOCA

Tese APROVADA em 22 / 02 / 2021

BANCA EXAMINADORA

---

Profa. Dra. Marta Maria Conceição – UFPB/DTA/CTDR  
Coordenadora da Banca Examinadora - Orientadora

---

Profa. Dra. Ana Luiza Mattos Braga – UFPB/DTA/CTDR  
Coorientadora

---

Prof. Dr. Sandro Marden Torres – UFPB/DEM/CT  
Examinador Externo

---

Prof. Dr. Rennan Pereira de Gusmão – UFCG/UAEA/CTRN  
Examinador Externo

---

Profa. Dra. Graciele da Silva Campelo Borges – UFPB/DTA/CTDR  
Examinador Interno

---

Profa. Dra. Ângela Maria Tribuzy de Magalhães Cordeiro– UFPB/DTA/CTDR  
Examinador Interno

## **AGRADECIMENTOS**

A Deus, pois és minha força, meu sustento e minha luz, estás presente em cada passo da minha vida e nada seria possível sem sua divina presença.

A Universidade Federal da Paraíba através do Programa de Pós-graduação em Ciência e Tecnologia de Alimentos, pela oportunidade de realizar esse trabalho e adquirir conhecimentos relevantes a minha carreira profissional.

Ao Departamento de Tecnologia de Alimentos do Centro de Tecnologia e Desenvolvimento Regional – CTDR da UFPB, que em comum acordo aceitaram meu pedido de afastamento das atividades laborais para que eu pudesse me dedicar mais às atividades de pesquisa. Aqui expresso minha gratidão pelo apoio.

A minha orientadora professora Dra. Marta Maria da Conceição, por ter aceitado esse desafio e apostado no sucesso dessa tese.

A minha coorientadora professora Dra. Ana Luiza Mattos Braga, por ter acreditado na minha capacidade de realizar essa pesquisa de doutorado. Muito obrigada por me ensinar a ser uma pesquisadora melhor e ter uma visão mais prática e eficiente no mundo acadêmico sempre relacionando com a industrial e o bem social.

Ao professor Dr. Johan B. Ubbink, que não só confiou veemente em nosso trabalho como também contribuiu realizando análises e compartilhando conhecimento. Tenho muita gratidão e admiração por você.

Aos professores da banca e a todos os outros professores que se dispuseram a me ensinar em especial a professora Cristiani Grizi. Minha eterna gratidão.

A minha família, pelo apoio incondicional em todos os momentos. Quando já não tinha mais forças para continuar vocês me lembraram que sou capaz de vencer qualquer desafio, estenderam as mãos e caminharam junto comigo. Mainha, painho, Ju e Laíny vocês são minha base e essa conquista é nossa. Amo muito vocês.

Ao meu amado esposo que esteve junto comigo desde dos primeiros obstáculos. Muitas vezes abriu mão de momentos de lazer, foi paciente, compreensivo, companheiro e nunca me deixou desistir. Me ajudou diversas vezes a ser otimista e acreditar em mim

mesma. Obrigada meu amor, nós conseguimos! E essas é apenas uma das inúmeras conquistas que alcançaremos juntos. Sou muita abençoada por ter você comigo. Te amo.

Aos meus amigos de trabalho Erivelto Oliveira, Alinne Gouveia, Patrícia Almeida e Hebert Henrique que foram meu suporte emocional quando mais precisei. Me escutaram, me apoiaram e me defenderam sempre que preciso. Muito obrigada, saibam que foram essenciais nessa batalha.

A minha sogra Cecília Maria e minhas cunhadas Clarice Limeira e Clarice Maria por terem me acolhido nos momentos difíceis. As palavras de apoio e o carinho contribuíram fortemente nessa caminhada.

Por fim, gratidão ao universo por essa experiência marcante e todo crescimento pessoal.

## RESUMO

Considerada uma das culturas mais exploradas no mundo, a mandioca é uma raiz rica em amido, utilizado na elaboração de vários produtos. Atualmente, o amido de mandioca é hidratado e comercializado em diversas regiões brasileiras, esse produto conhecido no mercado como goma de tapioca é utilizado há décadas na elaboração de tapioca, mas só recentemente foi industrializada. A tapioca do nordeste do Brasil, é um produto amiláceo à base de mandioca, em formato de panqueca muito consumido por grande parte da população regional, e tem se expandido comercialmente nos últimos anos e está ganhando cada vez mais espaço no mercado internacional. Apesar de sua popularidade, existem poucos estudos sistemáticos sobre tapiocas e seu melhoramento nutricional. Dessa forma, o objetivo dessa pesquisa foi investigar as características da tapioca juntamente com as transformações ocorridas no amido de mandioca durante o processo de elaboração, propor uma definição científica da tapioca, incluindo a especificação técnica do material, e fortificá-la com carotenoides provitamina A da cenoura. Para isso, investigou-se primeiramente, as características físicas da tapioca, aplicando-se um teste de distribuição de tamanho partículas agregadas com a finalidade de esclarecer a condições de temperatura e conteúdo de água em que se obtém o agregado de partículas contínua, ao que se refere a tapioca. Esta tese também realizou um estudo sobre as características do amido de mandioca em misturas com alta concentração de amido (40 -85 %), através de análises reológicas, DRX e MEV. Por fim, foram desenvolvidas micropartícula de carotenoides utilizando a técnica de coacervação complexa seguida de secagem a 30°C em estufa de circulação de ar. As micropartículas foram inseridas a goma de mandioca e comparada com a goma fortificada com o suco de cenoura. Os resultados mostraram o amido hidratado ou goma de mandioca devem ter um mínimo de 37 % de teor de água para que ocorra a formação de tapioca. Observou- se que, as tapiocas têm um núcleo translúcido e totalmente gelatinizado que é elástico e altamente coeso, e crostas seca com estrutura granular semelhante ao do amido de mandioca nativo. Sugere-se que as tapiocas grossas (5 mm) sejam preparadas em temperaturas superiores a 200 °C, enquanto que as tapiocas finas podem ser preparadas em temperaturas a partir de 100 °C, se a fécula de mandioca apresentar pelo menos 43 % de teor de água. Além disso, esse estudo mostrou que a textura das tapiocas parece ser influenciada principalmente pelo tempo de cozimento. Notou-se, através de MEV o rompimento dos grânulos de amido em partículas amiláceas pós aquecimento de mistura com 35 % (p / p) de amido. A amostra de amido nativo apresentou características do padrão de cristalinidade tipo A, o mesmo foi apresentado pelas amostras com 15 25 % de amido, enquanto as amostras com 50 e 60 %, mostraram perda relevante do grau de cristalinidade decorrente do tratamento térmico aplicado. O desenvolvimento de micropartícula de carotenoides da cenoura realizado a partir de coacervação complexa possibilitou a separação de até 87 % do soro da cenoura concentrando em média cinco vezes o carotenoide da cenoura. Além disso, conseguimos secar os sólidos do suco de cenoura coacervado com amido de mandioca como agente de secagem para obter um pó seco. O processo de encapsulação alcançou 79 % de eficiência. Pode -se dizer que a técnica desenvolvida nessa pesquisa para o encapsulamento de carotenoides da cenoura é bastante simples de ser controlado e pode ser aplicada diretamente pelas indústrias locais, uma vez que não requer equipamentos sofisticados e instalação única. A fortificação da goma de mandioca com a micropartícula de carotenoides de cenoura permite padronizar a concentração de vitamina A e direcionar a ingestão diária recomendada no produto, o que não seria viável se a fortificação fosse realizada com adição de suco de cenoura.

**Palavras-chave:** tapioca, amido, enriquecimento, coacervação complexa, reologia, textura

## ABSTRACT

Considered one of the most explored crops in the world, cassava is a root rich in starch, used in the preparation of various products. Currently, cassava starch is hydrated and marketed in several Brazilian regions, this product known on the market as tapioca gum has been used for decades in the production of tapioca, but it has only recently been industrialized. Tapioca from northeastern Brazil, is a starchy product based on cassava, in the form of a pancake widely consumed by a large part of the regional population, and has been expanding commercially in recent years and is gaining more and more space in the international market. Despite its popularity, there are few systematic studies on tapioca and its nutritional improvement. Thus, the objective of this research was to investigate the characteristics of tapioca together with the transformations occurred in cassava starch during the elaboration process, to propose a scientific definition of tapioca, including the technical specification of the material, and to fortify it with provitamin A carotenoids. of the carrot. For this purpose, the physical characteristics of tapioca were first investigated, applying an aggregate particle size distribution test in order to clarify the temperature and water content conditions in which the continuous particle aggregate is obtained, refers to tapioca. This thesis also carried out a study on the characteristics of cassava starch in mixtures with a high concentration of starch (40 -85 %), through rheological analyzes, XRD and SEM. Finally, carotenoid microparticles were developed using the complex coacervation technique followed by drying at 30 ° C in an air circulation oven. The microparticles were inserted into the cassava gum and compared with the gum fortified with carrot juice. The results showed that hydrated starch or cassava gum must have a minimum of 37% water content for tapioca formation to occur. It was observed that tapioca has a translucent and fully gelatinized core that is elastic and highly cohesive, and dry crusts with granular structure similar to that of native cassava starch. It is suggested that thick tapioca (5 mm) be prepared at temperatures above 200 ° C, while thin tapioca can be prepared at temperatures above 100 ° C, if the cassava starch has at least 43% content of water. In addition, this study showed that the texture of tapioca seems to be influenced mainly by the cooking time. It was noted, through SEM, the breaking of the starch granules into starch particles after heating the mixture with 35 % (w / w) starch. The native starch sample showed characteristics of the type A crystallinity pattern, the same was presented by the samples with 15 25 % starch, while the samples with 50 and 60 % showed a relevant loss of the degree of crystallinity resulting from the applied heat treatment. The development of the carrot carotenoid microparticle carried out from complex coacervation allowed the separation of up to 87 % of the carrot serum, concentrating on average five times the carrot carotenoid. In addition, we were able to dry the solids from the coacervated carrot juice with cassava starch as a drying agent to obtain a dry powder. The encapsulation process reached 79 % efficiency. It can be said that the technique developed in this research for the encapsulation of carrot carotenoids is quite simple to be controlled and can be applied directly by the local industries, since it does not require sophisticated equipment and a single installation. The fortification of cassava gum with the carrot carotenoid microparticle allows to standardize the concentration of vitamin A and direct the recommended daily intake in the product, which would not be feasible if the fortification were carried out with the addition of carrot juice.

**Keywords:** tapioca, starch, enrichment, complex coacervation, rheology, texture

## LISTA DE ILUSTRAÇÕES

**Figura 1.** Fluxograma do processo de elaboração da goma de mandioca ..... 22

**Figura 2.** Cadeias de amilose e amilopectina ..... 23

### ARTIGO 1

**Fig. 1.** Typical schematic curve of cassava starch gel obtained through texture profile analysis according to the above method. D1 - 1st compression; D2 - 1st return; D3 - 2nd compression, D4 - 2nd return. Springiness = D3 / D1; Resilience = (Area 3) / (Area 2); Cohesiveness = (Area 4) / (Area 1); Adhesiveness = Area 5. ..... 59

**Fig. 2.** Visual diagrams showing the type of material formed after cassava starch frying pan cooking at different water content and initial temperature for 120 s cooking time. The data are derived from visual observations on cassava starch samples after heat preparation. (A) Ratio 0.29 g / cm<sup>2</sup> (2.5 mm thick samples) (B) Ratio 0.49 g / cm<sup>2</sup> (5 mm thick samples). ■: Free flowing particles; ○: Fragile particle aggregates; \*: Samples with particles sintered at the bottom surface only; ▼: Samples with gelled cores and sintered surfaces (i.e. the regular tapioca structure and texture). ..... 61

**Fig. 3.** Heating curve of the tapioca surface during preparation. The nomenclature Swc stands for Starch water content..... 65

**Fig. 4.** Shear force profile as a function of indentation distance in a shear cutting test of the different tapioca samples determined by the texture analyzer. The nomenclature Swc stands for starch water content. ..... 69

**Fig. 5.** TPA curves for tapioca samples for different preparation times. A) Preparation time of 120 s and temperature of 300 °C, starch water content of 41 % (w/w) ; B) Preparation time of 210 s and temperature of 200 °C, starch water content of 45 % (w/w). ..... 70

**Fig. 6.** Effect of tapioca preparation time on texture parameters values. A) Shear-cutting test and Hardness-TPA results; B) TPA parameters. Tapioca samples were prepared for 120 or 210 s at 300 °C and 45 % of starch water content. ..... 71

### ARTIGO 2

**Figura 1.** Curva de sorção do amido de mandioca em diferentes proporções de amido: água..... 83

**Figura 2.** Fração mássica retida em peneiras de mesh com diferentes granulometrias. 84

**Figura 3.** Micrografias (MEV) do amido de mandioca nativo (A) e do material amiláceo obtido após tratamento térmico das amostras de amido hidratado com diferentes proporções de amido:água. (B) partícula agregada 75:25 % (p / p), (C) partícula agregada

65:35 % (p / p), (D) partícula 55:45 % (p / p), (E) partícula agregada 40:60 % crosta 1, (F) partícula agregada 40:60 % Crosta 2 ..... 86

**Figura 4.** Micrografia eletrônica de varredura da região central do material amiláceo obtido após tratamentos térmico do amido hidratado em proporção 40:60% (p / p) de amido:água ..... 88

**Figura 5.** Padrões de difração de raio X do amido nativo de mandioca e das partículas agregadas fprmadas após tratamento térmico com amido hidratado em diferentes proporções de amido:água (p / p) ..... 89

**Figura 6.** Propriedades de pasta do amido de mandioca em diferentes concentrações. TP = Temperatura de pasta; PV = Pico de Viscosidade; QV = Queda da Viscosidade; VF = Viscosidade Final. ..... 91

### ARTIGO 3

**Fig 1.** Stages of the microencapsulation process. (A) Mixing carrot juice with biopolymers (GA: WPI); (B) Complex coacervation by decreasing pH value, where the coacervate (C1) is taken to the centrifuge and the supernatant (S1) discarded; (C) Centrifugation step - A more concentrated complex coacervate (C2) is obtained; (D) Concentrated complex coacervate 2 is mixed with cassava starch in a 1:1 w/w ratio forming a mass, which was then dried at 30°C. ..... 104

**Fig 2.** Complex coacervation between the whey proteins and gum arabic, in carrot juice, at pH values of 6.0; 5.2; 4.9; 4.0 and 3.0, at different WPI-GA ratio after 12 h ageing at 25 °C. A) Ratio of 1.5:1 WPI:GA; B) Ratio of 6:1 WPI:GA. .... 112

**Fig 3.** Paste properties of starch suspension samples with carrot juice or microparticles added. (A) 40 % suspended solids, (B) 50 % suspended solids and (C) 55 % suspended solids..... 116

**Fig 4.** Visual images of the carotenoid samples during encapsulation process or as final products. A) Complex coacervated sample after centrifugation, (B) Complex coacervated sample dry-blended with cassava starch prior to drying; (C) Carotenoid microparticles; (D) Carotenoid fortified cassava gum; (E) Top view of carotenoid fortified tapioca; (F) Transversional seccction of carotenoid fortified tapioca. .... 119

## LISTA DE TABELAS

<b>Tabela 1.</b> Quantidade de água adicionada no preparo das amostras de goma de tapioca .....	34
<b>Tabela 2.</b> Quantidade dos componentes usados na elaboração da goma de tapioca enriquecida.....	37
<b>Tabela 3.</b> Valores das variáveis aplicadas no preparo das amostras de tapioca .....	41

### **ARTIGO 1**

<b>Table 1.</b> Preparation conditions of the tapioca samples.....	57
<b>Table 2.</b> Classification and description of the characteristics of the final products, after heat preparation of cassava starch at different water content.....	62
<b>Table 3.</b> Color parameters for cassava gum (45 % of water) and prepared tapioca at 200 °C for 120 s.....	66
<b>Table 4.</b> Tapioca samples water activity at 25 °C, water content and the water loss during preparation of the tapioca .....	67
<b>Table 5.</b> Mean and standard deviation values of texture parameters .....	70

### **ARTIGO 2**

<b>Table 1.</b> Preparation conditions of the tapioca samples.....	57
<b>Table 2.</b> Classification and description of the characteristics of the final products, after heat preparation of cassava starch at different water content.....	62
<b>Table 3.</b> Color parameters for cassava gum (45 % of water) and prepared tapioca at 200 °C for 120 s.....	66
<b>Table 4.</b> Tapioca samples water activity at 25 °C, water content and the water loss during preparation of the tapioca .....	67
<b>Table 5.</b> Mean and standard deviation values of texture parameters .....	70

## **ARTIGO 3**

<b>Table. 1.</b> Technical Requirements for satisfactory performance of carotenoid microparticles in cassava gum and tapioca products.....	110
<b>Table. 2.</b> Rheological parameters of gelatinization process of starch suspensions fortified with carrot juice or microparticles.....	116
<b>Table. 3.</b> Textural properties, carotenoid and water content of tapiocas.....	118
<b>Table. 4.</b> Color parameters of carotenoid microparticles and fortified gum immediately after processing (day 0) and following 30 days of storage in plastic bags, at 10 °C, under air contact and light protected. ....	120
<b>Table. 5.</b> Color parameters of the crusts and core of the fortified tapiocas. ....	121

## **LISTA DE ABREVIAÇÕES E SIGLAS**

ANVISA – Agência Nacional de Vigilância Sanitária

AOAC - Association of Official Analytical Chemists

CEASA - Central Estadual de Abastecimento

DRX – Difração de Raio X

DSC – Differential Scanning Calorimetry

FAO – Food and Agriculture Organization

IBGE – Instituto Brasileiro de Geografia e Estatística

IDR – Ingestão Diária Recomendado

MAPA – Ministério da Agricultura, Pecuária e Abastecimento

MEV – Microscopia Eletrônica de Varredura

TPA – Textura Prolife Analysis

WPI - Whey Protein Isolated

WHO - World Health Organization

## SUMÁRIO

<b>1 INTRODUÇÃO.....</b>	<b>18</b>
<b>2 REVISÃO DE LITERATURA .....</b>	<b>20</b>
2.1 MANDIOCA .....	20
2.2 TAPIOCA .....	21
2.3 AMIDO.....	22
<b>2.3.1 Propriedades do grânulo de amido .....</b>	<b>25</b>
2.4 FORTIFICAÇÃO OU ENRIQUECIMENTO DE ALIMENTOS .....	27
2.5 CAROTENOIDES.....	28
2.6 MICROENCAPSULAÇÃO .....	31
<b>3 MATERIAIS E MÉTODOS .....</b>	<b>33</b>
3.1 PREPARAÇÃO DA GOMA DE MANDIOCA.....	33
3.2 PROCESSO PADRONIZADO DE ELABORAÇÃO DA TAPIOCA .....	34
3.3 TESTE DE DISTRIBUIÇÃO DE TAMANHO DE PARTÍCULAS AGREGADAS .....	34
3.4 CARACTERIZAÇÃO VISUAL DA TAPIOCA .....	35
3.5 DESENVOLVIMENTO DE MICROPARTÍCULAS.....	35
3.6 ENRIQUECIMENTO DA GOMA DE TAPIOCA .....	36
3.7 ELABORAÇÃO DE TAPIOCA ENRIQUECIDA COM CAROTENOIDES ..	37
3.8 DETERMINAÇÃO DE CAROTENOIDES .....	38
3.9 DETERMINAÇÃO DE UMIDADE .....	38
3.10 DETERMINAÇÃO DE ATIVIDADE DE ÁGUA .....	38
3.11 DETERMINAÇÃO DE COR.....	39
3.12 ANÁLISE REOLÓGICA DE SUSPENSÕES DE AMIDO .....	39
3.13 DIFRAÇÃO DE RAIO X – DRX .....	40
3.14 MICROSCOPIA ELETRÔNICA DE VARREDURA -MEV .....	41
3.15 TEXTURA INSTRUMENTAL DAS TAPIOCAS .....	41

<b>3.15.1</b>	<b>Análise de perfil de textura – TPA .....</b>	<b>42</b>
<b>3.15.2</b>	<b>Teste de cisalhamento .....</b>	<b>42</b>
<b>3.16</b>	<b>ANÁLISE ESTATISTICA .....</b>	<b>42</b>
	<b>REFERÊNCIAS .....</b>	<b>43</b>
<b>4</b>	<b>RESULTADOS .....</b>	<b>51</b>
4.1	ARTIGO 1: OBSERVATIONS ON THE FORMATION AND TEXTURAL PROPERTIES OF "TAPIOCAS", A TRADITIONAL CASSAVA-BASED FOOD FROM THE NORTHEAST OF BRAZIL.....	51
4.2	ARTIGO 2: A CIÊNCIA DA TAPIOCA: DA GOMA DE AMIDO AO PRODUTO FINAL .....	51
4.3	ARTIGO 3: TRADITIONAL TAPIOCA "PANCAKES" FROM THE BRAZILIAN NORTHEAST: ENRICHMENT WITH MICROENCAPSULATED CARROT CAROTENOIDS.....	51
<b>5</b>	<b>CONSIDERAÇÕES FINAIS.....</b>	<b>126</b>

## 1 INTRODUÇÃO

A mandioca (*Manihot esculenta Crantz*, Euphorbiaceae) é uma raiz arbustiva lenhosa, pertencente à família Euphorbiaceae. Bastante resistente a condições de seca, solo pobre em nutrientes e ataque de pragas, a mandioca é facilmente encontrada em vários países. Além disso, a mandioca é citada pela Food and Agriculture Organization como um poderoso recurso para a segurança alimentar no combate à fome, chegando a atingir um número estimado de 800 milhões de consumidores (FAO, 2016). O Brasil está entre os cinco países com maior plantação de mandioca no mundo com produção média de 19 milhões de toneladas por ano, sendo as regiões Norte, Nordeste e sul responsáveis pela maior parte desse cultivo (IBGE, 2017; NJANKOUO NDAM et al., 2019; WILSON et al., 2017).

A partir da mandioca pode-se obter vários produtos e subprodutos, tais como mandioca congelada, minimamente processada, farinhas, fécula (amido), goma de tapioca, tapioca entre outros (BRASIL, 2011). Dependendo do país e região os produtos podem ter nomes diferentes. Atualmente, os alimentos à base de mandioca têm crescido disparadamente, a indústria de alimentos tem aproveitado essa fase mercadológica para lançar diversos produtos com o propósito de atender as expectativas dos consumidores. Apesar do grande leque de produtos, existe uma carência em relação ao embasamento científico na elaboração desses novos produtos.

No Nordeste brasileiro, a tapioca é um alimento bastante comum e faz parte da rotina alimentar da população, essa característica tem se espelhado pelo Brasil inteiro e conquistado os turistas de inúmeros países. Mesmo com tanta popularidade a tapioca não tem uma definição registrada e nem métodos fundamentados para sua elaboração. Normalmente, o alimento em forma de panqueca elaborado a partir do amido de mandioca hidratado (goma de tapioca) é reconhecido como tapioca. Por ser um produto praticamente a base de amido e água, a tapioca é rica em carboidrato levando a indústria de alimentos investir no enriquecimento nutricional e na praticidade.

A deficiência de vitamina A é vista como um problema de saúde pública sério e pode causar grandes prejuízos ao organismo humano, sendo a cegueira infantil o mais recorrente, além da anemia e a fraca resistência à infecção, o que pode aumentar a gravidade de doenças infecciosas e o risco de morte (BAILEY; WEST; BLACK, 2015; WASSEF et al., 2014), além disso a carência em vitamina A pode desacelerar o crescimento intra-uterino e pós-natal e causar malformações congênitas (CLAGETT-DAME; KNUTSON, 2011).

A ingestão de alimentos com baixa quantidade ou sem vitamina A é preocupante pois os seres humanos não apresentam a habilidade de sintetizá-la (TOZER et al., 2019). A preocupação se torna maior quando se refere a criança, uma vez que, a quantidade de refeições consumida por estas muitas vezes é bastante limitada, sendo imprescindível fornecer nutrição ideal em todas as refeições (ABBASPOUR; HURRELL; KELISHADI, 2014). Para melhorar a saúde pública e aumentar o acesso as vitaminas e minerais essenciais, tais como iodo, ferro, ácido fólico e vitamina A, muitos países desenvolvidos introduziram políticas nacionais de fortificação (ROSELL, 2016). Segundo Dobe, Garg e Bhalla (2017), as intervenções nutricionais para combater a desnutrição podem levar a um alto retorno dos investimentos.

As vitaminas geralmente apresentam grande sensibilidade a diversos fatores (calor, agentes oxidantes e redutores, luz, estresses físicos e químicos). Por sua vez, a vitamina A é instável a altas temperaturas, presença de oxigênio e luz, devido à sua suscetibilidade à oxidação. Portanto, medidas de proteção devem ser usadas para reduzir sua degradação, sendo a microencapsulação uma forma eficiente para protelar a estabilidade da vitamina A e seus precursores (carotenoides) (ROSELL, 2016). O processo de microencapsulação consiste basicamente em aprisionar um determinado agente ativo dentro uma substância que formará uma membrana de proteção (ESFANJANI et al., 2015; RAJABI et al., 2015) e com isso impedir que o material principal entre em contato com condições ambientais adversas. Além de favorecer a vida útil do produto a microencapsulação pode promover liberação controlada do bioativo (POURASHOURI et al., 2014a, 2014b)

Diante do exposto, a presente tese teve como objetivo investigar o comportamento do amido de mandioca em altas concentrações dentro do processo térmico semelhante ao preparo da tapioca em seu estado puro e na presença de microcápsulas ricas em carotenoides a partir do suco de cenoura.

## 2 REVISÃO DE LITERATURA

### 2.1 MANDIOCA

A mandioca (*Manihot esculenta*) é classificada como um arbusto lenhoso pertencente à família Euphorbiaceae, capaz de suportar condições adversas e adaptando-se facilmente a diversos ambientes (BURNS et al., 2010; WANG et al., 2014). Suas raízes apresentam grande potencial de produção de amido, glutamato monossódico, glicose e produtos de papel além de serem bastante utilizadas na alimentação animal (CHINNADURAI et al., 2019).

De acordo com a FAO (2016), a mandioca é considerada a sexta cultura alimentícia mais importante do mundo, fazendo parte da rotina alimentar de mais de 800 milhões de pessoas em todo o mundo. Historicamente, não existe nenhuma certeza em relação a origem do plantio de mandioca, mas acredita-se que seu cultivo para fins alimentícios teve início no oeste do Brasil e se estendeu inicialmente entre os grupos pré-colombianos. Com o passar dos anos, a mandioca ganhou espaço pela América do sul e África, tornando-se uma das culturas mais consumidas pelos africanos, garantindo assim, grande parte da produção mundial (CAGNATO, 2016; SHIGAKI, 2016).

Em 2017, foram produzidos mais de 291 milhões de toneladas de mandioca no mundo, onde boa parte foi cultivada pela Nigéria com produção média de 59 milhões de tonelada, seguida da República Democrata do Congo ( $\pm$  31 milhões) e Tailândia ( $\pm$  30 milhões). A produção brasileira, chegou a mais de 23 milhões de toneladas em 2015 caindo para 18.876.470 toneladas em 2017, contudo, esse valor ainda é estimado alto, correspondendo a 6,46 % da produção mundial. No geral, as atividades relacionadas ao cultivo da mandioca e seus derivados promove quase um milhão de empregos diretos no País, sendo 450 mil diretos e 500 mil indiretos. (FAO, 2019, ALVES et al., 2010).

Segundo os dados do IBGE (2017), as regiões Norte e Sul do Brasil são responsáveis por mais da metade do cultivo total de mandioca no país, sendo o Pará e o Paraná os Estados que atualmente mais contribuem com o plantio, apresentando uma produção de 22 e 17 %, respectivamente. No Nordeste a produção chega a 21 %, tendo o Maranhão, Bahia e Ceará os Estados com maior percentual da colheita de mandioca da região. Na Paraíba, o plantio de mandioca cresce a cada ano, entre 2015 e 2017 houve um aumento de 15.095 toneladas, movimentando em média 78.917 mil reais por ano (IBGE, 2019).

Uma forma de minimizar as perdas pós-colheita da mandioca é utilizá-la como matéria-prima na indústria de processamento de alimento. No mundo, existem inúmeros produtos

derivados da mandioca, na África, por exemplo, a raiz é utilizada na fabricação de farinha, amido, fufu, tapioca, makopa, chingwage, rali, gari entre outros (ABASS et al., 2018).

No Brasil, a mandioca pode ser encontrada no mercado na sua forma in natura, congelada, minimamente processada ou em chips, além disso é utilizada na fabricação de farinha e fécula, que por sua vez são usados na elaboração diversos outros subprodutos. A farinha pode ser do tipo seca, farinha d'água (de origem amazônica) ou bijusada, diferenciadas de acordo com o processo de fabricação (BRASIL, 2011). A fécula, também conhecida como amido ou polvilho, consiste em um pó branco, sem cheiro ou sabor, encontrado no comércio varejista para uso doméstico e podendo ser utilizada também pela indústria, como ingrediente para melhorar a textura de alimentos como molhos, sopas, pudins e sorvete (COÊLHO, 2018).

## 2.2 TAPIOCA

A palavra tapioca significa “tirado do fundo” e vem da língua tupi: typi-og, sendo assim originalmente brasileiro (BACELAR; GÓIS, 1997). A legislação brasileira, de acordo com a Instrução Normativa nº 23 de 14 de Dezembro de 2005 do Ministério da Agricultura, Pecuária e Abastecimento (MAPA) que regulamenta os produtos amiláceos derivados da raiz de mandioca designa o termo tapioca para o produto que, conforme o processo de fabricação se apresenta sob forma de grânulos irregulares, poliédricos ou esféricos, e subdivide-se em : tapioca granulada (Flakes granulated) quando o produto apresentar forma de grânulos, poliédricos irregulares, de diversos tamanhos e tapioca pérola (Pearl) ou sagú artificial quando o produto estiver sob forma de grânulos esféricos irregulares, de diversos tamanhos (BRASIL, 2005a).

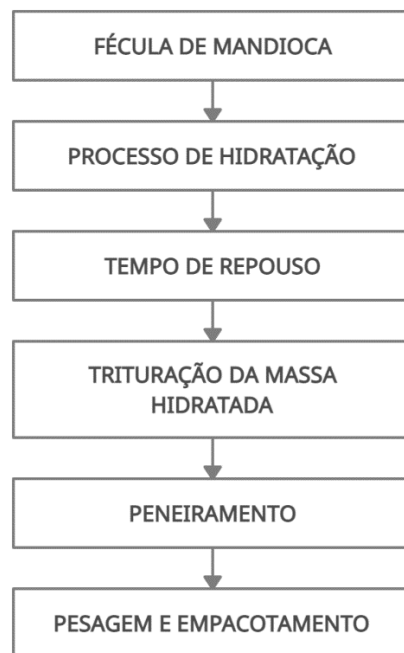
Popularmente, o termo “tapioca” tem vários significados dependendo da cultura de cada região do Brasil, o que tem gerado grande confusão e dúvidas entre os consumidores. Os equívocos em relação a esse termo também são observados fora do Brasil. Segundo Chisté et al. (2012), em diversos países as expressões, *cassava starch*, *tapioca flour* e *tapioca starch* são usadas para denominar a farinha de tapioca, mas na verdade estão se referindo a fécula de mandioca.

Normalmente, no Nordeste a tapioca é o produto na forma de crepe elaborado a partir amido de mandioca hidratado também conhecida como goma de mandioca ou goma de tapioca. A Figura 1 apresenta as etapas do processo de para elaboração da goma de mandioca. Primeiramente, adiciona-se água em excesso a fécula de mandioca para que ocorra a hidratação do grânulo de amido, a mistura fica em repouso por um período de 12 a 24 horas em temperatura

ambiente (25-28°C). durante esse período de repouso o amido sofrerá uma precipitação. A água sobrenadante é retirada e a massa de amido hidratado segue para a etapa de trituração, onde os blocos grandes de massa são destruídos e submetidos ao peneiramento, feito isso, a goma de mandioca encontra-se pronta para o preparo de tapioca.

Na região Norte a tapioca do Nordeste é mais conhecida como tapioca e a tapioca ou farinha de tapioca pronta para o consumo consiste no produto elaborado a partir da goma de mandioca peneirada submetida a altas temperaturas ( $\pm 240^{\circ}\text{C}$ ) até que ocorra a moldagem do granulo devido à alta temperatura, processo conhecido como “espocamento”. Este produto tanto pode ser consumido diretamente como pode ser usado no preparo de receitas típicas da região (SHIGAKI, 2016; SILVA et al., 2013).

**Figura 1.** Fluxograma do processo de elaboração da goma de mandioca



**Fonte:** Próprio autor

### 2.3 AMIDO

O amido é um polímero, bastante encontrado na natureza e considerado o principal componente de fonte de energia na dieta humana e animal. É sintetizado e armazenado na forma granular em plastídios durante a fotossíntese, seu armazenamento a longo prazo é feito em amiloplastos como os encontrados no endosperma dos grãos (WANG; HENRY; GILBERT, 2014).

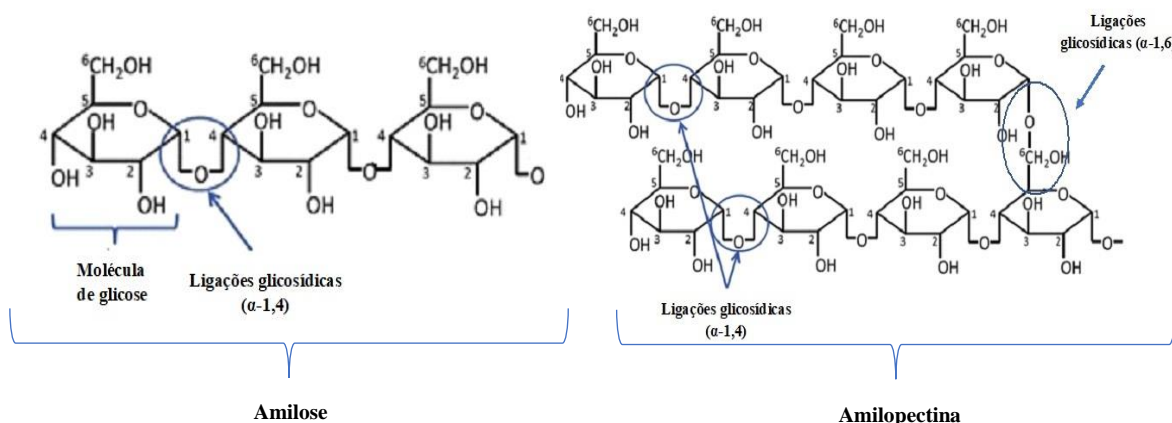
Segundo Singh et al. (2003), o amido apresenta atributos fundamentais, responsáveis pelas características tecnológicas de grande importância para boa parte dos produtos industrializados, contribuindo para o melhoramento das propriedades de textura dos alimentos, além de possuir funcionalidade relevantes para indústria, como estabilizador de colóides, espessante, agente gelificante e de volume, adesivo, na retenção de água, dentre outros.

A estrutura do amido está diretamente ligada ao desenvolvimento das plantas, e por isso intimamente relacionada às condições agronômicas do ambiente de cultivo, podendo haver diversas influências ambientais sob o tamanho e formação do grânulo (DAIUTO; CEREDA, 2006). Os amidos de diferentes fontes botânicas variam em termos de suas propriedades funcionais (por exemplo, temperatura de início da gelatinização, viscosidade final da pasta, formação de pastas em duas fases ou viscosidade da pasta) e, portanto, em seus usos finais. Essa variação decorre de diferenças na estrutura do amido, como o tamanho dos grânulos de amido, sua composição e arquitetura molecular dos polímeros constituintes (WANG; HENRY; GILBERT, 2014).

O grânulo de amido é composto por regiões amorfá e cristalina alternadas, formadas por dois polissacarídeos a amilose e amilopectina (ZHANG et al., 2018). Ambas são construídas a partir de moléculas de D-glicose unidas por meio de ligações glicosídicas  $\alpha$ -1,4, formando cadeias lineares (amilose), nas ramificações apresentadas principalmente pela amilopectina, encontram-se ligações  $\alpha$ -1,6 (Figura 1) (WANG; HENRY; GILBERT, 2014).

A qualidade funcional do amido pode ser afetada pela sua morfologia, características moleculares, organização física da amilose e amilopectina dentro da estrutura granular, bem como da razão entre elas e sua distribuição de tamanhos, onde as mesmas podem variar de acordo com a origem botânica do amido (VILLAS-BOAS et al., 2019).

**Figura 2.** Cadeias de amilose e amilopectina



**Fonte:** Adaptado de Gous e Fox (2017)

A instabilidade da amilose em solução aquosa pode formar retículos pela retrogradação afetando significativamente as propriedades reológicas do amido. Além que, sua presença pode reduzir o ponto de fusão das zonas cristalinas e a energia inicial necessária para a gelatinização, isso deve-se as cadeias longas de amilopectina, que exigem temperaturas mais elevadas para dissociarem completamente. Sendo assim, amidos ricos em amilose tem região zona amorfa maior, e são mais susceptíveis a perda da cristalinidade em temperatura de gelatinização mais branda (SINGH et al., 2003).

Dentro de cada molécula, as cadeias constituintes são categorizadas de acordo com a sua conexão com outras cadeias: cadeias A são cadeias externas que não possuem ramificações, enquanto cadeias B são aquelas que carregam uma ou mais ramificações. A cadeia C é a cadeia de cadeia B única por molécula que possui uma extremidade redutora livre. Nos modelos de amilopectina, os pontos de ramificação estão concentrados em certas regiões a partir das quais os segmentos de cadeias lineares se estendem para formar aglomerados (PFISTER; ZEEMAN, 2016).

O tipo de polimorfo cristalino depende do comprimento da cadeia curta em amilopectina. As cadeias mais curtas, encontradas em grãos de cereais, favorecem a formação de cristalitos de tipo A, enquanto cadeias mais longas, encontradas em tubérculos, normalmente formam cristalitos do tipo B (CARLSTEDT et al., 2015).

A organização molecular da amilopectina, sua composição do amido em relação as frações de amilose e arquitetura granular (proporção de regiões cristalinas e amorfas) têm grande influência sob as propriedades de inchamento e gelatinização do amido. Recentemente, tem se observado um grande interesse em compreender melhor a estrutura interna da amilopectina e seu papel nas propriedades físico-químicas do amido(BERTOFT, 2017; SIMI; ABRAHAM, 2008; SINGH et al., 2003).

Segundo Bertoft (2017), a parte interna da amilopectina refere-se à parte da molécula desde a única extremidade redutora até os ramos mais externos. Os ramos estão concentrados nesta parte na forma de blocos de construção e clusters. A parte interna da amilopectina contribui para a formação das lamelas amorfas dos grânulos, enquanto a parte externa forma a região cristalina.

Em média, o amido de mandioca é composto por 82 % de amilopectina e 18 % de amilose, enquanto nos amidos de cereais, a quantidade de amilose varia de 20 a 25 % (CEREDA, 2001). Com relação as características morfológicas do amido de mandioca,

acredita-se que seus grânulos apresentam formato oval, truncada e arredondada, como observado por várias técnicas microscópica (VAN HUNG et al., 2017).

Van Hung et al., (2017) concluiu que todo o amido de mandioca analisado exibia tipo A ou Ca (o tipo Ca denota que a porção do tipo A é dominante sobre o tipo B na composição polimórfica), onde um estudo detalhado de difração de raios X em grande ângulo mostrou que a porcentagem de tipo B presente no amido do tipo Ca variou de 10 a 20 %). Observou-se também, a partir de análises de micrografia de luz, o processo de gelatinização dos grânulos de amido de mandioca em diferentes temperaturas e diferentes tempos e viu que a suspensão do amido de mandioca em excesso de água (2 % p / v) permite gelatinização suficiente e os grânulos de amido de mandioca aumentaram rapidamente em tamanho em 10 s a 60 °C e depois mudaram lentamente, demonstrando o rápido e limitado inchaço do amido de mandioca.

Em geral, os amidos nativos de mandioca, são amostras interessantes devido ao seu padrão de cristalinidade do tipo A possuem baixa capacidade de retenção de água, retrogradação e sinérese (BERTOFT et al., 2010; CHEN; FU; LUO, 2015).

### 2.3.1 Propriedades do grânulo de amido

O poder de inchamento do grânulo, a gelatinização e a retrogradação, são propriedades importantíssimas que podem ajudar a compreender as características físicas, químicas e funcionais do amido. Ainda que, exista inúmeros estudos envolvendo as propriedades do amido, o conhecimento do mesmo não é suficiente para sanar todas as dúvidas envolvendo o assunto, principalmente no que diz respeito a sistemas mais complexos (CARLSTEDT et al., 2015; HAN et al., 2019; MATIGNON; TECANTE, 2017).

O amido é considerado um material semicristalino onde possui moléculas lineares de amilose e moléculas de cadeias ramificadas (amilopectina), as quais são conectadas por ligações de hidrogênio, formando regiões cristalinas e amorfas. De acordo com Hoseney (1994), não existe uma demarcação entre as zonas amorfas e cristalinas, acredita-se existe uma estrutura supramolecular em que as partes amorfas e cristalinas apresentam uma relação mútua. (ZOBEL, 1988).

Quando são aquecidos na presença de água, os grânulos de amido têm a capacidade de absorver água e inchar, com isso, à medida que a temperatura e a absorção de água aumentam, os grânulos se rompem com o desordenamento das cadeias e a amilose e amilopectina se solubilizam, caracterizando o processo de gelatinização. Quando o sistema gelatinizado é submetido ao resfriamento, as cadeias desordenadas passam por reordenamento e re-associação

através de interações moleculares e ligação de hidrogênio. Este processo é denominado retrogradação. (WANG et al., 2015)

Wang e Copeland (2013) descreve mais detalhadamente a gelatinização apresentando uma série de eventos que podem ocorrer durante o processo, onde o amido sofre uma absorção de água, inchaço, ruptura irreversível da ordem molecular interna por dissociação de hélices duplas e fusão de cristalitos, lixiviação de polissacarídeos, desintegração de grânulos inchados e formação de uma pasta ou gel.

Estudos mostraram que, os amidos com maior teor de amilose ou com cadeias de glucana mais longas e menos ramificadas (material intermediário ou amidos de amilopectina de cadeia longa) são mais propensos à retrogradação, enquanto a retrogradação da amilopectina está geralmente ligada à capacidade das cadeias externas de glucana em formar hélices duplas. O comprimento de cadeias internas mais longas de amilopectina contribui para formação de amilopectina recristalizada com uma estrutura mais organizada e com maior estabilidade (SASAKI; YASUI; MATSUKI, 2000; VAMADEVAN; BERTOFT, 2015; ZHU, 2018).

Normalmente, a formação de um estado de gel ocorre como consequência da formação de ligações entre moléculas que interagem ou partículas coloidais dentro de um meio solvente. Isto pode levar ao estabelecimento de uma estrutura de percolação que é essencialmente capaz de imobilizar a fase de solvente, fazendo a transição de um material de um estado de sol para um estado de gel (DAY et al., 2016).

A firmeza de um gel, durante a retrogradação do amido, pode estar relacionada com o desenvolvimento de uma fonte de amilose, e o aumento lento na dureza do gel pode ser devido a reestruturação da molécula de amilopectina. Estudos indicaram que amidos de genótipos não-mutantes, a amilose pode promover mudanças na característica do gel em menos de 24 horas, enquanto, as mudanças estruturais em períodos maiores e as características reológicas do gel são de responsabilidade da amilopectina (HOOVER, 2001; LIU; THOMPSON, 1998).

Os grânulos de amido de mandioca geralmente exibem uma forma poliédrica e truncada com tamanhos entre de 10 a 53  $\mu\text{m}$  (VALENCIA; DJABOUROV; SOBRAL, 2016). O conteúdo de amilose pode variar entre 18,78 a 30,3 % (POURMOHAMMADI et al., 2018). Apresentam polimorfo do tipo A e cristalinidade relativa de 24,10 %. A transição de gelatinização do grânulo de amido de mandioca tem uma temperatura inicial de 50 °C, temperatura de pico de 62 °C e entalpia de transição  $\Delta H$  de 13,58 J/g de amido seco (VALENCIA; DJABOUROV; SOBRAL, 2016; WANG et al., 2019).

Han et al. (2019), verificou que há uma diferença substancial nas mudanças dos grânulos durante a gelatinização entre o amido de mandioca e a batata doce. Os grânulos de amido de

mandioca permanecem intactos com leve inchaço, com aproximadamente 8,5 % de amilose sendo lixiviada em água por 30 min a 60 °C. Em contraste agudo, os grânulos de amido de batata incham muito bem e rapidamente, perdendo muita integridade com 51,05 % de lixiviação de amilose. O tempo de gelatinização e a temperatura têm efeitos muito maiores nas mudanças dos grânulos de amido de batata do que nos grânulos de amido de mandioca.

## **2.4 FORTIFICAÇÃO OU ENRIQUECIMENTO DE ALIMENTOS**

O enriquecimento ou fortificação de alimentos consiste na adição de um ou mais vitaminas e / ou minerais em um determinado produto alimentício. É de extrema importância que essa adição de nutriente aos alimentos seja realizada com base em estudos científicos envolvendo o desempenho das vitaminas e minerais na saúde humana além disso, deve ser levado em consideração a biodisponibilidade do micronutrientes, a preservação das características sensoriais e que tenha uma boa aceitação pela população (CARDOSO et al., 2019; ROSELL, 2016)

De acordo com a ANVISA por meio da Portaria n º 31, de 13 de janeiro de 1998, “alimento fortificado/enriquecido ou simplesmente adicionado de nutrientes é todo alimento ao qual for adicionado um ou mais nutrientes essenciais contidos naturalmente ou não no alimento, com o objetivo de reforçar o seu valor nutritivo e ou prevenir ou corrigir deficiência (s) demonstrada (s) em um ou mais nutrientes, na alimentação da população ou em grupos específicos da mesma” (BRASIL, 1998).

A produção de alimentos fortificados ou enriquecidos visa principalmente, prevenir ou minimizar problemas de deficiência de um ou mais nutriente na população ou em um grupo especial da população e tem sido um dos melhores métodos para a correção das deficiências nutricionais principalmente na infância, sendo necessária e recomendada no caso de deficiência ser endêmica ou quando se destina a populações de alto risco, mostrando ser um processo eficaz por atingir vários níveis sociais, além de ser uma medida efetiva a curto, médio e longo prazo, e por apresentar baixo risco de toxicidade (MARQUES et al., 2012; ROSELL, 2016).

O enriquecimento de alimentos pode ser obrigatório ou voluntário. Estas categorias referem-se ao nível de obrigação requerida pelos produtores de alimentos para cumprir os alvos do governo expressos na lei. Com relação a fortificação obrigatória, acontece quando o governo obriga, legitimamente, os produtores a fortificar determinados alimentos com micronutrientes específicos. Este tipo de fortificação é estabelecido quando uma parte da população (a maioria ou um grupo específico) apresenta necessidades expressivas em micronutrientes específicos,

em nível de saúde pública, podendo tais necessidades ser minimizadas através do fornecimento contínuo e regular de alimentos fortificados, que contenham esses micronutrientes (ALLEN et al., 2006).

No Brasil, os elevados índices de anemia e de doenças causadas pela deficiência de ácido fólico, induziram o Ministério da Saúde e a Anvisa (2002) a exigirem a fortificação de farinhas de trigo e milho. Os resultados positivos na fortificação de alimentos podem ser alcançados com a utilização de micronutriente que ofereçam boa disponibilidade de absorção pelo organismo, que possua características semelhantes ao alimento original, que participe da alimentação habitual da população e que tenha boa aceitação, além disso os consumidores tem procurado cada vez mais por alimentos ricos nutricionalmente que não só sacie a fome mas também proporcionem benefícios à saúde (MARQUES et al., 2012; PÁRAMO-CALDERÓN et al., 2019).

## **2.5 CAROTENOÍDES**

Os carotenoides fazem parte de um grupo diversificado de pigmentos naturais, sintetizados por organismos fotossintéticos, incluindo plantas, algumas bactérias e fungos não fotossintéticos. Como os animais (exceto algumas espécies de pulgões) são incapazes de sintetizar carotenoides, eles precisam ser obtidos a partir dos alimentos (MORAN; JARVIK, 2010; NAMITHA; NEGI, 2010). Com base em sua estrutura química, os carotenoides podem ser classificados como carotenos e xantófilos, onde o  $\beta$ -caroteno e o licopeno são exemplos de carotenos, isto é, carotenoides não oxigenados. Luteína, zeaxantina, astaxantina e cantaxantina são exemplos de xantofilas, ou seja, derivados oxigenados de carotenos. O  $\alpha$ -caroteno, o  $\beta$ -caroteno e o licopeno são os carotenoides funcionais não polares predominantes e a luteína é o carrenoide funcional polar primário (ABUAJAH; OGBONNA; OSUJI, 2015; SHETE; QUADRO, 2013).

De acordo com a literatura, existem mais de 700 carotenoides, dos quais 40 estão presentes no suprimento de alimentos humanos, a partir de frutas e legumes, dos quais menos de um décimo foi minuciosamente estudado. Tal fato mostra a necessidade de estudar novas moléculas de carotenoides e relacioná-las com suas fontes alimentares e efeitos biológicos(MONEGO; DA ROSA; DO NASCIMENTO, 2017).

Os carotenoides desempenham papéis importantíssimos na vida dos animais, tais como, proteção contra câncer de pulmão, cabeça, pescoço e próstata, provavelmente devido a seu potencial antioxidante mediada pela oxidação do ânion radical superóxido; ajuda na modulação

do sistema imunológico, fatores de crescimento e vias de sinalização intracelular (comunicação de junção de gap); na regulação da diferenciação celular, ciclo celular e apoptose; fotoproteção contra radiação UV; e como precursores do pigmento visual retinol (Vitamina A) (SAINI; SHETTY; GIRIDHAR, 2014). Além disso, recentemente foram notificadas evidências que os carotenoides podem melhorar a função cognitiva e reduzir a adiposidade e a obesidade (BONET et al., 2015; CANAS et al., 2017; JOHNSON, 2012; LINDBERGH et al., 2017).

De acordo com Harrison (2012), a absorção e distribuição tecidual dos carotenoides ocorre por processos semelhantes aos de outros compostos solúveis em gordura da dieta, onde os carotenoides são primeiramente liberados da matriz alimentar e solubilizados em gotículas de óleo, em seguida são transferidos para micelas mistas de sal biliar que são geradas durante a digestão de triglicerídeos, fosfolipídios e ésteres de colesterol para formar ácidos graxos livres, mono- e di-acilglicerídeos, liso-fosfolipídios e colesterol livre.

A absorção de carotenoides a partir de alimentos vegetais ingeridos é relativamente ineficiente. É de grande interesse da sociedade acadêmica o estudo de estratégias que venha aumentar a eficiência da absorção de carotenoides. São vários os fatores que podem afetar a absorção dos carotenoides entre eles as características físico-químicas dos carotenoides, barreiras físicas e químicas naturais dentro de tecido da planta, barreiras químicas induzidas durante o processamento e a preparação de alimentos que impedem a solubilização de carotenoides em gotículas lipídicas emulsionadas. Resumindo, a absorção de carotenoides é amplamente dependente da bioacessibilidade dos carotenoides (DURING et al., 2002; KOPEC; FAILLA, 2018; REBOUL, 2013). Portanto, apesar dos carotenoides serem encontrados em grandes quantidades nos alimentos vegetais, isso não significa necessariamente que seu impacto biológico seja significativo (FIEDOR; BURDA, 2014; PRIYADARSHANI, 2017).

Os carotenoides da provitamina A contêm pelo menos um anel de  $\beta$ -ionona não substituído (por exemplo,  $\beta$ -caroteno,  $\alpha$ -caroteno,  $\beta$ -criptoxantina) e podem ser clivados enzimaticamente para produzir vitamina A, um micronutriente essencial para os seres humanos (RAGHUVANSI et al., 2015).

A deficiência de vitamina A é considerado um problema de saúde pública sério e pode causar uma série de problemas, sendo a principal cegueira infantil o mais recorrente, podendo ser evitável na primeira infância, além da anemia e a fraca resistência à infecção, o que pode aumentar a gravidade de doenças infecciosas e o risco de morte (BAILEY; WEST; BLACK, 2015; WASSEF et al., 2014)

Entre as estratégias usadas para minimizar o problema da deficiência de vitamina A, a fortificação dos alimentos tem sido uma das intervenções mais eficazes com resultados

positivos. Recentemente, em um estudo feito por Masnadi Shirazi e colaboradores. (2018), mostrou que a suplementação de 25.000UI / dia de vitamina A em pacientes com colite ulcerativa melhora significativamente a atividade geral da doença em comparação com o placebo, além de desenvolver a cicatrização da mucosa.

Mendu, Nair e Athe (2019), realizaram uma revisão sistemática e meta-análise dos ensaios para identificar e quantificar o efeito de alimentos enriquecidos com vitamina A na concentração sérica de vitamina A em crianças menores de 10 anos e concluíram que o consumo de alimentos enriquecidos com vitamina A resulta em um aumento da concentração de retinol e, portanto, na redução da deficiência de vitamina A entre as crianças, sendo assim uma estratégia eficaz no combate e prevenção da deficiência de vitamina A.

O suco de cenoura consiste em uma excelente fonte de carotenoides e outros compostos nutricionalmente importantes, como polifenóis, fibras alimentares, incluindo pectina ou ácidos orgânicos, entre outros (STINCO et al., 2019; ZHANG et al., 2016). Apesar da grande quantidade de carotenoides presente na cenoura, existe uma certa dificuldade para libera-la da matriz alimentar, isso porque, os carotenoides estão localizados nos cromoplastos das células vegetais, sua liberação da matéria-prima é restringida pelas membranas celulares e paredes celulares que afetam sua bioacessibilidade. Portanto, dependendo do produto final há necessidade de adotar um processamento mecânico apropriado para diminuir o tamanho das partículas e destruir barreiras estruturais ((LIU et al., 2019).

Os carotenoides usados na indústria de alimentos como precursor da vitamina A ou como corante natural, referem-se a um composto lável e facilmente degradável pelo calor, luz e oxigênio, sendo necessário o uso de técnicas apropriadas que venham prolongar o tempo de vida útil dos carotenoides e outros bioativos (GUL et al., 2015). A incorporação desses ingredientes bioativos para produzir alimentos funcionais exige um grande cuidado, principalmente no que diz respeito à estabilidade durante o processamento e armazenamento, havendo necessidade de evitar interações indesejáveis com a matriz alimentar transportadora e garantir sua estabilidade sem perder a funcionalidade até atingir o trato gastrointestinal humano e finalmente liberar os ingredientes bioativos no local desejado (SILVA; BARREIRA; OLIVEIRA, 2016). São vários os estudos envolvendo estratégias de proteção desses compostos, entre eles o encapsulamento é um dos meios mais eficaz capaz de melhorar a estabilidade dos mesmos (GUL et al., 2015).

Rutz e colaboradores (2016), desenvolveram micropartículas contendo  $\beta$ -caroteno sintético e óleo de palma. Para isso foi aplicado o método de coacervação complexa usando quitosana e carboximetilcelulose como material de parede e o método de gelificação iônica

usando tripolifosfato de quitosana e sódio como material de parede. Com isso, verificaram alta eficiência de microencapsulação nos dois métodos utilizados (acima de 95 %) mostrando viabilidade no processo de elaboração de micropartículas de carotenoides por tais processos.

Além da coacervação complexa, os carotenoides podem ser encapsulados por diferentes outros métodos como spray-drying, spray-cooling, sistema de emulsão, lipossomas, nanopartículas lipídicas sólidas, complexação por inclusão entre outras. A técnica de spray-drying é a mais utilizada para a microencapsulação de carotenoides, vários trabalhos foram publicados mostrando a variedade de biopolímeros que podem ser usados como agentes encapsulantes onde a goma arábica apresentou maior eficiência devido à capacidade de formar emulsões estáveis, solubilidade adequada e baixa viscosidade (GONÇALVES; ESTEVINHO; ROCHA, 2016).

## 2.6 MICROENCAPSULAÇÃO

A microencapsulação é definida como um processo para prender uma substância (agente ativo) dentro de outra substância (material de parede) (RAJABI et al., 2015). O principal objetivo do encapsulamento é proteger o material do núcleo de condições ambientais adversas, tais como efeitos indesejáveis de luz, umidade e oxigênio (POURASHOURI et al., 2014a, 2014b), além de retardar a oxidação, especialmente de lipídios, proteger agentes ativos de perdas nutricionais, ajuda a mascarar propriedades organolépticas desagradáveis, como odor e sabor de alguns compostos e proporciona a liberação do material do núcleo de forma controlada (JANISZEWSKA-TURAK et al., 2017; NARSAIAH et al., 2014).

Esta tecnologia, tem sido amplamente utilizada em indústrias de alimentos por inúmeras razões, como por exemplo, a estabilização de compostos bioativos, liberação controlada dos compostos bioativos, mascarar o seu sabor desagradável e odor (DORDEVIC et al., 2015.). A seleção de um método de microencapsulação depende de aplicações e parâmetros específicos como o tamanho de partícula necessário, propriedades físico-químicas do núcleo e materiais de revestimento, mecanismos de liberação, custo do processo, entre outros (MAHDavi et al., 2014).

De acordo com Gonçalves, Estevinho e Rocha (2016), a escolha de um agente encapsulante apropriado e o método a ser aplicado são pontos determinantes para o êxito de uma microencapsulação. O agente de encapsulamento determinará a eficiência do encapsulamento, a estabilidade das micropartículas e as características do produto final, enquanto o método de microencapsulação deve ser selecionado de acordo com as propriedades

físicas e químicas do material do núcleo e do agente de encapsulamento, o tamanho e a forma desejáveis das micropartículas, e o perfil exigido de liberação controlada (GONÇALVES; ESTEVINHO; ROCHA, 2016).

Existem inúmeras técnicas de microencapsulação as principais são spray-drying (ALCÂNTARA et al., 2019; STOUT; PARK; DRAKE, 2017), liofilização (YAMASHITA et al., 2017), baseadas em fluidos supercríticos (VILLANUEVA-BERMEJO et al., 2017), lipossomas (DAG; OZTOP, 2017), gelificação iônica (OTÁLORA et al., 2016) e coacervação complexa (JAIN et al., 2016; SHADDEL et al., 2018).

Entre os método de microencapsulação, a coacervação se destaca por ser um procedimento com grandes vantagens, incluindo condições de reação mais moderadas durante o processamento, menor custo em equipamentos e maior capacidade de carga e entre outros (COMUNIAN; FAVARO-TRINDADE, 2016).

A coacervação complexa é um método de microencapsulação que se refere a uma separação de fases direcionada por interações estáticas de moléculas carregadas em ambiente aquoso. Os coacervados formam soluções turvas feitas de gotículas líquidas micrométricas com um formato esférico que geralmente coalescem, resultando ainda mais na separação macroscópica de fase. Dois tipos de fenômeno de coacervação são distinguidos: a coacervação complexa e a coacervação simples ou auto (PERRO et al., 2019). O termo coacervação geralmente é usado na química para denotar a separação de fase associativa induzida pela alteração do pH, força iônica, temperatura ou solubilidade do meio de dissolução (SCHMITT; TURGEON, 2011). De acordo com Timilsena et al. (2019), a coacervação complexa é altamente promissora e amplamente empregada nas indústrias farmacêutica, alimentícia, agrícola e têxtil. O processo envolve basicamente a interação de polieletrólitos de carga oposta em forma aquosa. Alta carga útil e alta eficiência de encapsulamento (até 99 %), custo relativamente baixo de processamento, capacidade de usar materiais de núcleo de grau alimentício e síntese à temperatura ambiente fazem da coaceração uma escolha apropriada nas indústrias de alimentos e agroquímico.

Estudos relataram que, a coacervação complexa é um processo reversível e os coacervados formados pela interação de uma proteína e um polissacarídeo podem se dissociar quando as condições, especialmente o pH e a temperatura, são desfavoráveis. Contudo, os coacervados podem ser estáveis em prateleiras dentro de uma faixa estreita de pH, força iônica e temperatura.(TIMILSENA et al., 2016; WANG; ADHIKARI; BARROW, 2014) O processo coacervado complexo é afetado pela carga, densidade, concentração, razão e natureza dos

polímeros, bem como pelos parâmetros do processo, como pH, força iônica, temperatura e tempo de agitação (TIMILSENA et al., 2017)

A condição ideal usada para uma coacervação complexa onde se tem um determinado conjunto de polímeros não pode ser usada para outro conjunto de polímeros. Por esse motivo, a otimização dos parâmetros de coacervação é a etapa prioritária essencial para sua aplicação eficaz na microencapsulação (TIMILSENA et al., 2017).

Acredita-se que a aplicação de microcápsulas resultante da coacervação complexa, preparados a partir de biopolímeros em produtos alimentícios, tem chamado atenção. Cápsulas contendo substâncias ativas podem ser incorporadas em produtos alimentícios com várias finalidades, incluindo modificação de textura e cor, mostrando atividades antimicrobianas e antioxidantes. Porém, existem poucos estudos sobre a aplicação de agentes encapsulados em alimentos e a liberação de agentes de coacervados na matriz alimentar (EGHBAL; CHOUDHARY, 2018).

### **3 MATERIAIS E MÉTODOS**

O amido de mandioca foi obtido em comércio local (João Pessoa, Brasil) e armazenado a 25 – 30 °C durante o tempo de pesquisa. Algumas análises como a Difração de raio X foram executadas na Universidade de Minnesota (Minnesota, EUA) sob supervisão do professor Dr. Johan B. Ubbink.

As cenouras (*Daucus carota subsp. Sativus*) foram adquiridas na Central Estadual de Abastecimento em João Pessoas – CEASA e previamente higienizadas usando uma solução de hipoclorito de sódio (100 ppm) por 10 minutos, em seguida foram pesadas e cortadas em cubos. O suco foi extraído usando uma centrifuga da marca Mondial, modelo Turbo Juice Cf-06, mesmo foi caracterizado quanto a quantidade de sólidos solúveis total (°Brix), acidez, densidade, umidade (AOAC, 2016) e quantidade de carotenoides totais. O material usado na elaboração das microcápsulas por coacervação como o WPI e a goma arábica foram adquiridos pela Funcional Mikron (São Paulo, Brasil)

#### **3.1 PREPARAÇÃO DA GOMA DE MANDIOCA**

A goma de mandioca foi preparada a partir da hidratação do amido nativo de mandioca, foi realizada em várias proporções de adição de água, de acordo com a Tabela 1. A mistura foi deixada em repouso por 12 horas à temperatura ambiente (25 a 30 °C). Após esse tempo, a

massa foi triturada manualmente e peneirada, utilizando peneira de comum de uso doméstico. Esse processo foi feito com base em práticas comerciais.

**Tabela 1.** Quantidade de água adicionada no preparo das amostras de goma de tapioca

Amostras	Quantidade de água (g) para 100 g de amido
A5	5
A10	10
A15	15
A25	25
A35	30
A45	45
A55	55
A60	60

### **3.2 PROCESSO PADRONIZADO DE ELABORAÇÃO DA TAPIOCA**

O método para elaboração das amostras de tapioca foi padronizado utilizando moldes de inox cilíndrico com diâmetros de 9,5 cm, frigideira com superfície de teflon com 15 cm de diâmetro e termômetro digital infravermelho da marca Intratherm modelo TI-870 para monitorar a temperatura durante todo o processo. As condições de temperatura, tempo de processo e espessuras foram definidas de acordo com o objetivo de cada análise.

O processo se inicia aquecendo a frigideira em fogão industrial até a temperatura inicial desejada (100-300 °C). Logo em seguida 35 g da goma de mandioca (com ou sem enriquecimento) foram colocadas no interior do molde e espalhada por toda a área. Após 60 s do início do processo, foi feita a viragem da tapioca, nessa etapa, a superfície que estava voltada para o ambiente passa a ter contato direto com a frigideira, onde permaneceu por 60 s, somando um tempo total de processo de 120 s.

### **3.3 TESTE DE DISTRIBUIÇÃO DE TAMANHO DE PARTÍCULAS AGREGADAS**

O teste de distribuição de tamanho de partículas foi realizado com a finalidade de observar o comportamento macroscópico dos grânulos de amido de mandioca em diferentes condições de temperatura e umidade principalmente em baixas concentrações de água. Para isso, as amostras de amido de mandioca hidratado preparados conforme a Tabela 1 foram submetidos ao processo de calor seco variando a temperatura inicial da frigideira em 100, 200, 205 e 300 °C e o tempo de processo foi fixado em 120 s. As proporções massa: área superficial

iguais a 0,29 g/cm<sup>2</sup> e 0,49 g/cm<sup>2</sup> foram aplicadas para calcular a massa de amido hidratado necessária para obtenção do produto final com espessura de 2,5 mm e 5 mm, respectivamente.

O material resultante foi colocado em um peneirador mecânico da marca Matest (Belo Horizonte, Brazil), com peneiras de malhas de 2,36 mm; 1,18 mm; 850 µm e 300 µm dispostas do maior *mesh* para o menor, sob agitação de 10 minutos a 80 rpm (agitação máxima permitida pelo equipamento). A massa retida pelas peneiras foi quantificada por gravimetria em uma balança eletrônica de precisão marca BEL Engineering modelo M214AIH (Milano, Itália).

### **3.4 CARACTERIZAÇÃO VISUAL DA TAPIOCA**

A análise visual do material produzido após o processo de cocção foi realizada com a fécula hidratada com conteúdo de água adicionada entre 15 e 45 %. O processo térmico foi realizado variando-se a temperatura inicial da frigideira (100-300 °C). Para cada amostra, avaliou-se se as características físicas das partículas do material após cocção e ao retirar da frigideira quente: 1) livre escoamento, 2) partículas agregadas quebradiças, 3) partículas agregadas e não gelificadas, 4) partículas agregadas contínuas - tapioca. Os resultados obtidos destes testes foram expressos em forma de diagrama visual, que define regiões gráficas com as características dos materiais resultantes.

### **3.5 DESENVOLVIMENTO DE MICROPARTÍCULAS**

A coacervação complexa foi realizada usando suco de cenoura como material de núcleo e a goma arábica (GA) e a proteína isolada do leite (WPI). As misturas foram preparadas em uma concentração total de biopolímero de 7% (p / p), e as proporções de biopolímeros foram 1,5: 1, 3: 1 e 6: 1 WPI: GA com base no peso e o suco representou 93 % da solução. O processo iniciou-se com a adição dos bioplímeros ao suco de cenoura (SC). Em seguida foi feita a homogeneização, usando o agitador mecânico IKA RW 20 digitais (Staufen, Alemanha). A solução homogeneizada foi submetida a mudança de pH até atingir a condição ideal para a separação de fases (pH = 3,22) e deixada em repouso por 12 horas para que ocorra a coacervação (precipitação). Após o tempo de repouso, fez-se a retirada do sobrenadante e o coacervado/precipitado foi levado a centrífuga de marca Eppendorf modelo 5430R (Hamburgo, Alemanha). Depois da centrifugação, foi retirado novamente o sobrenadante e o coacervado foi misturado ao amido de mandioca na proporção de 1:1. O material obtido após a mistura do coacervado com o amido foi colocado em bandejas alumínio redonda com 14,5 cm

de diâmetro de forma que as proporções massa: área superficial utilizada foi de 0,12 g/cm<sup>2</sup>. A secagem foi realizada em estufa com circulação de ar da marca Solab modelo SL102 (Piracicaba, Brasil) a temperatura de 30 °C até obtenção de peso constante

Após a secagem, a matéria seca foi triturada usando almofariz e pistilo até a obtenção de um pó fino com granulometria próximo ao dos grânulos de amido de mandioca (52 µg a 38 µg). O cálculo da eficiência da coacervação e da secagem foram feitos a partir da Equação (1). As micropartículas de carotenoides foram caracterizadas, determinando -se o conteúdo de umidade, atividade de água, cor, teor de carotenoides e tamanho de partículas.

O rendimento do processo de microencapsulação, a eficiência da encapsulação e dos métodos de secagem foram calculadas a partir das Equações 1 e 2 respectivamente.

$$Rendimento (\%) = \frac{Peso\ final\ da\ amostra\ (g)}{Peso\ inicial\ da\ amostra\ (g)} \times 100 \quad (1)$$

$$Eficiência (\%) = \frac{Carotenoides\ antes\ do\ processamento\ (mg/100\ g \cdot d.m.)}{Carotenoides\ depois\ do\ processamento\ (mg/100\ mg \cdot d.m.)} \times 100 \quad (2)$$

### **3.6 ENRIQUECIMENTO DA GOMA DE TAPIOCA**

A goma de tapioca foi enriquecida adicionando-se o suco puro de cenoura em algumas amostras e micropartículas em outras com fontes de carotenoides. A adição do suco de das micropartículas foram realizadas por métodos distintos, pois são misturas de materiais em estado físico diferentes (sólido e líquido). Sendo assim, os componentes da mistura foram divididos em componentes líquidos (água e suco) e sólidos (amido de mandioca e microcápsulas). Dessa forma, para elaboração da goma enriquecida com suco de cenoura os componentes líquidos foram a água e o suco e o componente sólido é o amido, enquanto na elaboração da goma de tapioca enriquecida com micropartículas o componente líquido foi apenas a água e os componentes sólidos foram o amido e as micropartículas.

O enriquecimento com suco, foi realizado misturando-se 30 g do suco, a 30 g de água, essa mistura de líquidos foi despejada em 100 g de amido de mandioca. Para o enriquecimento com micropartículas, primeiramente fez-se a mistura dos pós onde 6g de micropartículas foram pesadas em um Becker de 250 mL e depois foi acrescentado 94g de amido de 20 em 20g, após obter a homogeneidade dos pós, acrescentou-se 60 g de água. Durante todos os processos de

mistura de componentes utilizou-se o agitador mecânico IKA RW 20 digital (Staufen, Alemanha) sob agitação por 5 minutos em cada etapa de homogeneização (SHENOY et al., 2015)

A indústria de goma de tapioca não apresenta um padrão para a elaboração da mesma, sendo assim, a goma de tapioca para esse estudo foi produzida baseando-se nas características das gomas comercializadas, que sugere-se que a quantidade de água a ser adicionada ao amido de mandioca é em média de 60 %. A quantidade de cada componente foi calculada seguindo o princípio que a soma dos ingredientes líquidos deve representar 37,5 % do produto final, enquanto a soma dos ingredientes sólidos deve representar 62,5 %.

O cálculo da quantidade de suco de cenoura e micropartículas adicionada a goma de tapioca foi guiada pela Portaria nº 31, de 13 de janeiro de 1998, da Secretaria de Vigilância Sanitária que informa a necessidade de no mínimo adição de 30% da IDR para um adulto, o que corresponde a 600 µg/100g de retinol ou 2.142,85 µg de carotenoides por 100 g de goma de tapioca (1 µg carotenoides provitamina A = 0,084 µg retinol). (BRASIL, 2005b). Sabendo que o suco de cenoura apresentou 12973,4 µg/100 g e as micropartículas 61955,89 µg/100 g foram calculados os valores de cada componentes para elaboração da goma de tapioca (Tabela 2)

**Tabela 2.** Quantidade dos componentes usados na elaboração da goma de tapioca enriquecida

Componentes	Goma enriquecida com suco de cenoura	Goma enriquecida com micropartículas
Amido de mandioca (g)	100,00	94,00
Água (g)	30,00	60,00
Suco (g)	30,00	-
Micropartículas (g)	-	6,00

### 3.7 ELABORAÇÃO DE TAPIOCA ENRIQUECIDA COM CAROTENOÍDES

As tapiocas enriquecidas com carotenoides foram preparadas seguindo a metodologia descrita no Item 3.2 utilizando goma mandioca enriquecida com suco de cenoura ou micropartículas (Item 3.6). Com a finalidade de observar o impacto da temperatura na retenção de carotenóides, a temperatura inicial da frigideira foi ajustada para 200 ° C ou 300 ° C, medida por um termômetro infravermelho Intratherm modelo TI-870 e o tempo total do processo foi de 120 s (60 s para cada face da tapioca). a quantidade de gomo enriquecida foi de 35 g para obtenção de tapioca com aproximadamente 0,49 cm de espessura.

### **3.8 DETERMINAÇÃO DE CAROTENOÍDES**

O método utilizado para determinação de carotenóides foi o de microextração de acordo com, Pacheco et al. (2011). Sendo assim, as amostras foram colocadas em tubo para microcentrífuga (eppendorf) de 2 mL, com 100 mg de celite e 500 µL de acetona, e maceradas com bastão de vidro. A mistura foi centrifugada no equipamento de marca Eppendorf modelo 5430R (Hamburgo, Alemanha), utilizando o rotor modelo FA-45-24-11-Kit, a 8000 rpm por 1 minuto. O sobrenadante foi transferido para uma bureta de 25 mL contendo 3 mL de éter de petróleo e 10 mL de água destilada. A extração foi repetida até que a matriz não apresentasse coloração alaranjada, característica dos carotenoides. A solução contida na bureta foi lavada lentamente com 60 ml de solução aquosa 5% NaCl. Em seguida, verificou-se o volume de solução etéreo e recolhida em tubo contendo 10 mg de sulfato de sódio anidro. A absorbância em comprimento de onda de 450 nm foi medida em Espectrômetro Shimadzu® UV-1800 (Quioto, Japão). O cálculo da quantidade de carotenoides foi feito através da Equação (3)

$$\text{Quantidade de carotenóides } (\mu\text{g/g}) = \frac{A \times V \times 10^4}{A_{1cm}^{1\%} \times \text{peso da amostra } (g)} \quad (3)$$

Onde A é a absorbância,  $A_{1cm}^{1\%}$  absorvidade molar com valor de 2592 e V o volume total do extrato.

### **3.9 DETERMINAÇÃO DE UMIDADE**

A determinação de umidade das amostras de amido hidratado (Tabela 1), micropartículas, goma de mandioca enriquecida e tapiocas com ou sem enriquecimento seguiu a metodologia descrita pela AOAC (2016).

### **3.10 DETERMINAÇÃO DE ATIVIDADE DE ÁGUA**

A análise de atividade de água foi realizada com as amostras a 25 °C, através do aparelho Aqua-lab, modelo Dew Point Water Activy Meter 4 TEV,( Pullman, Estados Unidos.). Foram determinadas a atividade de água das amostras de goma de tapioca com e sem enriquecimento e das micropartículas.

### 3.11 DETERMINAÇÃO DE COR

Os parâmetros de cor foram obtidos através do colorímetro eletrônico de marca GRETAG MACBETH (Estados Unidos), modelo COLOR-EYE 2180 usando a escala CIE Lab, segundo a metodologia descrita por Pathare e colaboradores (2013). Dessa forma, onde foram obtidos os valores de L\* (luminosidade), a\* (cor verde para cor vermelha) e b\* (cor azul para amarela) e calculado dos valores de C (cromaticidade) a partir da Equação (4) e o valor de h\* (Equação 5) Os valores do ΔE foram calculados pela Equação (6) afim de avaliar a mudança de cor das micropartículas e gomas enriquecidas após o tempo de 30 dias e entre as amostras de tapioca quanto a mudança de temperatura. Foram submetidas a análises de cor as amostras de goma de tapioca enriquecidas, as tapiocas elaboradas com as gomas enriquecidas e as micropartículas. A medida da cor foi feita em regiões distintas da tapioca, área externa: superfície ou crosta e área interna: núcleo ou gel.

$$C * = \sqrt{(a *)^2 + (b *)^2} \quad (4)$$

$$h * = \operatorname{tg}^{-1}.(b */a *) \quad (5)$$

$$\Delta E = \sqrt{(\Delta L)^2 + (\Delta a)^2 + (\Delta b)^2} \quad (6)$$

Onde,  $\Delta L = (L_{\text{final}} - L_{\text{inicial}})$ ,  $\Delta a = (a_{\text{final}} - a_{\text{inicial}})$ ,  $\Delta b = (b_{\text{inicial}} - b_{\text{final}})$ .

### 3.12 ANÁLISE REOLÓGICA DE SUSPENSÕES DE AMIDO

O perfil de pasta do amido de mandioca disperso em água ou em suco de cenoura foi determinado de acordo com metodologias propostas para Rapid Visco Analyser (LI et al., 2015) adaptadas para um reômetro de tensão controlada Haake MARS III (Karlsruhe, Alemanha). As amostras submetidas ao estudo reológico foram escolhidas as amostras com quantidades de água adicionada que deram origem a partículas amiláceas com aspectos mais próximos ao produto de inspiração, a tapioca. O experimento foi conduzido, utilizando uma geometria do tipo cone-placa de 35 mm de diâmetro e 2° de inclinação (C35/2° Ti L) e uma capa protetora para evitar a evaporação da água durante o teste. As amostras foram aquecidas de 50 a 85 °C a 0,125 °C/s, mantidas a 85 °C por 90 s e resfriadas até 40 °C, a 0,125 °C/s.

As amostras de misturas de amido e água foram preparadas nas seguintes proporções: 60 g de amido e 40 g de água, 55 g de amido e 45 g de água, 50 g de amido e 50 g de água e 40 g de amido e 60 de água. Para as suspensões preparadas com suco, a quantidade de amido (40-55 %) foi primeiramente feito a mistura do suco de cenoura e água, de modo que a suspensão final contivesse 16,5 % de suco. Com relação as suspenções com micropartículas, o pó seco e o amido foram misturados e em seguida, foi adicionada água a essa mistura (40-55 % p / p) de modo que a dispersão final foi de 3,4 % de micropartículas

Os parâmetros avaliados foram: temperatura de pasta (TP), a qual se refere a temperatura em que se inicia o aumento na viscosidade; pico de viscosidade (PV), que é a viscosidade máxima obtida após o início do aquecimento e antes do início do resfriamento, quebra de viscosidade (QV), que é a diferença entre a viscosidade máxima e mínima durante a manutenção a 85 °C, tendência a retrogradação (TR), que é a diferença entre a viscosidade final e o menor valor de viscosidade durante a manutenção a 85 °C e viscosidade final (VF).

### **3.13 DIFRAÇÃO DE RAIO X – DRX**

O experimento de difração de raio X foi realizado com a utilização do equipamento Microdifractômetro de raios X Advance D8 (Bruker, Karlsruhe, Alemanha) acoplado a um detector Vantec bidimensional, sistema de alinhamento de câmera de vídeo / laser e uma fonte de ponto de radiação de raios X Co K $\alpha$  ( $\lambda = 1,79 \text{ \AA}$ ) O feixe de raios-X foi condicionado com um monocromador de grafite. Utilizou-se um colimador de 800  $\mu\text{m}$  e a distância entre a amostra e o detector foi mantida em 20 cm. Três quadros de medição foram digitalizados a 20, 45 e 70°, respectivamente. Foram submetidas análise de DRX amostra de amido nativo de mandioca sem adição de água e partículas amiláceas obtidas a partir das aplicações das amostras de amido hidratado (15 – 60 % conteúdo de água) ao processo padronizado (Item 3.3). As amostras foram inicialmente secas durante 12 horas a 40 °C sob um fluxo de ar suave, em seguida foram moídas até um pó fino. As amostras de pó foram montadas para o modo de reflexão em um único cristal orientado a silício 001. Foi utilizado o As imagens do detector de área foram finalmente convertidas em intensidade unidimensional vs. conjuntos de dados 2θ usando um algoritmo de integração de média

### **3.14 MICROSCOPIA ELETRÔNICA DE VARREDURA -MEV**

A observação da estrutura morfológica das amostras foi realizada em microscópio eletrônico de varredura modelo Quanta 450, marca FEI (Estados Unidos). Foram escolhidas as amostras da Tabela 1 que melhor representam as mudanças ocorridas no amido de mandioca em altas concentrações, entre elas 85, 75, 65 e 40 % de amido, para esta última concentração, a observação foi feita em parte distintas do material, onde foi observado a crosta 1 referente a superfície que teve o primeiro contato com a frigideira, crosta 2 teve contato com a frigideira após 60 segundos do início do processo térmico e o núcleo (gel). As amostras foram fixadas em fita de carbono e recoberta com ouro em um evaporador a vácuo, em seguida foram inseridas ao equipamento a uma tensão de aceleração 15 kV a uma ampliação de 2000 x.

### **3.15 TEXTURA INSTRUMENTAL DAS TAPIOCAS**

As análises de textura foram realizadas usando o texturômetro Texture Analyser CT3 (Brookfield Engineering Labs, Middleboro, EUA) com programa de aplicação fornecido com aparelho (Texture Expert for Windows, versão 1.19). As amostras de tapioca preparadas em diferentes condições de água adicionada, temperatura e tempo, conforme a Tabela 3. Foram submetidas a análise de perfil de textura e ao teste de cisalhamento, enquanto as amostras de tapioca enriquecidas com suco de cenoura e micropartículas elaboradas a 200 e 300 °C com tempo de processo de 120 s, foi feito a análise de perfil de textura onde obteve-se os parâmetros de dureza, elasticidade, coesividade e resiliência. O preparo das amostras de tapioca seguiu a metodologia descrita nos Itens 3.2 e 3.7.

**Tabela 3.** Valores das variáveis aplicadas no preparo das amostras de tapioca

Amostras	Água adicionada (%)	Temperatura (°C)	Tempo (s)
A1	50	200	120
A2	60	200	120
A3	50	300	120
A4	60	300	120
A5	50	200	210
A6	60	200	210
A7	50	300	210

A8	60	300	210
----	----	-----	-----

### 3.15.1 Análise de perfil de textura – TPA

As amostras para a análises de perfil de textura (TPA), foram preparadas em triplicata e em cada amostra o teste foi feito duas vezes em áreas diferentes. desprezando 2 cm da borda. O teste foi realizado aplicando-se um ciclo de dupla compressão com 80 % de taxa de deformação e velocidade de 1mm/s, de acordo com Bouner (2002). Foi utilizada uma geometria cilíndrica de acrílico com 12 mm de diâmetro. A temperatura das tapiocas após seu preparo foi mantida na faixa de 38 °C – 45 °C durante o teste.

### 3.15.2 Teste de cisalhamento

Para o teste de cisalhamento as amostras de tapioca foram cortadas em formato retangular com 50 mm de comprimento, 30 mm de largura. A geometria utilizada foi do tipo lâmina de acrílico com 60 mm de largura (TA7). A lâmina percorreu 3,5 mm ao tocar na amostra, a uma velocidade de 2,0 mm/s. Para cada amostra do planejamento experimental foram feitas 6 repetições.

## 3.16 ANÁLISE ESTATISTICA

Os resultados obtidos foram analisados estatisticamente aplicando-se o teste de Tukey para realizar a comparação de média ao nível de 0,5 % de significância entre os grupos de amostras com o auxílio do programa R studio versão o 1.2.1335 (RStudio, Inc., Boston, EUA)

Foram avaliadas a diferença de umidade entre as amostras de amido nativo de mandioca hidratados com quantidades distinta de água e feito um estudo comparativo das características físico-químicas entre as amostras de tapioca com e sem enriquecimento com carotenoides. Os gráficos apresentados foram construídos através do programa *OriginPro 8 SR0* (Northampton, USA).

## REFERÊNCIAS

- ABBASPOUR, N, Hurrell R, Kelishadi R. Review on iron and its importance for human health. **J Res Med Sci.** 2014 Feb;19(2):164-74. PMID: 24778671; PMCID: PMC3999603.
- ABASS, A. B. et al. Can food technology innovation change the status of a food security crop? A review of cassava transformation into “bread” in Africa. **Food Reviews International**, v. 34, n. 1, p. 87–102, 2018.
- ABUAJAH, C. I.; OGBONNA, A. C.; OSUJI, C. M. Functional components and medicinal properties of food: a review. **Journal of Food Science and Technology**, v. 52, n. 5, p. 2522–2529, 2015.
- ALLEN L, et al. eds. **Guidelines on food fortification with micronutrients**. Geneva: World Health Organization/Food and Agriculture Organization, 2006.
- ALCÂNTARA, M. A. et al. Influence of the emulsion homogenization method on the stability of chia oil microencapsulated by spray drying. **Powder Technology**, v. 354, p. 877–885, 2019.
- ALVES, R. N. B. et al. **Potencialidades da cultura da mandioca para a agricultura familiar do Pará**. mar.2010. Disponível em: <<https://www.infoteca.cnptia.embrapa.br/bitstream/doc/882846/1/PotencialidadesCulturaMandioca.pdf>>. Acesso em: 12 de setembro 2019.
- AOAC - Association of Official Analytical Chemists, 2016. Official methods of analysis of 384 the Association of Official Analytical Chemists 20th ed. Rockville: A.O.A.C.
- BACELAR, L. N.; GÓIS, M. L. DE S. A produtividade do léxico tupinambá no português do Brasil. **Signótica**, v. 9, p. 105–117, 1997.
- BAILEY, R. L.; WEST, K. P.; BLACK, R. E. The epidemiology of global micronutrient deficiencies. **Annals of Nutrition and Metabolism**, v. 66, n. suppl 2, p. 22–33, 2015.
- BERTOFT, E. et al. International Journal of Biological Macromolecules The fine structure of cassava starch amylopectin . Part 2 : Building block structure of clusters. **International Journal of Biological Macromolecules**, v. 47, n. 3, p. 325–335, 2010.
- BERTOFT, E. Understanding Starch Structure : Recent Progress. **Agronomy**, v. 56, 2017.
- BONET, M. L. et al. Carotenoids and their conversion products in the control of adipocyte function, adiposity and obesity. **Archives of Biochemistry and Biophysics**, v. 572, p. 112–125, 2015.
- BURNS, A. et al. Cassava: The Drought, War and Famine Crop in a Changing World. **Sustainability**, v. 2, n. June 2014, p. 3572–3607, 2010.
- BRASIL. Portaria de nº 31, de 13 de janeiro de 1998 Ministério da Saúde. Agência Nacional de Vigilância Sanitária. Aprova o Regulamento Técnico referente a Alimentos Adicionados de Nutrientes Essenciais, **Diário Oficial [da] República Federativa do Brasil**, Brasília, DF, jan. 1998.

BRASIL. Resolução RDC nº 344, de 13 de dezembro de 2002. Ministério da Saúde. Agência Nacional de Vigilância Sanitária. Aprovar o Regulamento Técnico para a Fortificação das Farinhas de Trigo e das Farinhas de Milho com Ferro e Ácido Fólico. **Diário Oficial [da] República Federativa do Brasil**, Brasília, DF, dez. 2002.

BRASIL. Instrução Normativa nº 23, de 14 de dezembro de 2005. Ministério da Agricultura, Pecuária e Abastecimento. Aprova Regulamento Técnico de Identidade e Qualidade dos Produtos Amiláceos Derivados da Raiz de Mandioca **Diário Oficial [da] República Federativa do Brasil**, Brasília, DF, dez de. 2005a

BRASIL. Resolução RDC nº 269, de 22 de setembro de 2005. Ministério da Saúde. Agência Nacional de Vigilância Sanitária. Aprova Regulamento Técnico sobre a Ingestão Diária Recomendada (IDR) de proteína, vitaminas e minerais. **Diário Oficial [da] República Federativa do Brasil**, Brasília, DF, set de. 2005b

BRASIL. Resolução nº 52, de 07 de novembro de 2011 Ministério da Agricultura, Pecuária e Abastecimento. Aprova Regulamento técnico da farinha de mandioca, **Diário Oficial [da] República Federativa do Brasil**, Brasília, DF, nov. 2011.

CAGNATO, C. A Paleoethnobotanical Study of Two Classic Maya Sites, El Perú-Waka' and La Corona. 2016.

CANAS, J. A. et al. Effects of mixed carotenoids on adipokines and abdominal adiposity in children: A pilot study. **Journal of Clinical Endocrinology and Metabolism**, v. 102, n. 6, p. 1983–1990, 2017.

CARDOSO, R. V. C. et al. Flour fortification for nutritional and health improvement: A review. **Food Research International**, v. 125, n. May, p. 108576, 2019.

CARLSTEDT, J. et al. Understanding starch gelatinization : The phase diagram approach. **Carbohydrate Polymers**, v. 129, p. 62–69, 2015.

CEREDA, M., P. Caracterização dos subprodutos da industrialização da mandioca. In: CEREDA, M., P. **Manejo, Uso e Tratamento de subprodutos da industrialização da mandioca**. São Paulo: Fundação Cargill, 2001. Cap. 1, p.13-37.

CHEN, H. MING; FU, X.; LUO, Z. GANG. Effect of gum arabic on freeze-thaw stability, pasting and rheological properties of tapioca starch and its derivatives. **Food Hydrocolloids**, v. 51, p. 355–360, 2015.

CHINNADURAI, V. et al. Comparative studies of phytochemical analysis and pharmacological activities of wild and micropropagated plant ethanol extracts of Manihot esculenta. **Biocatalysis and Agricultural Biotechnology**, v. 19, n. May, p. 101166, 2019.

CHISTÉ, R. C. et al. Sorption isotherms of tapioca flour. **International Journal of Food Science and Technology**, v. 47, n. 4, p. 870–874, 2012.

CLAGETT-DAME, M.; KNUTSON, D. Vitamin a in reproduction and development. **Nutrients**, v. 3, n. 4, p. 385–428, 2011.

COÊLHO, J. D. Produção de mandioca – raiz, farinha e fécula. p. 1–11, 2018.

- DAG, D.; OZTOP, M. H. Formation and Characterization of Green Tea Extract Loaded Liposomes. **Journal of Food Science**, v. 82, n. 2, p. 463–470, 2017.
- DAIUTO, É. R.; CEREDA, M. P. Physical characteristics and energetic evaluation of tuber and root starch gels under sterilization stress. **Energia na Agricultura**, v. 21, n. 2, p. 45–60, 2006.
- DAY, L. et al. **Food Structure, Rheology, and Texture**. [s.l.] Elsevier, 2016.
- DOBE, M.; GARG, P.; BHALLA, G. Fortification as an effective strategy to bridge iron gaps during complementary feeding. **Clinical Epidemiology and Global Health**, p. 4–7, 2017.
- DURING, A. et al. Carotenoid uptake and secretion by CaCo-2 cells:  $\beta$ -Carotene isomer selectivity and carotenoid interactions. **Journal of Lipid Research**, v. 43, n. 7, p. 1086–1095, 2002.
- EGHBAL, N.; CHOUDHARY, R. Complex coacervation: Encapsulation and controlled release of active agents in food systems. **LWT - Food Science and Technology**, v. 90, n. May 2017, p. 254–264, 2018.
- ESFANJANI, A. F. et al. Nano-encapsulation of saffron extract through double-layered multiple emulsions of pectin and whey protein concentrate. **Journal of Food Engineering**, v. 165, p. 149–155, 2015.
- FAO. **Save and Grow: Cassava A Guide to Sustainable Production Intensification**. Food and Agriculture Organization of the United Nations, Rome, Italy. 2013. Disponível: <http://www.fao.org/3/a-i3278e.pdf>. Acesso em 20 de março de 2017 FAO, **Food Agriculture Organization**. 2019. Disponível em: <http://www.fao.org/faostat/en/#data>. Acesso em: 12 de junho de 2019.
- FIEDOR, J.; BURDA, K. Potential role of carotenoids as antioxidants in human health and disease. **Nutrients**, v. 6, n. 2, p. 466–488, 2014.
- GONÇALVES, A.; ESTEVINHO, B. N.; ROCHA, F. Microencapsulation of vitamin A: A review. **Trends in Food Science and Technology**, v. 51, p. 76–87, 2016.
- GOUS, P. W.; FOX, G. P. Trends in Food Science & Technology Review : Amylopectin synthesis and hydrolysis e Understanding isoamylase and limit dextrinase and their impact on starch structure on barley ( *Hordeum vulgare* ) quality. **Trends in Food Science & Technology**, v. 62, p. 23–32, 2017.
- GUL, K. et al. Chemistry, encapsulation, and health benefits of beta-carotene - A review. **Cogent Food & Agriculture**, v. 1, n. 1, p. 1–12, 2015.
- HAN, H. et al. Insight on the changes of cassava and potato starch granules during gelatinization. **International Journal of Biological Macromolecules**, v. 126, p. 37–43, 2019.
- HARRISON, E. H. et al. The formation, occurrence, and function of  $\beta$ -apocarotenoids:  $\beta$ -carotene metabolites that may modulate nuclear receptor signaling. **American Journal of Clinical Nutrition**, v. 96, n. 5, p. 1189–1192, 2012.
- HOOVER, R. Composition, molecular structure, and physicochemical properties of tuber and

- root starches: a review. **Carbohydrate Polymers**, v. 45, n. 3, p. 253–267, 2001.
- HOSENEY, R. C. **Principles of Cereal Science and Technology**. Ed. 2, Minnesota: AACC, 1994
- IBGE, INSTITUTO B. DE G. E E. Levantamento Sistemático da Produção Agrícola. 2017. **Estatística da Produção Agrícola**, p. 1–72, 2017.
- IBGE, Instituto Brasileiro de Geografia e Estatística. Produção Agrícola Municipal – 2017. Disponível em: <https://www.ibge.gov.br/estatisticas/economicas/agricultura-e-pecuaria/9117-producao-agricolamunicipal?=&t=resultados>. Acesso em 13 de junho de 2019.
- JAIN, A. et al. Characterization of microcapsulated  $\beta$ -carotene formed by complex coacervation using casein and gum tragacanth. **International Journal of Biological Macromolecules**, v. 87, p. 101–113, 2016.
- JANISZEWSKA-TURAK, E. et al. The influence of carrier material on some physical and structural properties of carrot juice microcapsules. **Food Chemistry**, v. 236, p. 134–141, 2017.
- JOHNSON, E. J. A possible role for lutein and zeaxanthin in cognitive function in the elderly. **American Journal of Clinical Nutrition**, v. 96, n. 5, 2012.
- KOPEC, R. E.; FAILLA, M. L. Recent advances in the bioaccessibility and bioavailability of carotenoids and effects of other dietary lipophiles. **Journal of Food Composition and Analysis**, v. 68, n. January 2017, p. 16–30, 2018.
- LINDBERGH, C. A. et al. Relationship of Lutein and Zeaxanthin Levels to Neurocognitive Functioning: An fMRI Study of Older Adults. **Journal of the International Neuropsychological Society**, v. 23, n. 1, p. 11–22, 2017.
- LIU et al. Effects of high pressure homogenization on physical stability and carotenoid degradation kinetics of carrot beverage during storage. **Journal of Food Engineering**, v. 263, n. October 2018, p. 63–69, 2019.
- LIU, Q.; THOMPSON, D. B. Retrogradation of du wx and su2 wx maize starches after different gelatinization heat treatments. **Cereal Chemistry**, v. 75, n. 6, p. 868–874, 1998.
- MAHDADI, S. A. et al. Spray-Drying Microencapsulation of Anthocyanins by Natural Biopolymers : A Review. **Spray-Drying Microencapsulation of Anthocyanins by Natural Biopolymers : A Review**. v. 3937, 2014.
- MARQUES, M. F. et al. Fortificação de alimentos : uma alternativa para suprir as necessidades de micronutrientes no mundo contemporâneo. **HU Revista**, v. 38, n. 1, p. 79–86, 2012.
- MASNADI SHIRAZI, K. et al. Vitamin A supplementation decreases disease activity index in patients with ulcerative colitis: A randomized controlled clinical trial. **Complementary Therapies in Medicine**, v. 41, n. July, p. 215–219, 2018.
- MATIGNON, A.; TECANTE, A. Starch retrogradation : From starch components to cereal products. **Food hydrocolloids**, v. 68, p. 43–52, 2017.

- MENDU, V. V. R.; NAIR, K. P. M.; ATHE, R. Systematic review and meta-analysis approach on vitamin A fortified foods and its effect on retinol concentration in under 10 year children. **Clinical Nutrition ESPEN**, v. 30, p. 126–130, 2019.
- MONEGO, D. L.; DA ROSA, M. B.; DO NASCIMENTO, P. C. Applications of computational chemistry to the study of the antiradical activity of carotenoids: A review. **Food Chemistry**, v. 217, p. 37–44, 2017.
- MORAN, N. A.; JARVIK, T. Lateral transfer of genes from fungi underlies carotenoid production in aphids. **Science**, v. 328, n. 5978, p. 624–627, 2010.
- NAMITHA, K. K.; NEGI, P. S. Chemistry and biotechnology of carotenoids. **Critical Reviews in Food Science and Nutrition**, v. 50, n. 8, p. 1040–8398, 2010.
- NARSAIAH, K. et al. Optimizing microencapsulation of nisin with sodium alginate and guar gum. **Journal of Food Science and Technology**, v. 51, n. 12, p. 4054–4059, 2014.
- NJANKOUO NDAM, Y. et al. Influence of cultivars and processing methods on the cyanide contents of cassava (*Manihot esculenta* Crantz) and its traditional food products. **Scientific African**, v. 5, p. e00119, 2019.
- OTÁLORA, M. C. et al. Encapsulating betalains from *Opuntia ficus-indica* fruits by ionic gelation: Pigment chemical stability during storage of beads. **Food Chemistry**, v. 202, p. 373–382, 2016.
- PACHECO, S., DE OLIVEIRA, R., LUZIMAR, D. S., PASSOS, C., PESSANHA, M., & SANTOS, J. (2011). Adaptação Do Método De Extração De Carotenoides Para Escala De Micro-Extração. *IV Reunião de Biofortificação*, 1, 4.
- PÁRAMO-CALDERÓN, D. E. et al. Tortilla added with *Moringa oleifera* flour: Physicochemical, texture properties and antioxidant capacity. **LWT - Food Science and Technology**, v. 100, n. April 2018, p. 409–415, 2019.
- PATHARE, P. B.; OPARA, U. L.; AL-SAID, F. A. J. Colour Measurement and Analysis in Fresh and Processed Foods: A Review. **Food and Bioprocess Technology**, v. 6, n. 1, p. 36–60, 2013.
- PERRO, A. et al. Self-coacervation of ampholyte polymer chains as an efficient encapsulation strategy. **Journal of Colloid and Interface Science**, v. 548, p. 275–283, 2019.
- PFISTER, B.; ZEEMAN, S. C. Formation of starch in plant cells. **Cellular and Molecular Life Sciences**, v. 73, n. 14, p. 2781–2807, 2016.
- POURASHOURI, P. et al. Impact of Wall Materials on Physicochemical Properties of Microencapsulated Fish Oil by Spray Drying. **Food and Bioprocess Technology**, v. 7, n. 8, p. 2354–2365, 2014a.
- POURASHOURI, P. et al. Oxidative stability of spray-dried microencapsulated fish oils with different wall materials. **Journal of Aquatic Food Product Technology**, v. 23, n. 6, p. 567–578, 2014b.
- POURMOHAMMADI, K. et al. International Journal of Biological Macromolecules Effects

of sucrose , isomalt and maltodextrin on microstructural , thermal , pasting and textural properties of wheat and cassava starch gel. **International Journal of Biological Macromolecules**, v. 120, p. 1935–1943, 2018.

PRIYADARSHANI, A. M. B. A review on factors influencing bioaccessibility and bioefficacy of carotenoids. **Critical Reviews in Food Science and Nutrition**, v. 57, n. 8, p. 1710–1717, 2017.

RAGHUVANSHI, S. et al. Cellular localization of  $\beta$ -carotene 15,15' oxygenase-1 (BCO1) and  $\beta$ -carotene 9',10' oxygenase-2 (BCO2) in rat liver and intestine. **Archives of Biochemistry and Biophysics**, v. 572, p. 19–27, 2015.

RAJABI, H. et al. Retention of saffron bioactive components by spray drying encapsulation using maltodextrin, gum Arabic and gelatin as wall materials. **Food Hydrocolloids**, v. 51, p. 327–337, 2015.

REBOUL, E. Absorption of vitamin A and carotenoids by the enterocyte: Focus on transport proteins. **Nutrients**, v. 5, n. 9, p. 3563–3581, 2013.

ROSELL, C. M. **Fortification of Grain-Based Foods**. 2. ed. [s.l.] Elsevier Ltd., 2016.

RUTZ, J. K. et al. Elaboration of microparticles of carotenoids from natural and synthetic sources for applications in food. **Food Chemistry**, v. 202, p. 324–333, 2016.

SAINI, R. K.; SHETTY, N. P.; GIRIDHAR, P. Carotenoid content in vegetative and reproductive parts of commercially grown *Moringa oleifera* Lam. cultivars from India by LC-APCI-MS. **European Food Research and Technology**, v. 238, n. 6, p. 971–978, 2014.

SASAKI, T.; YASUI, T.; MATSUKI, J. Effect of amylose content on gelatinization, retrogradation, and pasting properties of starches from waxy and nonwaxy wheat and their F1 seeds. **Cereal Chemistry**, v. 77, n. 1, p. 58–63, 2000.

SCHMITT, C.; TURGEON, S. L. Protein/polysaccharide complexes and coacervates in food systems. **Advances in Colloid and Interface Science**, v. 167, n. 1–2, p. 63–70, 2011.

SHADDEL, R. et al. Double emulsion followed by complex coacervation as a promising method for protection of black raspberry anthocyanins. **Food Hydrocolloids**, v. 77, p. 803–816, 2018.

SHENOY, P. et al. Dry mixing of food powders: Effect of water content and composition on mixture quality of binary mixtures. **Journal of Food Engineering**, v. 149, p. 229–236, 2015.

SHETE, V.; QUADRO, L. Mammalian metabolism of  $\beta$ -carotene: Gaps in knowledge. **Nutrients**, v. 5, n. 12, p. 4849–4868, 2013.

SHIGAKI, T. Cassava : The Nature and Uses. In: **Encyclopedia of Food and Health**. 1. ed. [s.l.] Elsevier Ltd., 2016. p. 687–693.

SILVA, P. A. et al. Obtenção Da Farinha De Tapioca: Parte 1 – Avaliação Do Processo. **Boletim do Centro de Pesquisa de Processamento de Alimentos**, v. 31, n. 1, 2013.

SILVA, B. V.; BARREIRA, J. C. M.; OLIVEIRA, M. B. P. P. Natural phytochemicals and

probiotics as bioactive ingredients for functional foods: Extraction, biochemistry and protected-delivery technologies. **Trends in Food Science and Technology**, v. 50, p. 144–158, 2016.

SIMI, C. K.; ABRAHAM, T. E. Physicochemical rheological and thermal properties of njavara rice (*Oryza sativa*) starch. **Journal of Agricultural and Food Chemistry**, v. 56, n. 24, p. 12105–12113, 2008.

SINGH, N. et al. Morphological, thermal and rheological properties of starches from different botanical sources. **Food Chemistry**, v. 81, p. 1–31, 2003.

STINCO, C. M. et al. Effect of high-pressure processing on carotenoids profile, colour, microbial and enzymatic stability of cloudy carrot juice. **Food Chemistry**, v. 299, n. July, p. 125112, 2019

STOUT, M. A.; PARK, C. W.; DRAKE, M. A. The effect of bleaching agents on the degradation of vitamins and carotenoids in spray-dried whey protein concentrate. **Journal of Dairy Science**, v. 100, n. 10, p. 7922–7932, 2017.

TIMILSENA, Y. P. et al. Preparation and characterization of chia seed protein isolate-chia seed gum complex coacervates. **Food Hydrocolloids**, v. 52, p. 554–563, 2016.

TIMILSENA, Y. P. et al. Advances in microencapsulation of polyunsaturated fatty acids (PUFAs)-rich plant oils using complex coacervation: A review. **Food Hydrocolloids**, v. 69, p. 369–381, 2017.

TIMILSENA, Y. P. et al. Complex coacervation: Principles, mechanisms and applications in microencapsulation. **International Journal of Biological Macromolecules**, v. 121, p. 1276–1286, 2019.

TOZER, S. et al. Aggregate exposure modelling of vitamin A from cosmetic products, diet and food supplements. **Food and Chemical Toxicology**, v. 131, n. January, p. 110549, 2019.

VALENCIA, G.; DJABOIROV, M.; SOBRAL, P. J. Water desorption of cassava starch granules: A study based on thermogravimetric analysis of aqueous suspensions and humid powders. **Carbohydrate Polymers**, v. 147, p. 533–541, 2016.

VAMADEVAN, V.; BERTOFT, E. Structure-function relationships of starch components. **Starch/Stärke**, v. 67, n. 1–2, p. 55–68, 2015.

VAN HUNG, P. et al. Physicochemical characteristics and in vitro digestibility of potato and cassava starches under organic acid and heat-moisture treatments. **International Journal of Biological Macromolecules**, v. 95, n. 1, p. 299–305, 2017.

VILLANUEVA-BERMEJO, D. et al. Selective precipitation of phenolic compounds from Achillea millefolium L. extracts by supercritical anti-solvent technique. **Journal of Supercritical Fluids**, v. 120, p. 52–58, 2017.

VILLAS-BOAS, F. et al. Influence of molecular structure on the susceptibility of starch to  $\alpha$ -amylase. **Carbohydrate Research**, v. 479, n. March, p. 23–30, 2019.

WANG, S.; COPELAND, L. Molecular disassembly of starch granules during gelatinization

- and its effect on starch digestibility: A review. **Food & Function**, v. 4, p. 1564–1580, 2013.
- WANG, B.; ADHIKARI, B.; BARROW, C. J. Optimisation of the microencapsulation of tuna oil in gelatin-sodium hexametaphosphate using complex coacervation. **Food Chemistry**, v. 158, p. 358–365, 2014.
- WANG, C. et al. Commercial Potato Starch Standards Cannot Be Used in Place of Cassava Starch Standards when Measuring the Starch Content of Cassava Samples. v. 1800339, p. 1–10, 2019.
- WANG, K.; HENRY, R. J.; GILBERT, R. G. Causal Relations Among Starch Biosynthesis , Structure , and Properties. p. 15–33, 2014.
- WANG, S. et al. Phase transition and swelling behaviour of different starch granules over a wide range of water content. **LWT - Food Science and Technology**, v. 59, n. 2P1, p. 597–604, 2014.
- WANG, S. et al. Starch Retrogradation: A Comprehensive Review. **Comprehensive Reviews in Food Science and Food Safety**, v. 14, n. 5, p. 568–585, 2015.
- WASSEF, L. et al. b -Carotene – Producing Bacteria Residing in the Intestine Provide Vitamin A to Mouse Tissues. **The Journal of Nutrition**, v. 144, p. 608–613, 2014.
- WILSON, M. C. et al. Gene expression atlas for the food security crop cassava. **New Phytologist**, v. 213, n. 4, p. 1632–1641, 2017.
- YAMASHITA, C. et al. Microencapsulation of an anthocyanin-rich blackberry (*Rubus* spp.) by-product extract by freeze-drying. **LWT - Food Science and Technology**, v. 84, p. 256–262, 2017.
- ZHANG, Y. et al. Comparative study on the interaction between native corn starch and different hydrocolloids during gelatinization. **International Journal of Biological Macromolecules**, v. 116, p. 136–143, 2018.
- ZHU, F. Relationships between amylopectin internal molecular structure and physicochemical properties of starch. **Trends in Food Science & Technology**, v. 78, n. March, p. 234–242, 2018.
- ZOBEL, H.F. The terminologia and methodology associated with basic starch phenomena. **Cereal Foods World**, v. 33, p. 306-311, 1988.

## 4 RESULTADOS

Os resultados obtidos nesta Tese estão apresentados em forma de Artigos Científico submetidos em periódicos de impacto na área de Ciência e Tecnologia de Alimentos.

### 4.1 ARTIGO 1: OBSERVATIONS ON THE FORMATION AND TEXTURAL PROPERTIES OF "TAPIOCAS", A TRADITIONAL CASSAVA-BASED FOOD FROM THE NORTHEAST OF BRAZIL

(Submetido ao periódico **International Journal of Gastronomy and Food Science**. Fator de impacto: 2,186. Qualis: A1).

### 4.2 ARTIGO 2: A CIÊNCIA DA TAPIOCA: DA GOMA DE AMIDO AO PRODUTO FINAL

(A submeter ao periódico **Food Hydrocolloids**. Fator de impacto: 7,053. Qualis: A1)

### 4.3 ARTIGO 3: TRADITIONAL TAPIOCA "PANCAKES" FROM THE BRAZILIAN NORTHEAST: ENRICHMENT WITH MICROENCAPSULATED CARROT CAROTENOIDS

(Submetido ao periódico **LWT - Food Science and Technology**. Fator de impacto: 4,006. Qualis A1)

1   **Observations on the formation and textural properties of "tapiocas", a traditional**  
2   **cassava-based food from the northeast of brazil**

4   Gisleânia Dourado Landim Parente<sup>a</sup>, Flora de Almeida Macêdo<sup>a</sup>, Natasha Carolina Melo  
5   Diniz<sup>a</sup>, Marta Maria da Conceição<sup>a</sup>, Johan B. Ubbink<sup>b</sup>, Ana Luiza Mattos Braga<sup>a\*</sup>

7   <sup>a</sup> Department of Food Science and Technology and Regional Development, Federal University  
8   of Paraíba, Campus I, João Pessoa, Paraíba, CEP 58058-600, Brazil.

9   <sup>b</sup> Department of Food Science and Nutrition, University of Minnesota, United States

11   **Abstract**

12   "Tapioca" from northeastern Brazil, a starchy pancake-like product based on cassava that is a  
13   staple food for much of the regional population, has expanded commercially in recent years and  
14   is steadily gaining foothold in the international market as well. Despite its popularity, there are  
15   very few systematic studies on tapiocas from the perspective of food science. The objective of  
16   this investigation was to propose a definition for tapiocas based on physical and structural  
17   characteristics. Tapiocas were prepared by sintering cassava gum samples with a variation in  
18   water content between 15 % w/w and 45 % w/w on a hot frypan that was set in the range of 100  
19   °C to 300 °C, for preparation times of either 120 s or 210 s. Post-preparation, the tapioca samples  
20   were qualitatively evaluated for structure and cohesivity. Based on these observations,  
21   temperature-water content diagrams that delimited the regions of tapioca formation were  
22   elaborated. The prepared tapiocas were furthermore evaluated for water content, water activity  
23   and instrumental texture. Our results demonstrate that tapioca is a product that has a thin (2-6  
24   mm) slab-like shape with characteristic continuous gelatinous and translucent core, formed by  
25   starch that is fully or near fully gelatinized. Both the top and bottom crust of the tapiocas are  
26   formed by starch particles that have retained their granularity and are thus not or almost not  
27   gelatinized. We observed that the minimum starch water content for tapioca formation,  
28   independent of thickness, was 37 % w/w, at temperature equal or above 250 °C. Thick tapiocas

29 could not be formed at temperatures below 200 °C even at higher starch water content. Tapioca  
30 texture parameters including hardness, elasticity, cohesiveness, resilience and cutting force  
31 were mainly influenced by cooking time.

32 **Keywords:** Tapioca, texture analysis, cassava starch, gel, gelatinization, sintering

33 **1 Introduction**

34 "Tapioca" from northeastern Brazil, a starchy pancake-like product based on cassava  
35 that is a staple food for much of the regional population, has expanded commercially in recent  
36 years and is gradually gaining foothold in the international market as well. The word tapioca  
37 originates from the term tipi'og, which in Tupi, an indigenous language of the Northeast of  
38 Brazil, means "sediment" (Bacelar and Góis, 1997). It refers to the sedimented starchy mass  
39 that is obtained in the process of starch manufacturing. According Bezerra (2005), the word  
40 tapioca is translated by the indigenous people as "house bread" (tapi = bread and oca = house).

41 Its current meaning has thus remained quite coherent to the cultural tradition of family  
42 consumption of tapioca. As well as the meaning of the word tapioca, the description of the  
43 product that it refers to also has somewhat divergent interpretations. This is in part as there is  
44 no universal and officially established definition for the product that we generally recognize as  
45 "tapioca". The most extensive discussion of tapiocas, how to prepare them and with what  
46 fillings to serve them is currently found on sites and blogs and in social network messaging.  
47 These all share several commonalities, namely that tapiocas are from the Brazilian Northeast,  
48 are elaborated from hydrated cassava starch (also known as cassava gum) by heating a thin  
49 layer on a suitable hot surface. Tapiocas are prepared by sprinkling sifted hydrated cassava gum  
50 in a frying pan or on a hotplate, spreading it with the aid of a spoon in order to obtain a layer of  
51 starch particles of more-or-less uniform thickness ( $\sim 2 - 6$  mm). The elevated temperature  
52 induces the partial gelatinization of the starch particles, which start sintering together and, in

53 the process, form a thin elastic, chewy disk (typical diameter 10 - 15 cm) with a dried, grainy  
54 surface and a soft and elastic gelled core, which can be perceived when biting or cutting.

55 In the context of the food traditions of the Brazilian Northeast, "tapioca" thus refers to  
56 the foodstuff, of indigenous origin, that is prepared from cassava starch by partially sintering  
57 starch granules under the influence of water and elevated temperatures. It is considered to be  
58 one of the foods that most represents Brazilian cuisine. For example, tapioca from Northeastern  
59 Brazil is listed as Intangible Heritage of the Historical Site of Olinda in the State of Pernambuco  
60 (Gusmão, 2011). The literature also shows that migration of the population, together with  
61 tourism and globalization, provided the expansion of cassava-based products to outside of its  
62 original region. Currently, tapioca "*crêpes*" are served as the main dish even in a restaurant in  
63 France (Picanço, 2017).

64 Outside of Brazil, the term "tapioca" is used to refer to other types of cassava-based  
65 products. For instance, in the Northern region of Brazil, this term is used to name a product in  
66 the granular form ready for consumption, produced through the process known as  
67 "espocamento" (molding of granules at high temperatures) of hydrated starch. (Shigaki, 2016;  
68 Silva et al., 2013; SILVA et al., 2013). In some countries, including the English-speaking world,  
69 tapioca flour and tapioca starch that refer directly to cassava starch (Chisté et al., 2012).  
70 According to Picanço (2017), cassava and its derived products are of great importance in the  
71 socioeconomic development of Brazil, and is now a major staple in many tropical regions in  
72 the world, in particular Brazil, West Africa and Southeast Asia. Cassava gum, also known as  
73 tapioca gum, is increasingly seen as a staple crop with major opportunity in international  
74 markets, and its cultivation, trade and use is stimulated by public agencies and private  
75 institutions (Costa et al., 2019).

76 Not only the restaurant and street food sectors focus on cassava gum and its use in  
77 tapiocas. Consumers now have the choice of a wide range of new cassava-based products like

78 frozen tapioca, tapioca chips, individual portions of tapioca gum, sweet potato and yam tapioca,  
79 among others. Those products are mostly produced by small- and medium-sized food  
80 companies, while the traditional sifted cassava gum is locally also produced by artisanal  
81 manufacturers. Furthermore, recent reports have shown different ways to add value to the basic  
82 tapioca "pancake". For example, Almeida (2017) developed and evaluated the characteristics  
83 of cassava gum enriched with bioactives from beetroot. Santos, Alves Rodrigues & Gomes  
84 (2015), prepared tapiocas containing soluble beetroot extract and analyzed their texture profile  
85 and color, while Ferreira et al. (2014) compared the color and sensory response of tapiocas  
86 fortified with iron.

87 However, little is known about the physical-chemical properties of tapiocas and how the  
88 its preparation conditions or raw material impact their properties, in particular structure and  
89 texture. Texture is a parameter of great importance in food acceptance and liking, and may  
90 influence flavor perception (Foegeding et al., 2017; Funami, 2017). The instrumental texture  
91 measurement has been widely used by scientists to predict the physical properties of various  
92 products including food. This type of analysis can quantify parameters responsible for food  
93 characteristics such as hardness, elasticity, cohesiveness, resilience, chewability, among others.  
94 Such quantitative insights aid the development of new products (Pozo et al., 2018).

95 The objective of this study is to propose a specification of the tapioca "pancakes" that  
96 are typical of the Northeastern region of Brazil, based on a systematic exploration of the impact  
97 of the preparation conditions on the physicochemical properties of the prepared tapiocas.  
98 Specifically, we investigated the impact of the water content of cassava starch and the  
99 preparation time and temperature of the tapiocas on the sintering and starch gel formation of  
100 the cassava starch and on the texture of the prepared tapiocas.

101    **2    Methodology**

102              The native cassava starch used in this research was purchased in a local supermarket in  
103              João Pessoa, Paraíba, Brazil. The cassava starch was hydrated by adding different amounts of  
104              distilled water to obtain samples with water:starch ratio from 5:100 to 60:100 (w/w). This  
105              humidified material was left to equilibrate for 12 hours in a closed plastic container at room  
106              temperature (25 – 30 °C). The equilibrated starch was sifted immediately before the cooking  
107              process.

108    **2.1    Visual characterization of frypan cooked cassava starch**

109              The visual analysis of the frypan cooked cassava starch samples, including tapioca  
110              "pancakes", was performed with pre-hydrated starches (water content of 15 – 45 % w/w) and  
111              the cooking performed by varying the initial temperature of the frying pan between 100 °C and  
112              300 °C. For each sample, the degree of conversion of the starch during preparation was assessed  
113              using the following scale: 1) free flowing particles, 2) fragile aggregated particles, 3) Bottom  
114              surface-sintered particles, 4) sintered surfaces and gelled core, namely tapioca. The results  
115              obtained from these tests were expressed in the form of a visual diagram with the corresponding  
116              images, which defined graphic regions with the characteristics of the resulting materials after  
117              heating, among them, tapiocas with the regular structure and consistency.

118    **2.1.1    Sample preparation**

119              The sifted cassava gum was spread evenly on a heated plate and inside a cylindrical  
120              mold (9.5 cm in diameter) in order to obtain tapiocas of defined thickness (2.5 or 5 mm). The  
121              amount of cassava gum used was so that the mass/surface area proportions were 0.29 g/cm<sup>2</sup> or  
122              0.49 g/cm<sup>2</sup>. These two proportions were applied to verify the influence of temperature on the  
123              formation of products of different thicknesses. The preparation of the tapiocas was performed  
124              at 5 initial frying pan temperatures: 100, 150, 200, 250 and 300 °C. The total time of the

125 preparation process was fixed at 120 s, i.e. 60 s for each surface of the sample. After the initial  
 126 60 s of cooking, the tapioca samples were flipped using a spatula, allowing for a further 60 s of  
 127 cooking on the other side. The methodology was set up in this way, as it closely mimics  
 128 commercial practices traditionally used in the preparation of tapioca in the northeastern  
 129 Brazilian region.

130 **2.2 Physicochemical characterization of tapioca and cassava gum**

131 The physicochemical characterization of cassava gum and tapioca was performed  
 132 through analyses of water content, water activity, color and instrumental texture. The texture  
 133 investigation of tapiocas was conducted by varying the cassava gum water content, the initial  
 134 plate temperature and the cooking time.

135 During the preparation of each tapioca sample, temperature measurements were  
 136 performed every 20 s using an Instrutherm high temperature infrared thermometer, model TI-  
 137 870. Water loss during the cooking process was calculated by dividing the mass of water lost  
 138 in drying by the initial gum mass in the cooking process. The preparation conditions of the  
 139 samples are summarized in Table 1.

140  
 141 Table 1. Preparation conditions of the tapioca samples

Samples	Cassava starch water content (% w/w)	Preparation temperature (°C)	Preparation time (s)
1	41	200	120
2	45	200	120
3	41	300	120
4	45	300	120
5	41	200	210
6	45	200	210
7	41	300	210
8	45	300	210

142

## 143 2.2.1 Water content and water activity analysis

144 The water content of the cassava gum and the tapiocas samples that were prepared  
145 according to the conditions listed in Table 1 was determined using the methodology described  
146 in AOAC (2016). The water activity of the samples was determined at 25 °C using a Dew Point  
147 Water Activy Meter 4 TeV (Aqua-lab, Pullman, United States). Both water content and water  
148 activity analyses were performed in triplicate and the results presented as mean and standard  
149 deviation.

## 150 2.2.2 Color determination

151 The sample color was determined using a Color-Eye 2180 electronic colorimeter  
152 (GretagMacbeth, Martinsried, Germany) following to the methodology described by Pathare et  
153 al. (2013). Values for luminosity L\*, a\* and b\* parameters as defined in the CIELAB color  
154 space were experimentally determined. Next, the chromaticity C\* was calculated using  
155 Equation 1. Negative values for a\* and b\* indicate green and blue colors, while positive values  
156 indicate red and yellow colors, respectively. For cassava gum, a sample containing 45 % water  
157 was taken for measurements, while for tapioca, it was a sample prepared at 200 °C for 120 s.

$$158 \quad C = \sqrt{(a^*)^2 + (b^*)^2} \quad (1)$$

159

160

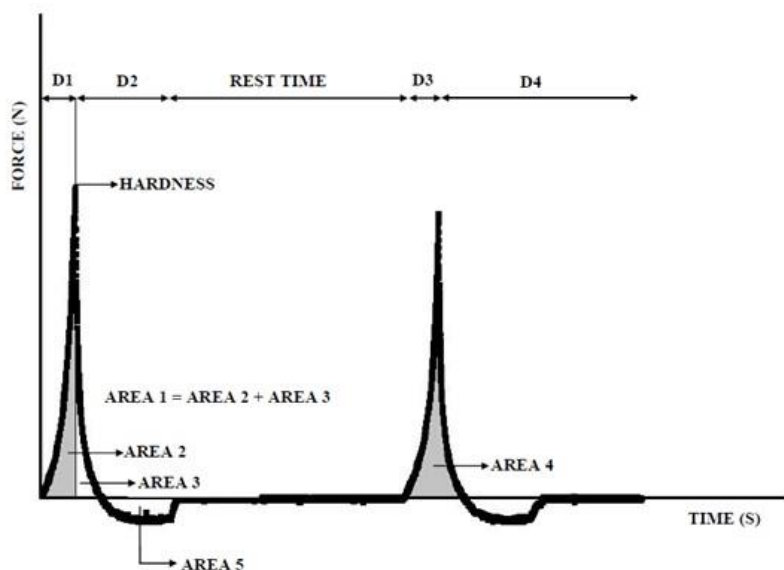
## 161 2.2.3 Texture analysis

162 Texture analyses were performed using a CT3 Texture Analyser (Brookfield  
163 Engineering Labs, Middleboro, USA). The temperature of tapiocas during testing was  
164 maintained between 40 °C and 45 °C. In all texture tests, for each tapioca sample at least 6  
165 repetitions were performed, and the mean and standard deviation were calculated.

166 For the shear test, the tapioca samples were cut in rectangular shapes of 50 mm by 30  
167 mm. A TA7 acrylic knife-edge sample probe (width of 60 mm) was used. It was applied a test

168 speed of 2.0 mm/s and a displacement of 4 mm after initial contact of the probe with the sample.  
 169 The shear force value for each sample was obtained at a displacement of 3.5 mm. For several  
 170 of the less elastic samples, this was close to the fracture point of the samples.

171 The texture profile test (TPA) was performed in two different regions of the same  
 172 tapioca sample, which were 2 cm distant from the sample edge. A cylindrical acrylic probe  
 173 (TA-10) of 12.7 mm diameter was used. Tapioca samples were submitted to a double  
 174 compression cycle with 80% deformation, at a test speed of 1 mm/s and with a set waiting time  
 175 of 5 s after probe return and before starting the second cycle, according to Bourne (2002). The  
 176 texture parameters of hardness, elasticity index, cohesiveness and resilience were calculated  
 177 according to Fig. 1 by the application program provided with device (Texture Expert for  
 178 Windows, version 1.19).



179

180 Fig. 1. Typical schematic curve of cassava starch gel obtained through texture profile analysis  
 181 according to the above method. D1 - 1st compression; D2 - 1st return; D3 - 2nd compression,

182 D4 - 2nd return. Springiness = D3 / D1; Resilience = (Area 3) / (Area 2); Cohesiveness = (Area  
183 4) / (Area 1); Adhesiveness = Area 5.

184

185 **2.3 Statistical analysis**

186 The water content results of the tapioca samples and the texture data were statistically  
187 analyzed with the Tukey test at the level of 95 % significance, with the aid of the Program R  
188 studio version 1.2.1335 (RStudio, Inc., Boston, EUA).

189

190 **3 Results and discussions**

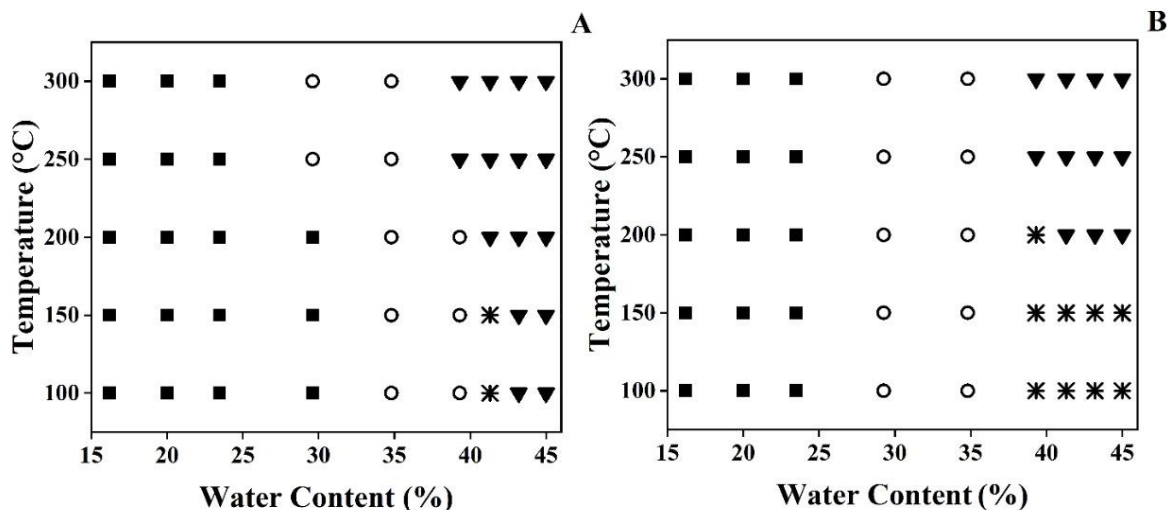
191

192 **3.1 Preparation conditions for tapioca**

193 The cassava starch used as raw material for the preparation of cassava gum and tapioca  
194 samples had a water content of  $12.1 \pm 0.1$  % w/w and a water activity of  $0.59 \pm 0.01$  at  $25^\circ\text{C}$ .  
195 Brazilian legislation regulates the identity and quality of starch products derived from cassava,  
196 establishing a maximum water content value of 14 % (BRASIL, 2005); hence, the raw material  
197 was within legal specifications. Almeida (2017) characterized the same batch of cassava starch  
198 used in the present study, but after adding 31 % of water. The values found were  $39.04 \pm$   
199 0.22 water content (wt),  $0.09 \pm 0.01$  ash,  $0.43 \pm 0.09$  protein,  $0.15 \pm 0.03$  fat and 59.28  
200 %  $\pm 1.12$  starch.

201 Fig. 2. shows visual diagrams that define the range of cassava starch water content (Swc)  
202 and the initial frying pan temperature needed for producing tapioca at two different thicknesses  
203 (2.5 and 5 mm). Both diagrams show 4 regions, and tapioca can be formed only in the region  
204 indicated by the triangle ( $\blacktriangledown$ ). When cassava starch is hydrated with less than 37 % water it is  
205 not possible to obtain tapioca, at any preparation temperature, instead the resulting materials  
206 are free flowing starch particles or only limited sintered and aggregated. Table 2 shows the

207 images that illustrates the materials obtained at the conditions stated in each region of Fig. 2. A  
 208 classification was performed according to the material visual characteristics.



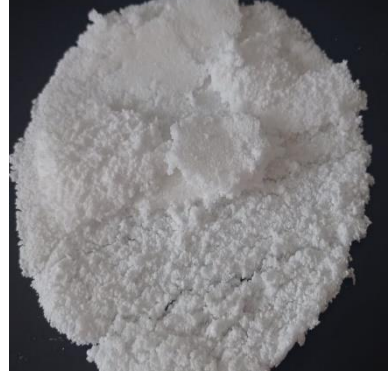
209  
 210 Fig. 2. Visual diagrams showing the type of material formed after cassava starch frying pan  
 211 cooking at different water content and initial temperature for 120 s cooking time. The data are  
 212 derived from visual observations on cassava starch samples after heat preparation. (A) Ratio  
 213 0.29 g / cm<sup>2</sup> (2.5 mm thick samples) (B) Ratio 0.49 g / cm<sup>2</sup> (5 mm thick samples). ■: Free  
 214 flowing particles; ○: Fragile particle aggregates; \*: Samples with particles sintered at the bottom  
 215 surface only; ▼: Samples with gelled cores and sintered surfaces (i.e. the regular tapioca  
 216 structure and texture).

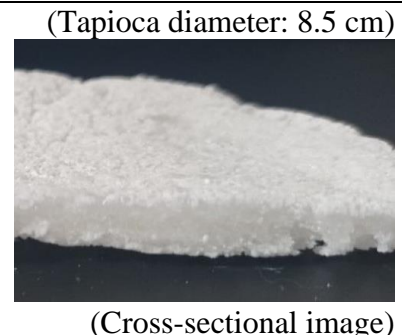
217  
 218  
 219 For low cassava gum water contents, between 16% w/w and 27 % w/w (Fig. 2), the  
 220 product is still a free-flowing powder (Table 2) at the end of the preparation step, with very  
 221 limited or even negligible agglomeration or sintering of the starch particles. This was observed  
 222 for preparation temperatures and for both sample thicknesses. Fragile particle agglomerates,  
 223 with a limited degree of particle sintering (Table 2) were obtained after preparation when the  
 224 water content of the cassava gum ranged from 29.5 % w/w to 37 % w/w (Fig. 2). For samples  
 225 in this range of water contents, a different behavior was observed for the thick and the thin  
 226 samples. While the fragile agglomerates were formed at all tested preparation temperatures for  
 227 the thicker samples (Fig. 2B), for the thinner samples, a cooking temperature of at least 250 °C  
 228 was needed to induce starch aggregation for the lowest water content (29.5 % w/w) in this water  
 229 content range (Fig. 2A). This can be explained as a result of the competition between the

230 aggregation and sintering processes of the granules, which require a certain minimum water  
 231 content, and the drying kinetics of the sample.

232

233 Table 2. Classification and description of the characteristics of the final products, after heat  
 234 preparation of cassava starch at different water content

Classification	Description of the characteristics	Image
Free flowing particles	Free-flowing particles, white color, no visible aggregation of the starch granules.	
Fragile aggregated particles	White fragile material formed by the aggregation of starch granules, with limited gelation and without formation of a continuous slab-like structure.	
Bottom surface-sintered particles	<p>Starch is sintered and forms continuous slab with a clearly identifiable crust and core.</p> <ul style="list-style-type: none"> <li>- Bottom surface: continuous, dry white crust formed by the partial sintering of starch granules.</li> <li>- Core: partially gelled combined with non-sintered particles.</li> <li>- Top surface: fragile starch aggregates</li> </ul>	
Sintered surface with gelled core	<p>Material in the form of continuous, elastic slab with clearly identifiable crust and core.</p> <ul style="list-style-type: none"> <li>- Surface: white, dry, continuous crusts with significant residual granularity.</li> <li>- Core: translucent gelled material formed by fully gelatinized of starch.</li> </ul>	



235

236        The region of the diagram that are indicated by the asterisk symbols (\*) represents the  
 237    conditions in which the bottom surface (first in contact with frypan) is composed of sintered  
 238    particles, the top surface by large aggregates, while the core is composed by partially gelled  
 239    starch and partially free flowing starch particles. So, the material was classified as bottom  
 240    surface-sintered (Table 2) The region in the tapioca formation diagram where this type of  
 241    aggregate is formed is more extended for the thicker samples, in particular for the lower  
 242    temperatures. This is caused by the slower heat penetration into the thick samples, allowing for  
 243    insufficient agglomeration and sintering time in the core of the samples.

244

Formation of the regular tapioca structure and texture with the gelled core and partially  
 granular, dry surfaces (Table 2) was observed for samples with water contents between 37 %  
 w/w and 45 % w/w (represented by the triangles (▼) in Fig. 2). Visual observations revealed  
 that the surface that had the first direct contact with the hot frying pan exhibited a smooth  
 surface, while in the upper crust, shown in Table 2, the material proved irregular and rough.  
 The precise extent of the water content regime allowing tapioca formation was however  
 dependent on both sample thickness and the preparation temperature. Our results show that, for  
 the formation of the thinner tapiocas (2.5 mm thickness), it is necessary that the water content  
 of the cassava gum is at least 37 % w/w for the preparation temperatures that are 250 °C or  
 above. When the water content is increased to a water content of 41 % w/w water content, the  
 preparation temperature can be decreased to 200 °C. The trend towards lower preparation  
 temperatures with increasing water content continues: For water contents between 43 % w/w

256 and 45 % w/w, the minimum preparation temperature decreases to 100 °C can be used to obtain  
257 tapioca.

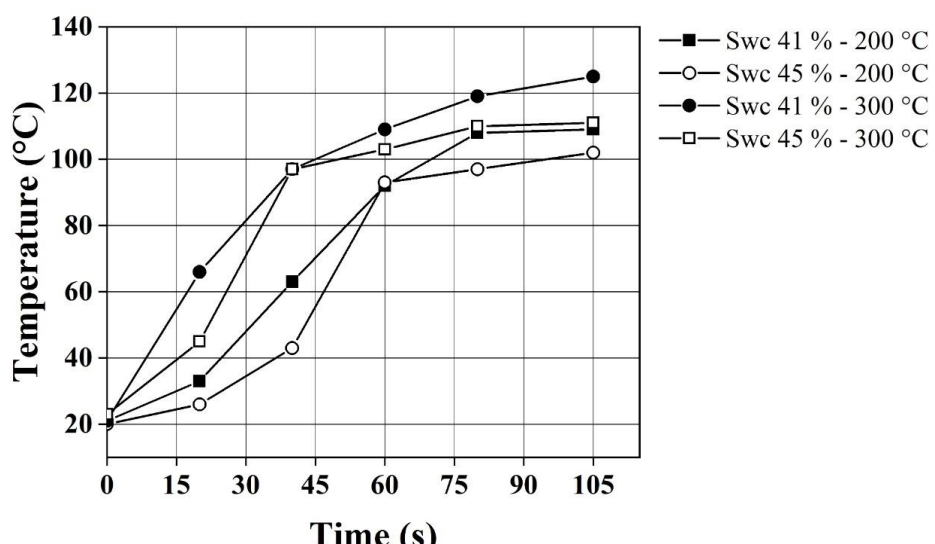
258 The granules of hydrated starch, when subjected to heating, go through the process of  
259 gelatinization producing a gelatinous material (Jenkins and Donald, 1998). During  
260 gelatinization, water is first absorbed into the amorphous layers in the starch granule, that is  
261 organized as a sequence of concentric layers of alternating amorphous and crystalline starch  
262 layers, leading to an initial leaching of starch amylose chains. At water contents higher than  
263 about 35 % w/w, this water uptake and amylose leaching is immediately followed by the  
264 melting of the crystalline layers of the starch granules. Liberated from the internal constraints  
265 posed by the more rigid crystalline structures, the starch granule can now swell and, upon  
266 further loss of its constituent amylose and amylopectin molecules, will finally fully disintegrate,  
267 forming a homogenous amorphous starch mass. Under the appropriate conditions of water  
268 content and temperature, this process can proceed to (near) completion in the core of the  
269 tapiocas, whereby the characteristic continuous gel-like inner matrix is formed (cross-sectional  
270 image in Table 2).

271 For the formation of the thicker tapiocas (5 mm thickness), it was observed that the  
272 water content and temperature regime for which the regular tapioca structure and texture was  
273 obtained was more constrained, in particular with respect to the preparation temperature. In our  
274 setup, we observed that the regular tapioca structure and texture was obtained for water contents  
275 higher than 37 % w/w to 39 % w/w at preparation temperatures of 250 °C and higher, and for  
276 water contents between 41 % w/w and 45 % w/w for preparation temperatures higher than 200  
277 °C. As we argued above, the impact of the thickness on the tapioca formation is likely caused  
278 by differences in the rates of heating the core of the sample, which is slower for the thicker  
279 samples. Then leads to a subtle balance between the heating up and water evaporation; this

280 latter effect apparently being less influenced by the thickness of the loosely packed bed of  
 281 cassava starch particles.

282 Fig. 3 provides information on the heating kinetics during the preparation of the thicker  
 283 tapioca samples. We observe that samples cooked at temperature of 300 °C reached the  
 284 temperature of 88 °C on the upper surface of tapioca in 35 s, while the other samples took a  
 285 significantly longer time (55-60 s) to reach this surface temperature. Jenkins and Donald (1998)  
 286 have shown that the complete gelatinization of 40% tapioca starch solution occurs at 88 °C. At  
 287 a cooking time of 60 s, samples cooked for shorter time (total time of 120 s) were turned. For  
 288 the other samples, the surface temperature of the material reached at turning point was between  
 289 105 - 125 °C. This means that those samples have very dry starch particles at the upper surface,  
 290 which were more difficult to gelatinize, thereby explaining why the surface is staying in only  
 291 partially gelatinized, granular state.

292



293  
 294 Fig. 3. Heating curve of the tapioca surface during preparation. The nomenclature Swc stands  
 295 for Starch water content.  
 296

297 A critical application from our results is that it provides a systematic basis to standardize  
 298 cassava gum for proper tapioca formation. Furthermore, the information contained in the  
 299 diagram provides industry with a quantitative basis to explore innovations in gum products

300 fortified with other ingredients. Based on the diagrams, they can for instance preblend dry  
 301 cassava starch with other components, such as nutrient mixes, flavoring systems or colorants,  
 302 and then add water in the correct amounts to provide for the desired cooking behavior.

303 **3.2 Physicochemical characterization of tapioca**

304 The analysis of the physicochemical properties of the tapiocas, we have restricted  
 305 ourselves to the regime in which the regular tapioca structure and texture are obtained (Fig. 2).  
 306 This are starch blends at water contents between 41 % w/w and 45% w/w, for preparation  
 307 temperatures of 200 °C and higher for 120 s or 210 s.

308 The color parameters for cassava gum and the prepared tapiocas are listed in Table 3.  
 309 We observed that the color of the tapiocas is very similar to the initial cassava starch. The  
 310 luminosity values were between 82 and 85, which represents a very light material (Claude and  
 311 Ubbink, 2006). A chromaticity value that is close to zero indicates a very low color saturation,  
 312 i.e. the color of the tapioca samples may almost fully be expressed in terms of a grey scale.  
 313 These values are similar to those presented in previous studies of tapioca enriched with iron  
 314 (Ferreira Batista, Silva, Nascimento & Braga, 2014). Overall, we conclude that very little  
 315 chemical degradation leading to the formation of colored compounds took place during tapioca  
 316 preparation.

317 Table 3. Color parameters for cassava gum (45 % of water) and prepared tapioca at 200 °C for  
 318 120 s.

Samples	L*	a*	b*	C*
Cassava gum	83 ± 1.5	0.18 ± 0.01	0.51 ± 0.08	0.54 ± 0.07
Tapioca	85.52 ± 0.06	0.72 ± 0.01	2.92 ± 0.02	3.00 ± 0.02

319 \* Values are mean ± SD (n = 3). Each replication consisted of 3 independent measurements.

320

321 Table 4 lists the values of the water activity and water content of tapioca samples, as  
 322 well as the calculated water loss during its preparation under different conditions. The water  
 323 content of the tapiocas at the end of the process ranged from 32.8 % w/w to 37.7 % w/w, which  
 324 is similar to other starchy products such as bread (Gül et al., 2018; Martins et al., 2018; Messia

325 et al., 2016). The water activity at 25 °C of all tapiocas ranged from 0.93 to 0.97, a value lower  
 326 than that obtained for the cassava gums used, which was 1.00. The water loss during preparation  
 327 was mainly impacted by the initial water content of the cassava gum. Keeping constant the  
 328 preparation time at 120 s and temperature (200 or 300 °C), tapiocas prepared from a cassava  
 329 gum with 45 % water content showed nearly twice water loss than the samples with 41 % initial  
 330 gum water content. The same trend was observed for tapiocas prepared for 210 s, but with less  
 331 impact in the water loss (Table 4). Since the preparation temperature, and thus the faster heating  
 332 kinetics, was not the main variable affecting water loss, we can suggest that the change in the  
 333 characteristic of the tapioca matrix from powder to gel does not seem to influence greatly on  
 334 the water loss of this product.

335

336 Table 4. Tapioca samples water activity at 25 °C, water content and the water loss during  
 337 preparation of the tapioca.

Tapioca Preparation Conditions			Water activity (at 25 °C)	Water content (%, w/w)	Water loss (%)
Cassava gum water content (%)	Temperature (°C)	Time (s)			
41	200	120	0.96 ± 0.01 <sup>cd</sup>	36.8 ± 0.1 <sup>e</sup>	6.0 ± 0.1 <sup>a</sup>
45	200	120	0.97 ± 0.01 <sup>d</sup>	37.7 ± 0.1 <sup>f</sup>	11.2 ± 0.1 <sup>d</sup>
41	300	120	0.95 ± 0.01 <sup>bc</sup>	36.1 ± 0.2 <sup>d</sup>	7.0 ± 0.3 <sup>b</sup>
45	300	120	0.95 ± 0.01 <sup>bc</sup>	36.1 ± 0.1 <sup>d</sup>	13.4 ± 0.1 <sup>e</sup>
41	200	210	0.95 ± 0.01 <sup>b</sup>	34.7 ± 0.1 <sup>b</sup>	9.0 ± 0.2 <sup>c</sup>
45	200	210	0.93 ± 0.01 <sup>a</sup>	34.9 ± 0.1 <sup>b</sup>	15.5 ± 0.2 <sup>g</sup>
41	300	210	0.93 ± 0.13 <sup>a</sup>	32.8 ± 0.3 <sup>a</sup>	11.5 ± 0.5 <sup>d</sup>
45	300	210	0.94 ± 0.01 <sup>a</sup>	35.3 ± 0.1 <sup>c</sup>	14.6 ± 0.1 <sup>f</sup>

338 \*Water loss: during the preparation of the tapioca. The different lowercase letters (a, b, c, d, e,  
 339 f, g) indicate significant differences ( $p < 0.05$ ) for each parameter, between the tapioca samples  
 340 presented per column.

341

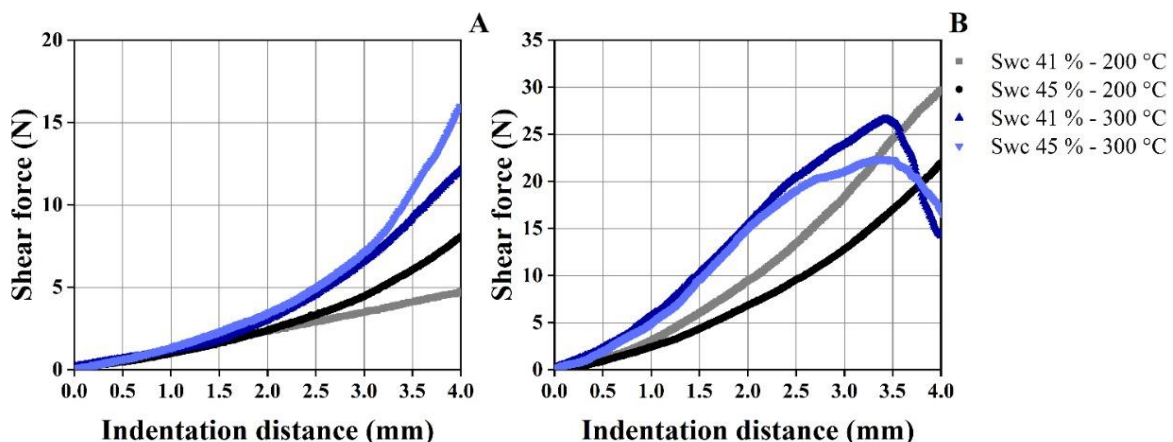
342

### 343 3.3 Texture analysis

344 Fig. 4 shows the shear force as a function of indentation distance for tapioca samples in  
 345 the simulated instrumental shear-cutting test. The cutting test simulates the shear cutting force  
 346 exerted by the incisor teeth at the time of the bite or a knife when cutting the product (Bourne,  
 347 2002). The test provides data on the force necessary to shear the surface of the tapioca, that is,

348 primarily on the characteristics of its crust. It was possible to identify two major behaviors, the  
349 one of an elastic material, characteristic of polymeric gel, and a second one typical of a dry and  
350 breakable material (Fig. 4B). The main parameter that influenced the results was the cooking  
351 time. At low cooking time (120 s) all samples showed an elastic behavior (Fig. 4A) and a  
352 convex-shaped curve. For samples cooked at 300 °C, the force increased at a faster rate for the  
353 same indentation displacement, which means that those tapiocas withstand higher energy level  
354 before rupture. Samples prepared at the highest temperature (for 120 s) were far from the  
355 boundaries of tapioca region in Fig. 2A, and thus showed a completely gelatinized core.  
356 Although the shear-cutting test assess the crust mechanical behavior, our results showed a  
357 response typical of the gel material from the core. This was probably because the tapioca crust  
358 was very adhered to the gel as indicated in the cross-sectional image of Table 2.

359           Samples prepared for 210 s showed two types of behavior. For samples prepared at 200  
360 °C it was also observed the convex curve behavior, which was even steeper (Fig. 4B). At 300  
361 °C (Fig. 4B) tapioca samples had texture profile of a dry and breakable material. A rupture  
362 point, close to the indentation distance of 3.5 mm, can be observed. Regarding visual  
363 observations, these samples presented a crust less adhered to the gelled core when compared to  
364 the other samples. Thus, the profile of these samples in Fig. 4 does not resemble the one of an  
365 elastic polymer, which was here associated to the core gel behavior, but represent indeed the  
366 crust behavior.

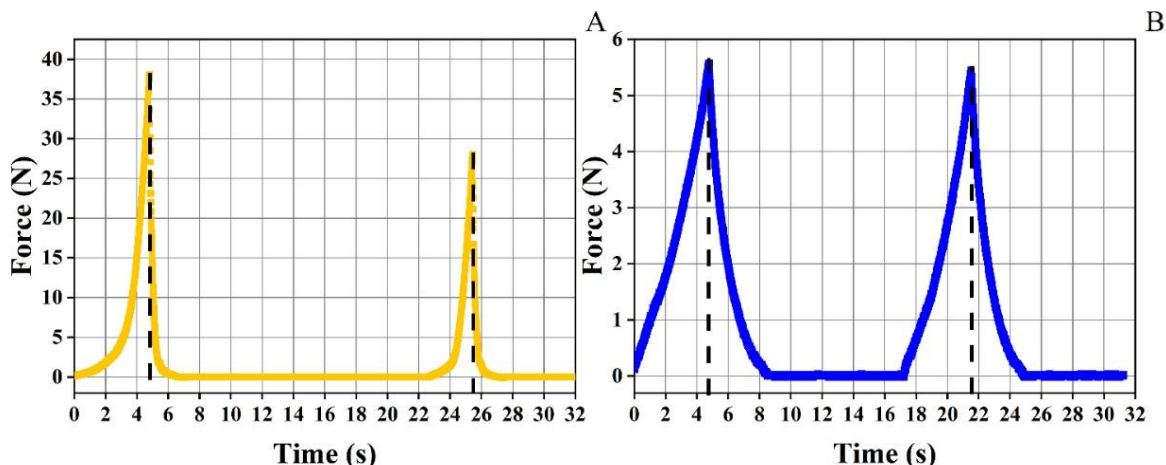


367  
368 Fig. 4. Shear force profile as a function of indentation distance in a shear cutting test of the  
369 different tapioca samples determined by the texture analyzer. The nomenclature Swc stands for  
370 starch water content.

371  
372  
373 Fig. 5 shows time-force curves from TPA test for tapiocas that were prepared with  
374 different cooking times: 120 s (Fig. 6A) and 210 s (Fig. 6 B). Those samples were chosen to  
375 represent the profiles of the other samples prepared for the same time (120 or 210 s). All profiles  
376 showed absence of the peak relative to the material's adhesivity. In low cooking time, it is  
377 observed that the maximum force to compress the product in both cycles is quite high. However,  
378 the area under the curve of cycle 2 was notoriously smaller than that of cycle 1. This  
379 demonstrates that in the second cycle there was less energy expenditure to compress the  
380 material. On the other hand, samples prepared during 210 s (Fig. 5B) showed mostly very low  
381 compressive force, but almost no disintegration was observed after the first cycle, which means  
382 that the areas of the first and second cycles were very close.

383 The profile also indicates that the elasticity of the materials is different. Samples  
384 prepared for 210 s showed distances between the beginning of the peak and its maximum  
385 similar for the two cycles, demonstrating an almost complete recovery of the material. On the  
386 other hand, tapiocas prepared for 120 s presented a much lower distance value in the second  
387 cycle when compared to the first cycle.

388



389

390 Fig. 5. TPA curves for tapioca samples for different preparation times. A) Preparation time of  
 391 120 s and temperature of 300 °C, starch water content of 41 % (w/w) ; B) Preparation time of  
 392 210 s and temperature of 200 °C, starch water content of 45 % (w/w).

393

394 Table 5 shows the mean and standard deviation of the values obtained by instrumental  
 395 texture analysis and Fig. 6 shows the effect of tapioca preparation time on the texture  
 396 parameters.

397

398 Table 5. Mean and standard deviation values of texture parameters

Samples	Shear force (N)	Hardness (N)	Cohesiveness ( - )	Springiness Index ( - )	Resilience ( - )
1	4.1 ± 0.9 <sup>a</sup>	35.1 ± 0.7 <sup>c</sup>	0.49 ± 0.03 <sup>a</sup>	0.54 ± 0.07 <sup>a</sup>	0.18 ± 0.02 <sup>a</sup>
2	5.7 ± 0.4 <sup>a</sup>	49 ± 3.4 <sup>d</sup>	0.57 ± 0.06 <sup>ab</sup>	0.58 ± 0.01 <sup>a</sup>	0.15 ± 0.01 <sup>a</sup>
3	9.3 ± 5.4 <sup>ab</sup>	37 ± 0.8 <sup>c</sup>	0.47 ± 0.01 <sup>a</sup>	0.55 ± 0.05 <sup>a</sup>	0.19 ± 0.06 <sup>a</sup>
4	10 ± 1.4 <sup>ab</sup>	48 ± 3.5 <sup>d</sup>	0.53 ± 0.01 <sup>a</sup>	0.60 ± 0.02 <sup>a</sup>	0.17 ± 0.02 <sup>a</sup>
5	26 ± 4.7 <sup>c</sup>	5.4 ± 0.9 <sup>a</sup>	0.78 ± 0.04 <sup>c</sup>	0.87 ± 0.05 <sup>b</sup>	0.47 ± 0.06 <sup>bc</sup>
6	15.4 ± 0.8 <sup>b</sup>	55 ± 5.9 <sup>e</sup>	0.58 ± 0.04 <sup>ab</sup>	0.54 ± 0.06 <sup>a</sup>	0.20 ± 0.01 <sup>a</sup>
7	27 ± 1.7 <sup>c</sup>	8.8 ± 1.2 <sup>ab</sup>	0.81 ± 0.05 <sup>c</sup>	0.92 ± 0.02 <sup>b</sup>	0.56 ± 0.03 <sup>c</sup>
8	24 ± 2.8 <sup>c</sup>	9.3 ± 0.6 <sup>ab</sup>	0.75 ± 0.04 <sup>c</sup>	0.78 ± 0.10 <sup>b</sup>	0.38 ± 0.06 <sup>b</sup>

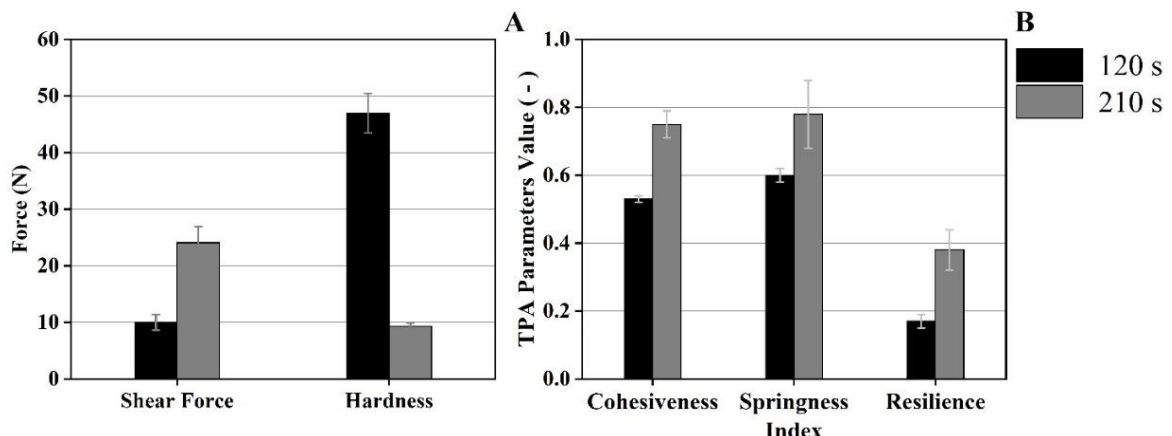
399 \* Values are reported as the mean ± standard deviation (n = 3). Each replication consists of 3  
 400 independent measurements.

401 \*\*Different letters in the same line show significant differences by the Tukey test (p < 0.05).

402

403

404



405

406 Fig. 6. Effect of tapioca preparation time on texture parameters values. A) Shear-cutting test  
 407 and Hardness-TPA results; B) TPA parameters. Tapioca samples were prepared for 120 or 210  
 408 s at 300 °C and 45 % of starch water content.

409

410 Samples prepared for shorter time presented lower cutting shear force (4 – 10 N) than  
 411 tapiocas prepared for 210 s (15 – 27 N). For longer cooking times, except for sample 6, tapiocas  
 412 presented a much lower hardness (5-10 N) than in low preparation times (35-50 N). In general,  
 413 tapiocas presented cohesiveness values of approximately 50 % for samples prepared during low  
 414 time and approximately 75 % for formulations with cooking time of 210 s (Fig. 6). As  
 415 cohesiveness indicates the rate that a material disintegrates under compression (Chandra and  
 416 Shamasundar, 2015) tapiocas prepared during 120 s (low time) although harder, disintegrated  
 417 more easily from the second compression onward.

418 Tapioca gels prepared during 210 s showed a high springiness index, with values close  
 419 to 80-90 % return of the original height, except for sample A6. Zhang et al. (2017) also observed  
 420 an elasticity rate of 90 % in tapioca gels (10 % starch). On the other hand, tapioca core gels of  
 421 samples prepared for low time presented springiness index between 0.5 and 0.6, showing that  
 422 they returned to approximately half of the original height. The resilience values for most  
 423 samples prepared during 210 s were intermediate (0.38 - 0.56). While the other samples  
 424 presented resilience of approximately 0.20, corroborating with the springiness results.

425 Thus, tapiocas and their gels prepared with the longer cooking time displayed a higher  
 426 elasticity, with lower levels of disintegration rate in the subsequent cycle, requiring a higher

427 compression energy (chewing), despite presenting softer characteristics in compression by  
428 normal force, which mimics the chewing of molar teeth. As soon as core is fully gelatinized,  
429 further cooking only leads to additional dehydration of the core and an increase of its  
430 mechanical properties, in line with the lower water contents that are reported in Table 4 for  
431 tapiocas that are prepared under these conditions.

432 **4 Conclusions**

433 For the first time, we report a physicochemical definition of tapioca "pancakes" as  
434 traditional to the Northeast of Brazil in the scientific literature. Tapioca is a cassava-based  
435 sintered product that is characterized by a crystalline to amorphous transition in its preparation,  
436 and that includes a degree of sintering that varies between core and crust depending on a  
437 sensitive balance between the rate of heating, rate of water evaporation, gelatinization of starch  
438 and the viscous formation of the sintered structure. The results showed that a minimum of 37  
439 % starch water content is needed to form tapiocas. Tapiocas have a translucent, fully gelatinized  
440 core that is elastic as well high cohesive, and crusts that retain to a significant degree the  
441 granular structure of the original cassava starch. Thick tapiocas could only be prepared at  
442 temperatures higher than 200 °C, while thin tapiocas can be prepared even at 100 °C, if cassava  
443 starch has at least 43 % of water content. Tapiocas prepared for 210 s were more resistant at  
444 cutting, more elastic, but softer under compression, in instrumental test, than those prepared for  
445 the shorted preparation time. Also, the combination of longest time and highest temperature  
446 produced tapiocas with breakable crust. Therefore, the texture of tapiocas seems to be mainly  
447 influenced by the cooking time. Therefore, for a consumer better food experience, during  
448 tapioca commercialization it should be posed a question regarding the wished main texture  
449 characteristics, which could be attained by controlling the tapioca preparation time.

450  
451

452 **Acknowledgements**

453 The authors acknowledge the Science, Technology and Innovation Ministry (MCTI) of  
454 Brazil for financial support through the program CVTSAN-UFPB and the Coordination of  
455 Improvement of Higher Education Personnel (CAPES), Brazil.

456

457 **References**

- 458 Almeida, E.G. de, 2017. Desenvolvimento de goma de mandioca colorida com bioativos da  
459 beterraba (*Beta Vulgaris*). Graduação. Universidade Federal Da Paraíba - UFPB.  
460 <https://doi.org/https://repositorio.ufpb.br/jspui/handle/123456789/15714>
- 461 AOAC - Association of Official Analytical Chemists, 2016. Official methods of analysis of  
462 384 the Association of Official Analytical Chemists 20th ed. Rockville: A.O.A.C.
- 463 Bacelar, L.N., Góis, M.L. de S., 1997. A produtividade do léxico tupinambá no português do  
464 Brasil. Signótica 9, 105–117.
- 465 Bezerra, C., 2005. Dos Passos de gazela de Iracema ao rastro do capital: o cotidiano das(os)  
466 tapioqueiras (os) de Messejana-Fortaleza- CE. Universidade Federal do Ceará - CE, Brasil.
- 467 Bourne, M.C., 2002. Food Texture and Viscosity: Concept and Measurement, 2nd ed. Elsevier  
468 Science & Technology Books, Geneva, New York.
- 469 Brasil (2005). Ministério da Agricultura, Pecuária e Abastecimento. Instrução Normativa nº 23,  
470 de 14 de dezembro de 2005. Aprova Regulamento Técnico de Identidade e Qualidade dos  
471 Produtos Amiláceos Derivados da Raiz de Mandioca Diário Oficial República Federativa  
472 do Brasil, Brasília.
- 473 Chandra, M. V., Shamasundar, B.A., 2015. Texture profile analysis and functional properties  
474 of gelatin from the skin of three species of fresh water fish. Int. J. Food Prop. 18, 572–584.  
475 <https://doi.org/10.1080/10942912.2013.845787>
- 476 Chisté, R.C., Silva, P.A., Lopes, A.S., da Silva Pena, R., 2012. Sorption isotherms of tapioca  
477 flour. Int. J. Food Sci. Technol. 47, 870–874. <https://doi.org/10.1111/j.1365-2621.2011.02900.x>
- 479 Claude, J., Ubbink, J., 2006. Thermal degradation of carbohydrate polymers in amorphous  
480 states: A physical study including colorimetry. Food Chem. 96, 402–410.  
481 <https://doi.org/10.1016/j.foodchem.2005.06.003>
- 482 Costa, C. de O.C., Moreira, V.F., França, D.C., Pereira, Y.V., 2019. Internacionalização da  
483 goma de tapioca brasileira. Rev. Raunp 11, 22–39.  
484 <https://doi.org/http://dx.doi.org/10.21714/raunp.v11i1.188>
- 485 Ferreira Batista, J., Silva, R.T., Nascimento, M.K., Braga, A.L., 2014. Feasibility study for  
486 fortification of Tapioca regional food with iron microparticles, in: 2nd Latin-America  
487 Symposium on Encapsulation - Bioencapsulation - Research Group. João Pessoa - PB,

- 488 Brasil, pp. 198–199.
- 489 Foegeding, E.A., Stieger, M., van de Velde, F., 2017. Moving from molecules, to structure, to  
490 texture perception. Food Hydrocoll. 68, 31–42.  
491 <https://doi.org/10.1016/j.foodhyd.2016.11.009>
- 492 Funami, T., 2017. In vivo and rheological approaches for characterizing food oral processing  
493 and usefulness of polysaccharides as texture modifiers- A review. Food Hydrocoll. 68, 2–  
494 14. <https://doi.org/10.1016/j.foodhyd.2017.01.020>
- 495 Gül, H., Haylt, F., Acar, C., Kurt, N., Dizlek, H., 2018. Effects of Chickpea-Based Leavening  
496 Extract on Physical, Textural and Sensory Properties of White Wheat Bread. Int. J. Food  
497 Eng. 14, 1–11. <https://doi.org/10.1515/ijfe-2017-0348>
- 498 Gusmão, F.M.B. de, 2011. Empoderamento e Preservação do Patrimônio Cultural O Caso do  
499 Programa de Recuperação e Revitalização de Núcleos Históricos Projeto Piloto Olinda /  
500 PE , 1981-1989 . Universidade Federal de Pernambuco.
- 501 Jenkins, P. J., & Donald, A. M., 1998. Gelatinisation of starch: a combined SAXS/WAXS/DSC  
502 and SANS study. Carbohydrate research, 308(1-2), 133-147.
- 503 Martins, Z.E., Pinho, O., Ferreira, I.M.P.L.V.O., 2018. Impact of new ingredients obtained from  
504 brewer's spent yeast on bread characteristics. J. Food Sci. Technol. 55, 1966–1971.  
505 <https://doi.org/10.1007/s13197-018-3107-0>
- 506 Messia, M.C., Reale, A., Maiuro, L., Candigliota, T., Sorrentino, E., Marconi, E., 2016. Effects  
507 of pre-fermented wheat bran on dough and bread characteristics. J. Cereal Sci. 69, 138–  
508 144. <https://doi.org/10.1016/j.jcs.2016.03.004>
- 509 Pathare, P. B., Opara, U. L., & Al-Said, F. A. J. (2013). Colour Measurement and Analysis in  
510 Fresh and Processed Foods: A Review. *Food and Bioprocess Technology*, 6(1), 36–60.  
511 <https://doi.org/10.1007/s11947-012-0867-9>
- 512 Picanço, M. de N.B., 2017. Comida, consumo e identidade: notas etnográficas por entre os  
513 processos migratórios da mandioca; do contexto brasileiro e paraense ao contexto europeu.  
514 Mosaico 8, 203. <https://doi.org/10.12660/rm.v8n13.2017.70658>
- 515 Pozo, M., Armijo, F., Maraver, F., Manuel, J., Corvillo, I., 2018. Applied Clay Science Texture  
516 pro fi le analysis ( TPA ) of clay / seawater mixtures useful for peloid preparation : E ff  
517 ects of clay concentration , pH and salinity 165, 40–51.  
518 <https://doi.org/10.1016/j.clay.2018.08.001>
- 519 Santos, D. da C., Alves, I. da S., Rodrigues, L.M. de S., Lisbôa, J.F., Gomes, J.P., 2015. Extrato  
520 hidrossolúvel de beterraba texture profile and colorimetry of tapiocas hydrated with water-  
521 soluble extract of beet, in: Congresso Técnico Científico Da Engenharia e Da Agronomia  
522 CONTECC' 2015. CONTECC, Fortaleza-CE, Brasil, pp. 1–4.
- 523 Shigaki, T., 2016. Cassava : The Nature and Uses, in: Encyclopedia of Food and Health.  
524 Elsevier Ltd., pp. 687–693. <https://doi.org/10.1016/B978-0-12-384947-2.00124-0>
- 525 Silva, Cunha, R.L., Lopes, A.S., Pena, R.D.S., 2013. Caracterização de farinhas de tapioca  
526 produzidas no estado do Pará. Ciência Rural 43, 185–191. <https://doi.org/10.1590/S0103->

527 84782012005000130

528 SILVA, P.A., CUNHA, R.L., LOPES, A.S., PENA, R.D.S., 2013. Obtenção Da Farinha De  
529 Tapioca: Parte 1 – Avaliação Do Processo. Bol. do Cent. Pesqui. Process. Aliment. 31.  
530 <https://doi.org/10.5380/cep.v31i1.32659>

531 Zhang, X., Li, R., Kang, H., Luo, D., Fan, J., Zhu, W., Liu, X., Tong, Q., 2017. Effects of low  
532 molecular sugars on the retrogradation of tapioca starch gels during storage. PLoS One 12,  
533 1–10. <https://doi.org/10.1371/journal.pone.0190180>

1                   **A ciência da tapioca: da goma de amido ao produto final**

2

3       Gisleânia Dourado Landim Parente<sup>a</sup>, Isaque Jeronimo Porto<sup>a</sup>, Marta Maria da Conceição<sup>a</sup>,  
4       Sandro Marden Torres<sup>a</sup>, Johan B. Ubbink<sup>b</sup>, Ana Luiza Mattos Braga<sup>a\*</sup>

5

6       <sup>a</sup> Department of Food Science and Technology and Regional Development, Federal University  
7       of Paraíba, Campus I, João Pessoa, Paraíba, CEP 58058-600, Brazil.

8       <sup>b</sup> Department of Food Science and Nutrition, University of Minnesota, United States

9

10      **Resumo**

11     Objetivo deste artigo foi analisar as transformações ocorridas em misturas com elevadas  
12     concentrações de amido nativo de mandioca. Sistemas de amido concentrado (40-85 %) foram  
13     inseridos em um processo padronizado, inspirado na elaboração do produto alimentício típico  
14     do nordeste brasileiro, a tapioca. Para tanto, foi realizado teste de distribuição de tamanho  
15     partículas, microscopia eletrônica de varredura (MEV), análise de difração de raio X (DRX) e  
16     do amido nativo de mandioca e do material formado após o tratamento térmico. Além disso,  
17     desenvolveu-se uma metodologia para estudo reológico de pasta com alta concentração de  
18     amido (40 – 60 % p / p). os resultados mostraram que as amostras de amido hidratado exibem  
19     elevado teor de atividade de água (0,775 - 0,997) e umidade (15,81 a 42,84 % b.u), o que  
20     caracteriza a goma de mandioca um produto perecível. O amido de mandioca com alta  
21     concentração de amido (85 – 40 % p / p) inserido em um processo térmico, forma material com  
22     diferentes características físicas dependo da proporção amido:água. As imagens de microscopia  
23     eletrônica d varredura mostraram exatamente o momento em que os grânulos se rompem (65  
24     % de amido), além da presença de material com aspecto coeso e contínuo provavelmente  
25     formado pelo processo de gelatinização (65 - 40 % de amido). Também foi observado perda da

26 cristalinidade dos grânulos de amido hidratados após tratamento térmico em proporções acima  
27 de 65 % de amido. Por fim, este estudo apresentou dados ainda não publicados em reação a  
28 reologia de sistemas com alta concentração de amido e propõe a aplicação de uma nova  
29 metodologia para obtenção de informação científica dentro da perspectiva reológica de  
30 materiais amiláceos.

31 **Palavras-chave: amido de mandioca, produto amiláceo, tapioca, propriedades reológicas**

32 **1. Introdução**

33 O amido é um polímero na forma granular sintetizado no interior dos plastídios de grãos,  
34 raízes e tubérculos. Exibe uma conformação molecular semicristalina, composta por cadeias  
35 lineares de amilose (região amorfa) e cadeias ramificadas de amilopectina (região cristalina),  
36 ambas formadas por moléculas de D-glicose unidas por meio de ligações glicosídicas (Wang et  
37 al., 2014; Zhang et al., 2018).

38 Além de exercer papel fundamental na alimentação humana, o amido representa um  
39 composto valioso para diversos setores industriais como alimentícios, rações, químico,  
40 petroquímico, adesivos, tintas, papel, têxtil e farmacêutico (Maniglia et al., 2021; Wang et al.,  
41 2014). Essa grande aplicabilidade do amido é decorrente não só por ser um recurso abundante,  
42 de baixo custo e renovável, mas principalmente por suas propriedades e capacidade de  
43 transformação (Castanha et al., 2017).

44 Ao ser aquecido na presença de água, os grânulos de amido intumescem, ampliando seu  
45 tamanho a partir da absorção de água, o que provoca uma desestabilização no arranjo molecular  
46 e cristalino e lixiviação da amilose, esse processo é conhecido com gelatinização. Em seguida,  
47 quando a temperatura diminui, o amido sofre uma transição chamada de retrogradação, onde as  
48 moléculas de amilose e amilopectina tendem a se reassociarem formando ligações cruzadas e  
49 zonas de junção (Koev et al., 2020; Maniglia et al., 2020; Zhang et al., 2018). De acordo com  
50 Wang et al. (2015) essas etapas são primordiais na elaboração de produtos alimentares a base

51 de amido, as quais podem ser influenciadas por fatores como, origem botânica, teor de água no  
52 sistema, temperatura e tempo do aquecimento, forças de cisalhamento entre outro (Wang et al.,  
53 2015; Xing et al., 2017)

54 Normalmente, os atributos funcionais do amido são investigados a partir de sistemas  
55 modelo com dispersões de baixa concentração (< 20 %) ou através da avaliação das  
56 características de determinados produtos alimentares (Matignon & Tecante, 2017). Apesar do  
57 grande número de dados relacionados as propriedades do amido, ainda não se tem informações  
58 suficientes para sanar todas as dúvidas, principalmente quando se trata dos processos de  
59 gelatinização e retrogradação (Carlstedt et al., 2015; Matignon & Tecante, 2017; Xing et al.,  
60 2018).

61 Carlstedt e colaboradores (2015) desenvolveram um diagrama de fases para a mistura  
62 amido de batata e água a partir de vários métodos e concentrações com a finalidades de  
63 esclarecer o processo de gelatinização Recentemente, Xing et al. (2018) investigou a influência  
64 do tempo e da temperatura no processo de gelatinização enquanto Biduaki et al. (2018) estudou  
65 a influência do teor de amilose nas características do gel formado pela gelatinização do amido  
66 nativo de arroz e Han et al (2019) comparou as características entre o amido de mandioca e de  
67 batata-doce. Exceto Carlstedt et al (2015), os estudos citados foram conduzidos a partir  
68 suspenções com baixa concentrações de amido. Provavelmente, essa tendência decorre da  
69 dificuldade em aplicar as metodologias em sistemas com alta concentração de amido.

70 A tapioca é um alimento típico do nordeste brasileiro elaborado por meio do amido de  
71 mandioca hidratado com baixa quantidade de água e submetido ao calor seco. Tem formato de  
72 panqueca com crostas esbranquiçadas e secas nas superfícies e núcleo gelatinoso (Parente et al.  
73 2021). As peculiaridades visuais da tapioca, despertaram interesse do presente grupo de  
74 pesquisa em investigar as propriedades do amido nativo de mandioca em estrutura alimentar  
75 resultante da alta concentração de amido, a partir da tapioca.

76 Dessa forma, o objetivo desse trabalho foi analisar as transformações ocorridas em  
77 misturas de amido e água, com elevadas concentrações de amido de mandioca nativo inserido  
78 em um processo padronizado com calo seco, inspirado na elaboração da tapioca afim ampliar  
79 o conhecimento científico sobre as propriedades singular do amido. Com isso espera-se obter  
80 informações relevantes tanto para comunidade acadêmica que anseiam por novo subsídios  
81 sobre esse tema, como para desenvolvimento industrial e tecnológica dos diversos produtos  
82 amiláceos.

83 **2 Metodologia**

84 O amido de mandioca nativo utilizado nesse estudo foi adquirido no comércio local  
85 (João Pessoa, Brasil) e armazenado em temperatura (25 – 30 °C) durante todo o período de  
86 pesquisa. Uma quantidade representativa dessa amostra foi enviada para Universidade de  
87 Minnesota (Minnesota, EUA) onde foram realizadas as análises de difração de raio X (DRX)  
88 aos cuidados do professor Dr. Johan B. Ubbink.

89 **2.1 Hidratação do amido de mandioca**

90 O amido nativo de mandioca foi hidratado adicionando-se diferentes quantidades de  
91 água destilada para obter amostras com proporção água:fécula de 5:100 a 60:100 (p / p). logo  
92 em seguida a adição de água foi realizada a homogeneização usando uma espátula e feito  
93 movimentos circulares até o desaparecimento de todos os aglomerados ou blocos de partículas  
94 formados com a adição da água. As amostras foram deixadas em repouso por 12 horas em  
95 temperaturas entre 25 a 30 °C dentro de um recipiente plástico com tampa. Após o tempo de  
96 repouso as amostras foram peneiradas utilizando peneira de uso doméstico e submetidas ao  
97 processo térmico. A determinação de umidade e atividade de água (25 °C) das amostras de  
98 amido nativo e das amostras de amido hidratado (5, 20, 15, 25, 35, 45, 50, 55 e 60 %) foi  
99 realizada seguindo a metodologia descrita pela AOAC (2016).

100    **2.2    Processo térmico de calor seco**

101           As amostras de amido:água preparadas (Item 1.1) foram submetidas ao processo térmico  
102          de calor seco patronizado com base nas práticas comerciais de elaboração de tapioca. O  
103          procedimento foi realizado utilizando uma chapa de teflon em contato direto com a chama do  
104          fogão. Um molde cilíndrico de aço inox com diâmetro de 9,5 cm foi colocado sob a sob a chapa  
105          quente. Quando a superfície da chapa atingiu a temperatura de 200 °C, adicionou-se uma na  
106          área interna do molde a quantidade de 35 g da amostra (amido hidratado), essa quantidade foi  
107          definida de modo que todas as amostras pudessem apresentar a proporções massa: área  
108          superficial de 0,49 g/cm<sup>2</sup>.

109           O tempo do processo foi de 120 segundos, dividido em dois momentos. Quando a  
110          amostra é colocada em contato com a chapa quente, identifica-se que uma superfície fica em  
111          contato direto com a chapa (S1) e uma outra área voltada para o meio externo (S2), sendo assim,  
112          a S1 permanece em contato com próximo ao calor por 60 s e em seguida é feita uma viragem  
113          onde coloca-se a S2 sob contato direto com a chapa quente por 60 segundos enquanto a S2 fica  
114          voltada ao meio externo durante esse tempo.

115           Cada amostra de amido hidratado submetido ao processo térmico resultou em um  
116          material com características físicas diferentes. Essas estruturas amiláceas foram caracterizadas  
117          visualmente por Parente e colaboradores (2021), e classificadas como partículas agregadas.

118    **2.3    Teste de distribuição de tamanho de partículas agregadas**

119           As partículas agregadas obtidas pelo processo térmico de calor seco foram submetidas  
120          ao teste de distribuição de tamanho de partículas agregadas. Cada amostra foi inicialmente  
121          pesada e em seguida colocadas em um sistema de peneira com diferentes Mesh (2,63 mm; 0,30  
122          mm e Fundo) utilizando o equipamento da marca Matest (Belo Horizonte, Brasil). As amostras  
123          foram colocadas sob a peneira de maior Mesh (2,63 mm) e submetida a uma agitação de 80 rpm

124 por 10 minutos. Por fim, a massa retida em cada peneira foi quantificada por gravimetria a partir  
125 de uma balança analítica de precisão da marca BEL Engineering M214AIH (Milano, Itália). O  
126 sistema de peneira permitiu a separação quantitativa do material amiláceo estudado em  
127 tamanhos diferentes

128 **2.4 Microscopia eletrônica de varredura – MEV**

129 A estrutura morfológica do amido nativo de mandioca e das partículas agregadas (15,  
130 25, 45 e 60%) foram observadas em microscópio eletrônico de varredura modelo Quanta 450,  
131 marca FEI (Estados Unidos). As partículas agregadas foram preparadas deixando-as por 24  
132 horas em dessecador para reduzir a umidade e proporcionar melhor visualização no  
133 equipamento. Em seguida, as amostras foram raspadas e fixadas em fita de carbono e recoberta  
134 com ouro em um evaporador a vácuo. A amostras com 60% de água adicionada foi cortada  
135 transversalmente e observadas em 3 áreas distintas (S1, S2 e núcleo). Por fim as amostras foram  
136 inseridas no equipamento a uma tensão de aceleração 15 kV a uma ampliação de 2000 x.

137 **2.5 Difração de raio X – DRX**

138 Para a análise de difração de raio X, inicialmente as amostras (amido nativo, partículas  
139 agregadas 15, 25, 35, 50 e 60 %) foram secas durante por 12 horas a 40 °C sob um fluxo de ar  
140 suave, em seguida foram moídas até um pó fino. As amostras de pó foram montadas para o  
141 modo de reflexão em um único cristal orientado a silício 001. O equipamento utilizado foi o  
142 microdifractômetro de raios X Advance D8 (Bruker, Karlsruhe, Alemanha) acoplado ao  
143 detector Vantec bidimensional, sistema de alinhamento de câmera de vídeo / laser e uma fonte  
144 de ponto de radiação de raios X Co K $\alpha$  ( $\lambda = 1,79 \text{ \AA}$ ) O feixe de raios-X foi condicionado com  
145 um monocromador de grafite. Utilizou-se um colimador de  $800 \mu\text{m}$  e a distância entre a amostra  
146 e o detector foi mantida em 20 cm. Três quadros de medição foram digitalizados a 20, 45 e 70°,

147 respectivamente. As imagens do detector de área foram finalmente convertidas em intensidade  
148 unidimensional vs. conjuntos de dados  $2\theta$  usando um algoritmo de integração de média.

149 **2.6 Varredura de temperatura em estado estacionário**

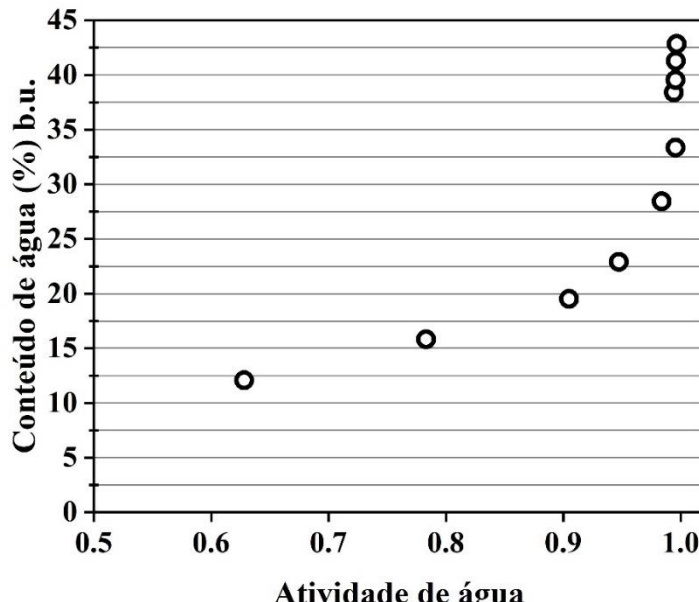
150 O perfil de pasta do amido de mandioca disperso em água foi determinado de acordo  
151 com metodologias propostas para Rapid Visco Analyser (Li et al., 2015) adaptadas para um  
152 reômetro de tensão controlada Haake MARS III (Karlsruhe, Alemanha). O experimento foi  
153 conduzido, utilizando uma geometria do tipo cone-placa de 35mm de diâmetro e  $2^\circ$  de  
154 inclinação (C35/ $2^\circ$  Ti L) e uma capa protetora para evitar a evaporação da água durante o teste.  
155 As amostras foram aquecidas de 50 a 85 °C, a 0,125 °C/s, e mantidas a 85 °C por 570 s. Para  
156 avaliar a influência da redução da temperatura, as amostras foram aquecidas de 50°C a 85°C a  
157 0,125 °C/s, mantidas a 85 °C por 90 s e resfriadas até 40 °C, a 0,125 °C/s. As suspensões de  
158 amido submetidas ao estudo reológico foram preparadas adicionando-se água destilada para  
159 obter proporções de amido: água de 40:60, 50:50, 55:45, 60:40 % (p/p)

160 **3 Resultados e discussão**

161 Os valores do conteúdo de água (%) b.u. e atividade de água a 25 °C do amido de  
162 mandioca e das amostras de amido hidratado com diferentes proporções de água estão  
163 representados pela curva de sorção da Figura 1. O amido nativo de mandioca apresentou  
164 atividade de água de  $0,628 \pm 0,03$  e conteúdo de água  $12,07 \pm 0,06$ , enquanto as amostras de  
165 amido hidratado variaram entre 0,775 a 0,997 de aw e 15,81 a 42,84 de umidade em base úmida.  
166 A curva de sorção mostra-se de forma exponencial, indicando um aumento da atividade de água  
167 com o aumento do conteúdo de água nas amostras.

168 Em sistemas alimentares com baixa atividade de água, as moléculas de água são  
169 absorvidas apenas por sítios de ligações superficiais, já em materiais com elevada da atividade  
170 de água ocorre a dissolução dos componentes solúveis e com isso o aumento da umidade. Esse

171 comportamento é característico de curvas tipo III de acordo com a classificação em isotermas  
 172 de sorção. (Thys et al., 2010).



173

174 Figura 1. Curva de sorção do amido de mandioca em diferentes proporções de amido: água.  
 175

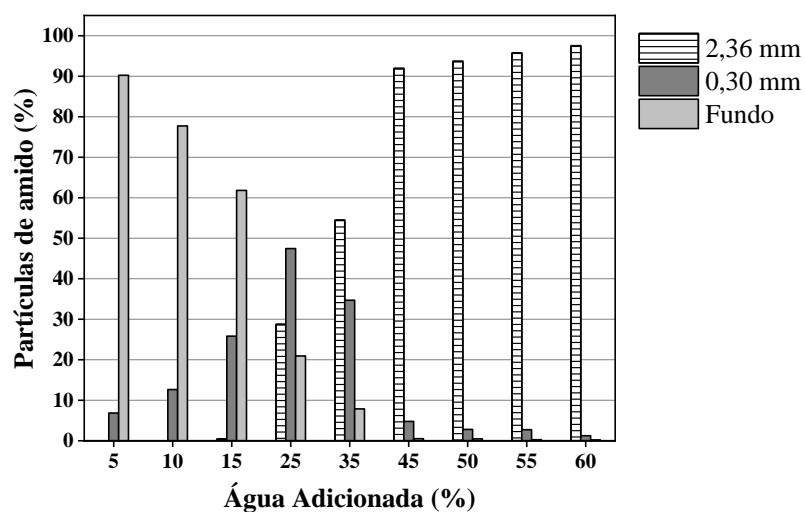
176 Fécula de mandioca hidratada, comumente conhecida como goma de tapioca, é utilizada  
 177 há décadas na elaboração de tapioca, mas só recentemente foi industrializada e distribuída como  
 178 um produto alimentício pronto para o consumo. O processo de industrialização da goma de  
 179 tapioca é baseado apenas em conhecimento empírico. O controle da atividade da água no  
 180 produto é importante para avaliação da estabilidade do armazenamento em relação a oxidação  
 181 lipídica, crescimento microbiano, atividades não enzimáticas e enzimáticas, além das  
 182 propriedades de textura dos alimentos. Um elevado valor de atividade de água pode desencadear  
 183 uma série alterações nas características dos alimentos (Yu & Li, 2012).

184 O valor mínimo de atividade de água em que os microrganismos podem crescer é de  
 185 0,60 e o valor mínimo para o crescimento da maioria das bactérias é de aproximadamente 0,87.  
 186 Algumas espécies de fungos xerófilos e leveduras osmofílicas podem crescer em atividades de  
 187 água de 0,60 a 0,70, mas o mínimo para a produção de micotoxinas por fungos é 0,80 (Beuchat  
 188 et al., 2013). Isso implica que, a fécula de mandioca mesmo sem adição de água corre o risco

189 de sofrer com o desenvolvimento de microrganismos. A adição da quantidade mínima de água  
 190 (5 %) atinge uma atividade de água de 0,84 mostrando-se vulnerável ao ataque de fungo  
 191 produtores de micotoxinas e bem próximo do valor mínimo estimado para a maioria das  
 192 bactérias. Consequentemente, as demais amostras (10 % a 60 %) encontram-se na faixa de  
 193 atividade de água que desfavorece a sua estabilidade durante o armazenamento, o que exige  
 194 maiores cuidados desde as primeiras etapas de produção da goma de tapioca até o consumo. A  
 195 escolha da embalagem e as condições de armazenamentos podem contribuir para um maior  
 196 tempo de prateleira.

### 197 3.1 Distribuição de tamanho de partículas agregadas

198 A Figura 2 mostra a quantidade de partículas amiláceas retidas em cada peneira do  
 199 sistema. Esses resultados contribuem para uma análise mais profunda do comportamento do  
 200 amido quando submetido a um processo térmico em condições de umidade reduzida e nos  
 201 permite observar a formação de agregados de grânulos de amido.



202

203 Figura 2. Fração mássica retida em peneiras de mesh com diferentes granulometrias.

204

205

206 Observa-se que, quanto maior a quantidade de água adicionada maior é o tamanho do  
 207 agregado de partículas amiláceas. A presença de água no amido contribui para formação de

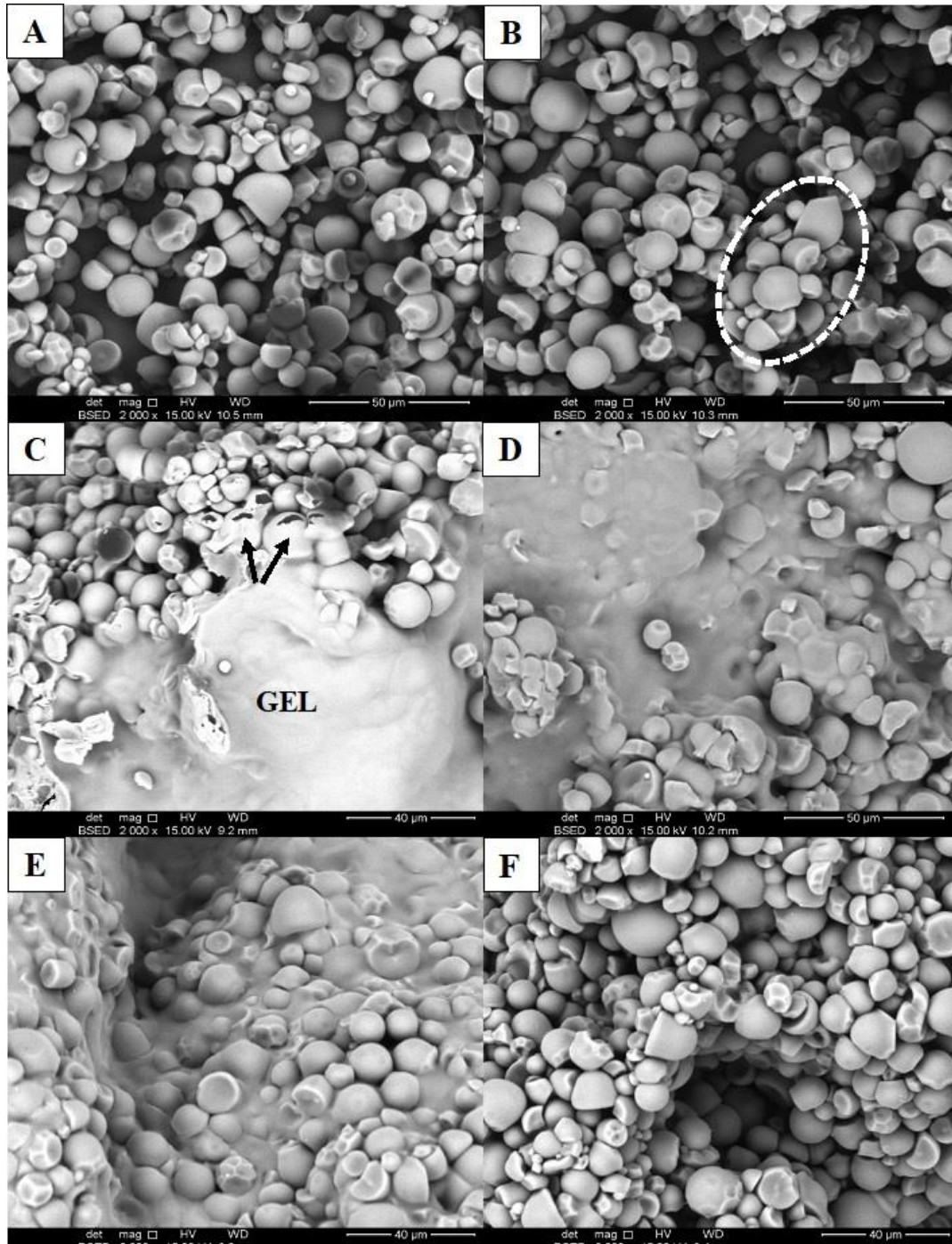
208 estruturas amiláceas maiores de forma contínua. Entre as amostras com proporção de água 5 a  
209 15 %, grande parte do material ficou retido na última peneira (fundo) A partir da de 25 % de  
210 adição de água, percebe-se uma quantidade relevante de agregados maiores (2,36 mm),  
211 enquanto as amostras com adição de 45 a 60 % de água, em média 95% do material amiláceo  
212 foi retido na primeira peneira (2,35 mm), com formação revelando sólido contínuo semelhante  
213 a tapioca.

214 A partir dessas informações, comprehende-se que o amido de mandioca com baixa  
215 quantidade de água, ou seja, com alta concentração de amido posto em um processo térmico, é  
216 capaz de formar 3 tipos de materiais distintos: um pó fino com pequenos agregados quebradiços  
217 (5 – 25 %), pó fino mais partículas agregadas quebradiças maiores (25 – 35 %) e material sólido  
218 contínuo (45 – 60 %). Tais observação estão de acordo com os achados encontrados por Parente  
219 et al. (2021) que estudou o impacto do teor de água do amido de mandioca e das condições de  
220 preparação da tapioca (temperatura e tempo) na sinterização e formação do gel de amido

221 **3.2 Microscopia eletrônica de varredura – MEV**

222 A micrografia de microscopia eletrônica de varredura do amido nativo de mandioca e  
223 das partículas agregadas após tratamento térmico são mostradas na Figura 3.

224



225

226 Figura 3. Micrografias (MEV) do amido de mandioca nativo (A) e do material amiláceo obtido  
 227 após tratamento térmico das amostras de amido hidratado com diferentes proporções de  
 228 amido:água. (B) partícula agregada 75:25 % (p / p), (C) partícula agregada 65:35 % (p / p), (D)  
 229 partícula 55:45 % (p / p), (E) partícula agregada 40:60 % crosta 1, (F) partícula agregada 40:60  
 230 % Crosta 2  
 231

232

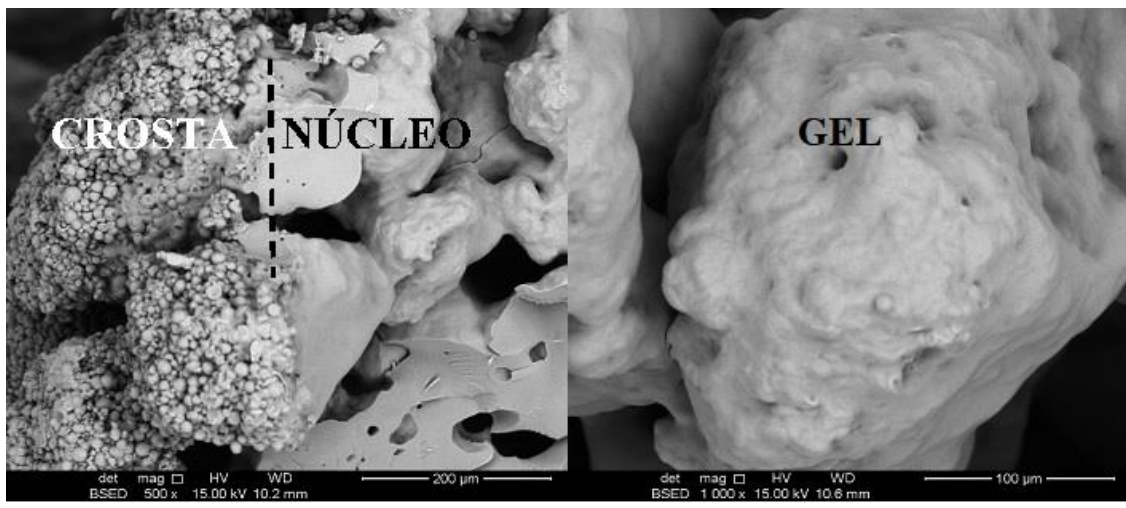
233 A Figura 3A mostra que o amido nativo de mandioca apresentou formato poligonal e  
 234 truncados com alguns grânulos circulares (Dudu et al., 2019; Fernandes et al., 2019; Han et al.,

235 2019). O material amiláceo resultante do processo térmico com proporção de 75 % de amido e  
236 25 % de água apresenta morfologia granular bem semelhante ao do amido nativo, no entanto  
237 percebe-se que os grânulos estão maiores e mais próximos uns dos outros (Figura 3B). Observa-  
238 se na Figura 3C que os grânulos de amido sofreram uma transformação significativa em sua  
239 microestrutura. Essa mudança pode ser atribuída a desintegração dos grânulos de amido. Em  
240 sistemas com moléculas de água abundante, os grânulos podem atingir o máximo de expansão  
241 e com isso se rompem perdendo a forma granular (Z. Li & Wei, 2020). A imagem obtida da  
242 partícula agregada com proporção amido: água 65:35 (p / p) mostra exatamente o momento em  
243 que os grânulos se rompem (Figura 3C). Nota-se também, a presença de material contínuo, sem  
244 formato granular que provavelmente foi formado pelo processo de gelatinização. Segundo  
245 Donmez e colaboradores (2021) a gelatinização provoca uma transformação notável nas  
246 características do amido, e esse processo geralmente acontece quando o amido é aquecido na  
247 presença de água. Essas características também são notadas na Figura 3D que representa o  
248 material resultante da proporção de 55:45 % (amido:água).

249 As imagens das Figuras 3E – 3F mostram a microestruturas da crosta 1 e crosta 2,  
250 respectivamente, do material obtido com proporção 40:60% (p / p) de amido: água, que deu  
251 origem ao produto amiláceo conhecido como tapioca. Nota-se uma diferença substancial entre  
252 as duas crostas. Observa-se que na crosta 1 (Figura 3E), grânulos de amido embutido na camada  
253 contínua, o núcleo, além disso, grande parte dos grânulos parecem intumescidos. Já na crosta 2  
254 (Figura 3F) os grânulos encontram-se inteiros, unidos com elevado grau de aglomeração. Uma  
255 região cava é observada em meio a estrutura amilácea, indicando a ausência de fluxo contínuo  
256 dos grânulos. Segundo Parente e colaboradores (2021), as crostas da tapioca são formadas pela  
257 agregação dos grânulos de amido e estão fortemente ligadas ao núcleo, onde a superfície que  
258 teve primeiro contato direto com a chapa quente forma uma superfície lisa (crosta 1), enquanto

259 superfície que teve contato com a chapa após 60 s do início do processo de origem a uma  
260 superfície rugoso e irregular.

261 A Figura 4 mostra imagens microscópica da região central (núcleo) do agregado de  
262 partícula obtido após tratamento térmico do amido hidratado com concentração de 40 % (p / p),  
263 a quais fornecem informações detalhadas sobre as características estruturais do gel formado  
264 (núcleo) e sua interface entre a crosta.  
265



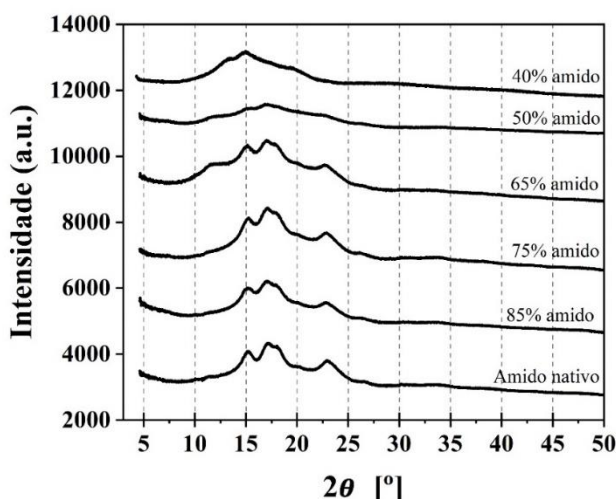
266 Figura 4. Micrografia eletrônica de varredura da região central do material amiláceo obtido  
267 após tratamentos térmico do amido hidratado em proporção 40:60% (p / p) de amido:água  
268

270 A interface entre a crosta e o núcleo é retratada na Figura 4A, certificando a existência  
271 de materiais com características distintas na mesma amostra (Parente et al., 2021). A crostas e  
272 o núcleo estão interligadas de maneira indivisível formando um arranjo de componentes  
273 amiláceos interligados continuamente. A microestrutura também apresenta aberturas  
274 aparentemente largas no núcleo (Figura 4A). A Figura 4B mostra a aparência microscópica do  
275 núcleo (gel) do amido de mandioca hidratado com alta concentração de amido (40 % p / p).  
276 Nota-se que os grânulos de amido não apresentam morfologia original, o que se ver na imagem  
277 é um material com estrutura fechada, sem a presença de grânulos inteiros, aparentemente coeso  
278 e espesso, bem característico de um gel, sinalizando a ocorrência do processo de gelatinização

279 total dos grânulos de amido presentes na região central (núcleo). Segundo Jenkins e Donald  
 280 (1998), conforme os grânulos de amido se gelatinizam sua estrutura morfológica se desfaz e as  
 281 propriedades do amido, como a birrefringência deixam de existir.

282 **3.3 Padrão de cristalinidade**

283 A Figura 5 mostra os padrões de difração de raio X do amido nativo de mandioca e das  
 284 partículas amiláceas obtidas após tratamento térmico padronizado em diferentes proporções de  
 285 amido:água (85:15, 75:25, 65: 35, 50:50, 40:60). Observa-se que, a amostra de amido nativo  
 286 apresentou características do padrão de cristalinidade tipo A, com picos em 15, 17 e 23°  
 287 semelhante aos achados por Dudu et al., (2019) e Valencia et al. (2016).



288

289 Figura 5. Padrões de difração de raio X do amido nativo de mandioca e das partículas agregadas  
 290 fpmadas após tratamento térmico com amido hidratado em diferentes proporções de  
 291 amido:água (p / p)

292

293 As amostras preparadas com 85 e 75 % de amido seguiram o mesmo padrão de  
 294 cristalinidade do amido nativo, indicando que o grau de cristalinidade do amido de mandioca  
 295 foi mantido mesmo após o tratamento térmico (200 °C por 120 s). Nota-se também que ocorreu  
 296 a formação de um pico sucinto e atípico em 11° no material amiláceo preparado com 65 % de  
 297 amido. Com relação as amostras preparadas com 50 e 40 % de amido, os picos que determinam  
 298 o padrão de cristalinidade do amido de mandioca desaparecem mostrando que o tratamento

299 térmico aplicado em amostras com menores concentração de amido e maior quantidade de água  
300 foi capaz de destruir significativamente o modelo de cristalinidade do amido.

301 A diferença da difração de raio X entre as amostras, provavelmente está relacionada a  
302 quantidade de água adicionada no amido. Apesar do amido em sua grande maioria ser composto  
303 por cadeias ramificadas, ele apresenta um certo grau de cristalinidade demonstrado pelos picos  
304 presentes na Figura 5. É coerente que com o aumento da proporção de água ocorra a diminuição  
305 da cristalinidade da amostra submetida a tratamento térmico. Conforme desorganização da  
306 matriz cristalina observada no MEV (Figura 3).

307 A mistura de amido e água pode ser considerado um sistema bastante complexo. Essa  
308 observação deve-se a estrutura multiforme do amido, configurada pela presença de amilose  
309 (região amorfa) e amilopectina (região cristalina), compostos termodinamicamente diferentes  
310 tornado mais difíceis a compreensão de transições de fases do amido assim como suas das  
311 propriedades (Carlstedt et al., 2015).

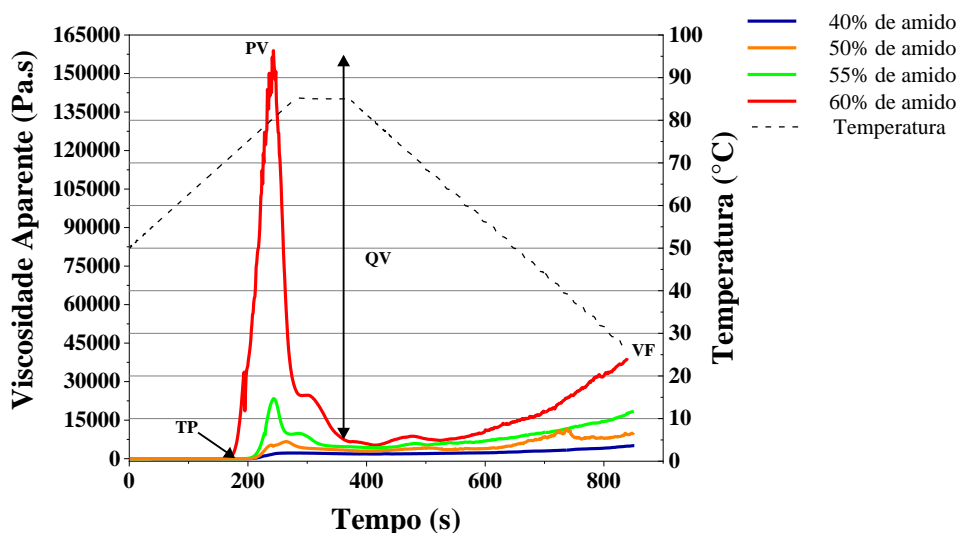
312 A perda da cristalinidade do amido deve-se a vibração das moléculas de água dentro do  
313 grânulo, isto é, quanto maior a quantidade de água maior será a energia fornecida pela vibração  
314 das moléculas. A produção excessiva de energia é capaz desestabilizar as cadeias organizadas  
315 de amilopectina da região cristalina do amido causando a perda da cristalinidade. O resultado  
316 desse processo em sistemas com alta concentração de amido é a formação de um material  
317 amiláceo macio, gelatinoso e comestível (tapioca) (Vitor et al., 2019)

### 318 3.4 Estudo reológico

319 A Figura 6 apresenta a curva de viscosidade em função do aumento de temperatura para  
320 suspensões de amido de mandioca nas concentrações de 40 50 55 e 60 (% p / p). Esta curva  
321 permite avaliar as propriedades do material gelatinoso formado, as modificações estruturais das  
322 moléculas de amido, e de outros componentes e, também, à tendência a retrogradação durante  
323 o resfriamento. A formação da pasta de amido é o fenômeno que ocorre após a gelatinização e

324 envolve o inchamento do grânulo, a solubilização das moléculas e a desintegração dos grânulos  
 325 (Atwell et al., 1988). Desta forma, a pasta (gel) é uma mistura da amilose e amilopectina  
 326 solubilizadas na fase continua e dos grânulos vazios e seus fragmentos na fase dispersa  
 327 (Bemiller, 2011).

328 Os parâmetros de pasta da suspensão de amido são frequentemente investigados em um  
 329 equipamento Rapid Visco-Analyser (RVA), obtendo-se uma curva de viscosidade em função  
 330 de um ciclo de aumento e redução de temperatura. No RVA utiliza-se uma dispersão aquosa  
 331 com até 10 % p / p de amido (Vamadevan & Bertoft, 2015). Com a finalidade de estudar pastas  
 332 com alta concentrações de amido foram analisadas as propriedades de pasta de dispersões  
 333 aquosas concentradas em amido usando o reômetro de tensão controlada.



334  
 335 Figura 6. Propriedades de pasta do amido de mandioca em diferentes concentrações. TP =  
 336 Temperatura de pasta; PV = Pico de Viscosidade; QV = Queda da Viscosidade; VF =  
 337 Viscosidade Final.  
 338

339 Observa-se na Figura 6 diferença substancial com relação a queda de viscosidade (QV)  
 340 para as suspensões de 40, 50 e 55 % em comparação a suspensão de 60 % de amido. Esta última  
 341 apresentou um grande valor de QV. Esta queda de viscosidade pode ser explicada pela  
 342 desintegração dos grânulos inchados durante o cisalhamento a temperatura de 85 °C, no período  
 343 de manutenção. Provavelmente, a maior concentração de amido contribuiu positivamente para

344 a fricção dos grânulos, enfraquecendo estes e facilitando sua ruptura. Esta maior fragilidade  
345 corrobora com os menores valores de TP encontrados para a maior concentração de amido.

346 A tendência a retrogradação relaciona a recuperação da viscosidade durante o  
347 resfriamento, que no presente trabalho foi até 40 °C. Esta tendência a retrogradação em curto  
348 período é obtida pela diferença entre as viscosidades final e mínima. Os valores da tendência a  
349 retrogradação variaram entre 2262 Pa.s (40 %) e 20298 Pa.s (60 %). Nota-se que os valores  
350 foram mais elevados com o aumento da concentração de amido. Este comportamento era  
351 esperado tendo em vista que maior concentração de moléculas solúveis contribui positivamente  
352 para a formação de rede tridimensional e consequente retrogradação. É interessante observar  
353 que as amostras com menor concentração de amido (40, 50 e 55 %) apresentaram viscosidade  
354 final (VF) maior que o pico de viscosidade (PV). Isto sugere que a rede tridimensional formada  
355 por moléculas lixiviadas e grânulos possui maior resistência ao escoamento do que a dispersão  
356 dos grânulos de amido a 85 °C. No entanto, comportamento oposto é observado para a amostra  
357 de 60 % de amido, reforçando que nesta maior concentração a fricção entre os grânulos passa  
358 a contribuir muito para as respostas reológicas.

359 Os valores de temperatura de pasta, pico de viscosidade e temperatura do pico  
360 viscosidade a 85 °C estão listados na Tabela 1. A temperatura de pasta (TP) é o valor de  
361 temperatura na qual a suspensão de amido começa a espessar devido ao início do inchamento  
362 dos grânulos de amido (Kaur et al., 2011). Nota-se que houve uma pequena redução deste  
363 parâmetro (75-70 °C) com o aumento da concentração de amido na suspensão, sugerindo que  
364 as forças de ligações de hidrogênio intramoleculares dentro do grânulo foram em parte  
365 enfraquecidas (Silva et al., 2006). Santos (2018), Shirai e colaboradores (2007), Silva e  
366 colaboradores (2006) encontraram valores de temperatura de pasta para o amido nativo de  
367 mandioca inferiores aos obtidos neste trabalho (variando de 65-69 °C). Isto pode ser devido aos

368 diferentes tipos de equipamentos utilizados, em especial a diferença entre o valor real de  
 369 temperatura na amostra e do programa do equipamento em altas taxas de aquecimento.

370 A suspensão de amido a 40 % p / p atingiu pico de viscosidade (PV) inferior comparada  
 371 a concentração de amido de 60 % (Tabela 1). Estudos anteriores demonstraram que o valor de  
 372 PV de suspensões de amido é influenciado desde fatores de solubilização molecular até devido  
 373 a fricção entre grânulos inchados (Vamadevan & Bertoft, 2015). Provavelmente, este último  
 374 fator deve estar associado ao altíssimo valor de PV encontrado neste trabalho para a  
 375 concentração de 60 % de amido.

376

377 Tabela. 1 Valores referentes as propriedades de pasta das suspensões de amido

Suspensões de amido:água (% p /p)	Parâmetros reológicos		
	TP (°C)	PV (Pa.s)	TPV (°C)
40	75,0 ± 1,0	2033 ± 160	84,8±0,5
50	73,4 ± 0,1	6495 ± 139	83,4±0,2
55	74,5 ± 0,1	23374 ± 945	80,1±0,1
60	70,0 ± 0,4	167100 ± 8200	80,4±0,1

378 TP (Temperatura de Pasta); PV (Pico de Viscosidade); TPV (Temperatura do pico de  
 379 viscosidade); MV (Mínima Viscosidade a 85 °C); VF (Viscosidade final); TR (Tendência de  
 380 Retrogradação)

381

#### 382 4 Conclusão

383 Misturas concentradas de amido de mandioca quando inserido em um processo térmico  
 384 padronizado a 200 °C por 120 s formam materiais amiláceos distintos, dependendo da  
 385 quantidade de água adicionada no sistema. Observou-se a formação de um pó fino com  
 386 pequenos agregados quebradiços (5 - 25 %), pó fino mais partículas agregadas quebradiças  
 387 maiores (25 - A35 %) e material sólido contínuo (45 – 60 %), este último se assemelha ao  
 388 produto usado como inspiração (tapioca). A desintegração do grânulo foi verificada  
 389 microscopicamente a partir de 35 % de amido. Imagens inéditas do rompimento dos grânulos e  
 390 da interface entre o gel e a superfície seca da tapioca foram registradas nesta pesquisa através

391 do MEV. A amostra de amido nativo apresentou características do padrão de cristalinidade tipo  
392 A, o mesmo foi apresentado pelas amostras com 15 25 % de amido, enquanto as amostras com  
393 50 e 60 %, mostraram perda relevante do grau de cristalinidade decorrente do tratamento  
394 térmico aplicado. As propriedades reológicas das suspensões de amido apontam que a medida  
395 que a concentração de amido aumenta, os valores de pico de viscosidade (2033-167100 Pa.s),  
396 queda de viscosidade (992-165738 Pa.s), e viscosidade final (3303-21660 Pa.s) aumentam  
397 consequentemente e que as amostras com menor concentração de amido (40, 50 e 55%)  
398 apresentam viscosidade final maior do que pico de viscosidade.

399 **Referências**

- 400 AOAC - Association of Official Analytical Chemists, 2016. Official methods of analysis of  
401 384 the Association of Official Analytical Chemists 20th ed. Rockville: A.O.A.C.
- 402 Bemiller, J. N. (2011). Pasting, paste, and gel properties of starch-hydrocolloid combinations.  
403 *Carbohydrate Polymers*, 86(2), 386–423. <https://doi.org/10.1016/j.carbpol.2011.05.064>
- 404 Beuchat, L. R., Komitopoulou, E., Beckers, H., Betts, R. P., Bourdichon, F., Fanning, S.,  
405 Joosten, H. M., & Kuile, B. H. T. (2013). Low-water activity foods: Increased concern as  
406 vehicles of foodborne pathogens. *Journal of Food Protection*, 76(1), 150–172.  
407 <https://doi.org/10.4315/0362-028X.JFP-12-211>
- 408 Biduski, B., Silva, W. M. F. da, Colussi, R., Halal, S. L. de M. El, Lim, L. T., Dias, Á. R. G.,  
409 & Zavareze, E. da R. (2018). Starch hydrogels: The influence of the amylose content and  
410 gelatinization method. *International Journal of Biological Macromolecules*, 113, 443–  
411 449. <https://doi.org/10.1016/j.ijbiomac.2018.02.144>
- 412 Carlstedt, J., Wojtasz, J., Fyhr, P., & Kocherbitov, V. (2015). Understanding starch  
413 gelatinization: The phase diagram approach. *Carbohydrate Polymers*, 129, 62–69.  
414 <https://doi.org/10.1016/j.carbpol.2015.04.045>
- 415 Castanha, N., Matta Junior, M. D. da, & Augusto, P. E. D. (2017). Potato starch modification  
416 using the ozone technology. *Food Hydrocolloids*, 66, 343–356.  
417 <https://doi.org/10.1016/j.foodhyd.2016.12.001>
- 418 Donmez, D., Pinho, L., Patel, B., Desam, P., & Campanella, O. H. (2021). Characterization of  
419 starch–water interactions and their effects on two key functional properties: starch  
420 gelatinization and retrogradation. *Current Opinion in Food Science*, 39, 103–109.  
421 <https://doi.org/10.1016/j.cofs.2020.12.018>
- 422 Dudu, O. E., Li, L., Oyedeleji, A. B., Oyeyinka, S. A., & Ma, Y. (2019). Structural and functional  
423 characteristics of optimised dry-heat-moisture treated cassava flour and starch.  
424 *International Journal of Biological Macromolecules*, 133, 1219–1227.

- 425 <https://doi.org/10.1016/j.ijbiomac.2019.04.202>
- 426 Fernandes, D. D. S., Dos Santos, T. P. R., Fernandes, A. M., & Leonel, M. (2019). Harvest time  
427 optimization leads to the production of native cassava starches with different properties.  
428 *International Journal of Biological Macromolecules*, 132, 710–721.  
429 <https://doi.org/10.1016/j.ijbiomac.2019.03.245>
- 430 Han, H., Hou, J., Yang, N., Zhang, Y., Chen, H., Zhang, Z., Shen, Y., Huang, S., & Guo, S.  
431 (2019). Insight on the changes of cassava and potato starch granules during gelatinization.  
432 *International Journal of Biological Macromolecules*, 126, 37–43.  
433 <https://doi.org/10.1016/j.ijbiomac.2018.12.201>
- 434 Jenkins, P. J., & Donald, A. M. (1998). Gelatinisation of starch: A combined  
435 SAXS/WAXS/DSC and SANS study. *Carbohydrate Research*, 308(1–2), 133–147.  
436 [https://doi.org/10.1016/S0008-6215\(98\)00079-2](https://doi.org/10.1016/S0008-6215(98)00079-2)
- 437 Koev, T. T., Muñoz-garcía, J. C., Iuga, D., Khimyak, Y. Z., & Warren, F. J. (2020). Structural  
438 heterogeneities in starch hydrogels. *Carbohydrate Polymers*, 249(August), 116834.  
439 <https://doi.org/10.1016/j.carbpol.2020.116834>
- 440 Li, W., Tian, X., Liu, L., Wang, P., Wu, G., Zheng, J., Ouyang, S., Luo, Q., & Zhang, G. (2015).  
441 High pressure induced gelatinization of red adzuki bean starch and its effects on starch  
442 physicochemical and structural properties. *Food Hydrocolloids*, 45, 132–139.  
443 <https://doi.org/10.1016/j.foodhyd.2014.11.013>
- 444 Li, Z., & Wei, C. (2020). Morphology, structure, properties and applications of starch ghost: A  
445 review. *International Journal of Biological Macromolecules*, 163, 2084–2096.  
446 <https://doi.org/10.1016/j.ijbiomac.2020.09.077>
- 447 Maniglia, B. C., Castanha, N., Rojas, M. L., & Augusto, P. E. (2021). Emerging technologies  
448 to enhance starch performance. *Current Opinion in Food Science*, 37, 26–36.  
449 <https://doi.org/10.1016/j.cofs.2020.09.003>
- 450 Maniglia, B. C., Lima, D. C., Matta Junior, M. D., Le-Bail, P., Le-Bail, A., & Augusto, P. E.  
451 D. (2020). Preparation of cassava starch hydrogels for application in 3D printing using dry  
452 heating treatment (DHT): A prospective study on the effects of DHT and gelatinization  
453 conditions. *Food Research International*, 128(October 2019), 108803.  
454 <https://doi.org/10.1016/j.foodres.2019.108803>
- 455 Matignon, A., & Tecante, A. (2017). Starch retrogradation : From starch components to cereal  
456 products. *Food Hydrocolloids*, 68, 43–52. <https://doi.org/10.1016/j.foodhyd.2016.10.032>
- 457 Santos, M. C. L., Shinohara, N. K. S., Pimentel, R. M. de M., & Padilha, M. do R. de F. (2018).  
458 Rotulagem da goma de tapioca. *Journal of Environmental Analysis and Progress*, 03, 330–  
459 338. <https://doi.org/10.24221/jeap.3.3.2018.2085.330-338>
- 460 Shirai, M. A., Haas, Â., Ferreira, G. F., Matsuguma, L. S., Franco, C. M. L., & Demiate, I. M.  
461 (2007). Características físico-químicas e utilização em alimentos de amidos modificados  
462 por tratamento oxidativo. *Ciencia e Tecnologia de Alimentos*, 27(2), 239–247.  
463 <https://doi.org/10.1590/s0101-20612007000200005>
- 464 Silva, G. D. O., Takizawa, F. F., Pedroso, R. A., Franco, C. M. L., Leonel, M., Sarmento, S. B.

- 465 S., & Demiate, I. M. (2006). Características físico-químicas de amidos modificados de  
 466 grau alimentício comercializados no Brasil. *Ciencia e Tecnologia de Alimentos*, 26(1),  
 467 188–197. <https://doi.org/10.1590/S0101-20612006000100030>
- 468 Thys, R. C. S., Noreña, C. P. Z., Marczak, L. D. F., Aires, A. G., & Cladera-Olivera, F. (2010).  
 469 Adsorption isotherms of pinhão (*Araucaria angustifolia* seeds) starch and thermodynamic  
 470 analysis. *Journal of Food Engineering*, 100(3), 468–473.  
 471 <https://doi.org/10.1016/j.jfoodeng.2010.04.033>
- 472 Valencia, G., Djabourov, M., & Sobral, P. J. (2016). Water desorption of cassava starch  
 473 granules: A study based on thermogravimetric analysis of aqueous suspensions and humid  
 474 powders. *Carbohydrate Polymers*, 147, 533–541.  
 475 <https://doi.org/10.1016/j.carbpol.2016.04.030>
- 476 Vamadevan, V., & Bertoft, E. (2015). Structure-function relationships of starch components.  
 477 *Starch/Staerke*, 67(1–2), 55–68. <https://doi.org/10.1002/star.201400188>
- 478 Vitor, P., Lemos, F., Santos, L., Graça, I., Estevam, R., & Izabel, J. (2019). Characterization of  
 479 amylose and amylopectin fractions separated from potato, banana, corn, and cassava  
 480 starches. *International Journal of Biological Macromolecules*, 132, 32–42.  
 481 <https://doi.org/10.1016/j.ijbiomac.2019.03.086>
- 482 Wang, S., Li, C., Copeland, L., Niu, Q., & Wang, S. (2015). Starch Retrogradation: A  
 483 Comprehensive Review. *Comprehensive Reviews in Food Science and Food Safety*, 14(5),  
 484 568–585. <https://doi.org/10.1111/1541-4337.12143>
- 485 Wang, S., Li, C., Yu, J., Copeland, L., & Wang, S. (2014). Phase transition and swelling  
 486 behaviour of different starch granules over a wide range of water content. *LWT - Food  
 487 Science and Technology*, 59(2P1), 597–604. <https://doi.org/10.1016/j.lwt.2014.06.028>
- 488 Xing, J. jie, Li, D., Wang, L. jun, & Adhikari, B. (2017). Relationship between biphasic  
 489 endotherms and multi-stage gelatinization of corn starch in excess water. *LWT - Food  
 490 Science and Technology*, 81, 335–342. <https://doi.org/10.1016/j.lwt.2017.04.012>
- 491 Xing, J. jie, Li, D., Wang, L. jun, & Adhikari, B. (2018). Temperature thresholds and time-  
 492 temperature dependence of gelatinization for heat-moisture treated corn starch. *Journal of  
 493 Food Engineering*, 217, 43–49. <https://doi.org/10.1016/j.jfoodeng.2017.08.019>
- 494 Yu, H., & Li, Y. (2012). State diagrams of freeze dried colostral whey powders: Effects of  
 495 additives on the stability of colostral whey powders. *Journal of Food Engineering*, 110(1),  
 496 117–126. <https://doi.org/10.1016/j.jfoodeng.2011.12.001>
- 497 Zhang, Y., Gu, Z., Zhu, L., & Hong, Y. (2018). Comparative study on the interaction between  
 498 native corn starch and different hydrocolloids during gelatinization. *International Journal  
 499 of Biological Macromolecules*, 116, 136–143.  
 500 <https://doi.org/10.1016/j.ijbiomac.2018.05.011>

1   **Fortification of traditional tapioca "pancakes" from the brazilian northeast with**  
2   **microencapsulated carrot carotenoid**

3   Gisleânia Dourado Landim Parente<sup>a</sup>, Bruno Davinci Nunes de Melo<sup>a</sup>, Jaciel Albuquerque de  
4   Souza<sup>a</sup>, Marta Maria da Conceição<sup>a</sup>, Johan B. Ubbink<sup>b</sup>, Ana Luiza Mattos Braga<sup>a\*</sup>

5   <sup>a</sup> Department of Food Science and Technology and Regional Development, Federal University  
6   of Paraíba, Campus I, João Pessoa, Paraíba, CEP 58058-600, Brazil.

7   <sup>b</sup> Department of Food Science and Nutrition, University of Minnesota, United States

8

9   **Abstract**

10   The feasibility to fortify traditional Brazilian cassava gum and tapioca “pancakes” with  
11   carotenoid from carrots was investigated, based on the premise that the process should be  
12   applicable as a social technology. Microparticles rich in carrot carotenoid were prepared using  
13   complex coacervation of whey protein isolate and gum arabic in the weight ratio of 1.5:1, and  
14   co-dried with cassava starch. Carotenoid content and stability during product application were  
15   analyzed for the microparticles and two product applications: fortified hydrated cassava gum,  
16   and in fortified tapioca "pancakes". The results showed that complex coacervation technique  
17   can be applied instead of conventional technologies to concentrate carrot juice, keeping more  
18   than 90 % of the initial carotenoid content. The further starch co-drying of this material resulted  
19   in a microparticle that retained 79 % of initial carotenoid content. A low carotenoid loss (22 %)  
20   was observed in the heat preparation of the microparticle fortified tapioca "pancakes". The  
21   tapioca textural properties as determined instrumentally were similar for products fortified with  
22   microparticles or by direct carrot juice addition. Furthermore, the use of carotenoid in dry  
23   powder form facilitates handling and dosing in artisanal and industrial settings and ensure to  
24   target the daily intake.

25   **Keywords:** cassava starch, carrot carotenoid, complex coacervation, microparticles

26    **1    Introduction**

27            "Tapioca" is a widely consumed food in northeastern Brazil. It is made from a mixture  
28        of cassava starch and water in the presence of heat, and comes in the form of a "pancake" with  
29        a dry, granular crust and a gelatinous, soft core. Despite being tasty, tapioca is not a nutritious  
30        food as it essentially consists of pure starch (Falade & Akingbala, 2011). The street food sector  
31        has recently offered customers options of colorful tapiocas by adding juice or plant extracts,  
32        while the food industry has been concerned with making nutritionally rich cassava gum  
33        available to consumers by adding sufficient amounts of micronutrients to meet Recommended  
34        Daily Intake (RDI) levels.

35            Nutrient fortification is considered to be an important strategy to increase the intake of  
36        several essential vitamins and minerals (Garrett et al., 2019). According to Cardoso et al.  
37        (2019), addition of micronutrients to products, which are part of the dietary routine, allows to  
38        reach the poorer part of the population, whose daily meals often do not meet the minimal  
39        nutritional needs. In the current study, we investigate the potential for fortification of cassava  
40        starch with carotenoid, as cassava is an important staple in the Northeastern region of Brazil, in  
41        particular for those of lower socioeconomic status.

42            Vitamin A deficiency is among the micronutrient deficiencies that most affect the  
43        population worldwide. As an essential micronutrient, it is important that it is consumed daily  
44        in the recommended amounts (Gonçalves et al., 2016; Tozer et al., 2019). The addition of  
45        carotenoid (provitamin A) to foods as a supplementation route is very challenging, considering  
46        that carotenoid are highly sensitive to chemical degradation under influence of heat, oxygen,  
47        light, and pH. Such factors in particular accelerate oxidation reactions, leading to a loss of the  
48        biological activity of the carotenoid (Ngamwonglumlert et al., 2017).

49            Microencapsulation is considered to be a promising technology capable of improving  
50        the stability of bioactive compounds in food and providing a controlled release (Gonçalves et

51 al., 2016; Haas et al., 2019; Janiszewska-Turak et al., 2017; Rehman et al., 2019; Rutz et al.,  
52 2016; Ubbink & Krüger, 2006). Ubbink and Krüger (2006) introduced a retro-design approach  
53 for rationally developing encapsulation systems and establishing their windows of application,  
54 rather than by trial and error as is commonly done. The encapsulation of carrot juice or extract  
55 is technically difficult due to the active ingredient heat/oxygen sensitivity and the presence of  
56 low molecular weight sugars (Chen et al., 2017; Haas et al., 2019; Janiszewska-Turak et al.,  
57 2017; Khalilian Movahhed & Mohebbi, 2016). However, by judiciously analyzing conditions  
58 governing the target application as well the factors that impact the active ingredient on basis of  
59 a rigorous scientific basis incorporating elements from material science, physical chemistry and  
60 biophysics it is possible to propose potential solutions that have a significant (Ubbink & Krüger,  
61 2006).

62 The importance of ascertaining a complete nutrition by the whole population, along with  
63 the consumer trend in searching for foods which are rich in key nutrients have aroused the  
64 interest of industry and the academic sector in studying and developing not only new products  
65 (Páramo-Calderón et al., 2019), but also viable and low-cost methodologies that can be applied  
66 in a range of industries. It is also important to consider the availability and characteristics of the  
67 raw material used regarding industrial viability in fortifying food. Adding vegetable-based  
68 substances in the liquid state requires an exclusive production line for extracting the juice,  
69 which must be prepared on the spot due to its low stability and bulkiness. Thus, powder  
70 microparticles can facilitate the production process, especially for enterprises in technologically  
71 less advanced settings. Furthermore, the use of microparticles carries the perspective of  
72 providing ingredients with greater storage and process stability.

73 The objectives of this investigation were to develop a powder carotenoid microparticle  
74 by means of a social technological process and evaluate its technical viability to produce  
75 cassava gum and tapioca food fortified in carotenoid (provitamin A). For that, we investigated

76 the application of complex coacervation to concentrate the carotenoid in carrot juice and, with  
77 the addition of cassava starch a drying agent, to obtain a carrot juice powder with a high content  
78 of carotenoid. Further, the water content, water activity, color and rheological properties of the  
79 microparticle, the carotenoid fortified cassava gum and tapioca food were analyzed to evaluate  
80 the technical feasibility of the powder and product application.

81 **2 Methods**

82 Carrots (*Daucus carota subsp. Sativus*) were used as source of carotenoid to enrich the  
83 cassava gum. They were purchased at the State Supply Center in João Pessoa (CEASA) and  
84 sanitized by washing for 10 minutes in a 100 ppm sodium hypochlorite solution. Next, the  
85 carrots were weighed and cut into cylinders of about 1 cm height. Per trial, about 2.7 kg of  
86 carrot cubes were passed through a Mondial Turbo Juice Cf-06 centrifuge for juice extraction,  
87 which yielded 55.8 % w/w of carrot juice. The carrot juice was subsequently stored frozen at  $T = -18^{\circ}\text{C}$   
88 in plastic containers. Prior to freezing, a sample was taken to determine the amount of  
89 total soluble solids (°Brix), acidity, density, humidity (AOAC, 2016) and total carotenoid  
90 content (Item 2.6). The raw juice had concentration of  $9.67 \pm 1.69$  °Brix, a density of  $1040 \pm$   
91  $0.0 \text{ kg/m}^3$ , a water content of  $93.0 \pm 0.12$  % (w/w) and a titratable acidity of  $0.13 \pm 0.01$  %  
92 (v/v). Whey protein isolate and gum arabic were kindly donated by Funcional Mikron (São  
93 Paulo, Brazil) and were used as carrier materials in the encapsulation process. Cassava starch  
94 (water content of  $12.1 \pm 0.1$  % w/w) was obtained from a local market (João Pessoa, Brazil).

95 **2.1 Microparticle development**

96 **2.1.1 Definition of complexation pH and biopolymers ratio**

97 For preparation of juice-biopolymers mixtures, first WPI powder was solubilized in  
98 carrot juice (pH 5.8) during 5 min using a IKA RW 20 mechanical stirrer (Staufen, Germany),  
99 then GA powder was added, and the system was kept under stirring for more 5 min. The

mixtures were prepared at a total biopolymer concentration of 7 % (w/w), and the biopolymers ratios were 1.5:1, 3:1 and 6:1 WPI:GA on weight basis. The phase separation test of carrot juice-WPI-GA mixture samples was conducted by reducing stepwise the pH value from 6.0 to 3.0, by slowly addition of 1M citric acid. The pH value chosen for centrifugation and further carotenoid analysis was determined by visual observation and supernatant quantification after 12h static stand at 25 °C, being considered the optimal pH value the one with the highest amount of supernatant. The best ratio between the two biopolymers, to be used in the encapsulation process, was determined by carotenoid quantification.

#### 2.1.2 Carotenoid microparticles process

The carotenoid microparticles were produced from carrot juice (CJ) by complex coacervation followed by drying using cassava starch as drying agent. Gum arabic (GA) and whey protein isolate (WPI) were used as wall materials in the complex coacervation process. For microparticle production the ratio was fixed as 1.5:1 WPI:GA on weight basis and the carrot-biopolymer mixture contained 93.0 % w/w carrot juice, 2.8 % w/w GA and 4.2 % w/w WPI. According to the literature (Janiszewska, 2014), the use of a ratio of 1:1 of juice to carrier is the most suitable for spray drying juices. The dry matter of the carrot juice used in the present work was approximately 7 % w/w, so the total biopolymers was fixed at 7 % w/w. The components (juice, WPI and GA) were homogenized using a IKA RW 20 mechanical stirrer (Staufen, Germany). Next, the pH was set at 3.2 using 1 M citric acid. The mixture was incubated for 12 hours at 25 °C following which the supernatant was removed. The precipitate was centrifuged using an Eppendorf 5430R centrifuge (Hamburg, Germany). The coacervate obtained after centrifugation was mixed with an amount of cassava starch in the proportion of 1:1 w/w and then dried in a plate oven at 30 °C, with forced air circulation (Fig. 1). For the drying step, the coacervate and cassava starch mixture was placed in 14.5 cm diameter aluminum dishes with a mass:surface area ratio of 0.12 g/cm<sup>2</sup>. In order to attain a particle size

similar to cassava starch (38 - 52  $\mu\text{m}$ ) (Han et al., 2019), the dried samples were ground with a laboratory mortar and pestle to the desired particle size. The water content, water activity and particle size distribution of this powder were analyzed after production. The carotenoid and color stability of the powder were analyzed after a storage period of 30 days, which corresponds to the shelf life of cassava gum products as produced by small artisanal producers. The storage test was carried out at 10 °C with the microparticles sealed in plastic bags, in contact with air, but protected from light. The microparticles were characterized by means of its carotenoid concentration, water content, water activity and color from the methods described in the further sections.

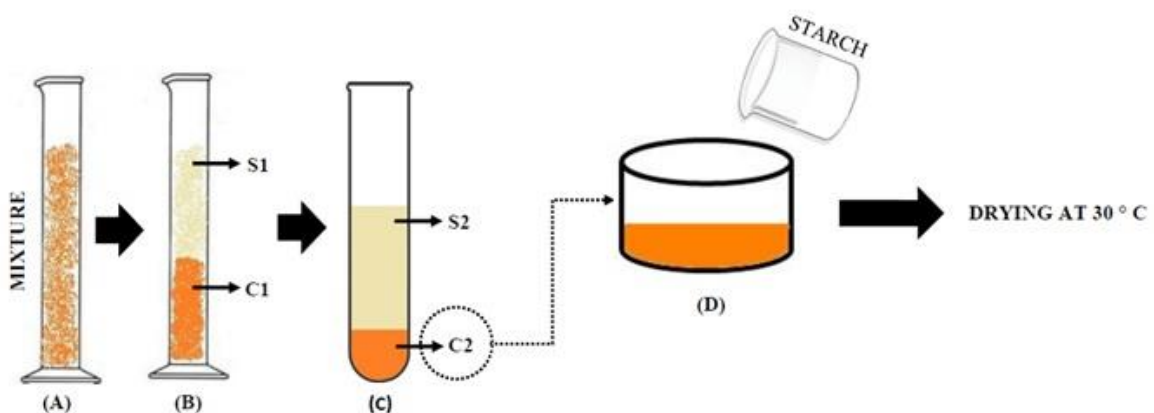


Fig 1. Stages of the microencapsulation process. (A) Mixing carrot juice with biopolymers (GA: WPI); (B) Complex coacervation by decreasing pH value, where the coacervate (C1) is taken to the centrifuge and the supernatant (S1) discarded; (C) Centrifugation step - A more concentrated complex coacervate (C2) is obtained; (D) Concentrated complex coacervate 2 is mixed with cassava starch in a 1:1 w/w ratio forming a mass, which was then dried at 30°C.

The total carotenoid retention after each process step was calculated by dividing the amount of carotenoid in the final process sample divided by its amount in the initial sample. For the coacervation process, the initial sample was the juice-biopolymers mixtures prior to pH change, while final sample was the coacervate bottom-phase obtained after centrifugation. For the drying process, the initial sample was the co-blended coacervate/starch and the final sample was the microparticle powder.

## 147 2.1.3 Microparticle size analysis

148 The microparticle size distribution was determined using a Matest analytical sieve (Belo  
149 Horizonte, Brazil) using screens with mesh sizes of 150 µm, 75 µm, 52 µm, 45 µm and 38 µm.  
150 A sample of 10 g of microparticles was added on the sieve system, which was shaken for 10  
151 minutes at 80 rpm. The material retained in each sieve was weighed on a BEL Engineering  
152 M214AIH precision electronic scale (Milano, Italy).

153 **2.2 Fortification of cassava gum with carrot carotenoid**

154 The tapioca gum was fortified in two ways, either by using carrot juice as the carotenoid  
155 source, or by using carotenoid containing microparticles produced from pure carrot juice. The  
156 total amount of liquids (juice or water) added to the starch powder was based on commercial  
157 practices. For the juice-fortified gum, 30 g of juice was mixed with 30 g of water to which 100  
158 g of cassava starch was added. For the microparticle-fortified tapioca gums, 6 g of dried  
159 microparticles were blended with 20 g of starch until homogeneous. In subsequent steps, each  
160 time approximately 20 g starch was added and mixed in until the total mixture reached a weight  
161 of 100 g. This final blend of starch and microparticles was added to 60 g water and mixed until  
162 homogeneous. Both types of fortified cassava gums (direct carrot juice addition and the  
163 microparticle-fortified tapioca gum) were left to rest for 12 h at 25 °C to allow for full starch  
164 hydration, before being packed. The carotenoid-fortified cassava gum powders were packed in  
165 plastic bags, sealed and stored for 30 days, at 10 °C, under air contact and light protected.

166 The amount of carrot juice and microparticles added to the tapioca gum was guided by  
167 Resolution RDC No. 269, of September 22, 2005, of the Health Surveillance Secretariat, which  
168 requires the need for at least 30 % addition of the RDI for adults, which corresponds to 600  
169 µg/100 g of retinol or 2142.85 µg of carotenoid per 100 g of tapioca gum (1 µg carotenoid  
170 provitamin A = 0.084 µg retinol) (Brasil, 2005).

171    **2.3 Preparation of carotenoid fortified tapiocas**

172       The tapiocas were prepared using conditions that are representative for commercial  
173       practice. First, the temperature of the heating plate was set to either 200°C or 300°C, as  
174       measured by an Instrutherm TI-870 infrared thermometer (São Paulo, Brazil), to observe the  
175       impact of temperature on the carotenoid retention. Then a cylindrical mold (9.5 cm diameter)  
176       was placed on the hot plate and 35 g of cassava gum fortified with either carrot juice or  
177       microparticles was homogeneously distributed inside the mold until a thin layer was formed  
178       (thickness approximately 0.49 cm). After 60 s the sample, it was turned up-side-down and left  
179       (to cook) for an additional 60 s before lifting of the hot plate. For the prepared tapiocas, each  
180       surface of the sample has thus been in contact with the hot plate during 60 s, and the total  
181       processing time was 120 s.

182    **2.4 Determination of moisture and water activity**

183       The water content of the carrot juice, carotenoid microparticles, fortified cassava gum  
184       and fortified tapioca was determined according to the methodology described by AOAC (2016).  
185       The water activity of the samples was determined at 25 °C using an Aqualab Dew Point 4TEV  
186       Water Activity Meter (United States).

187    **2.5 Colorimetry**

188       The sample color was determined using a Color-Eye 2180 electronic colorimeter  
189       (GretagMacbeth, Martinsried, Germany) following to the methodology described by Pathare et  
190       al. (2013). Values for the L\* (luminosity), a\* and b\* parameters as defined in the CIELAB  
191       color space were experimentally determined. Next, the c\* (chromaticity), h\* (hue) and ΔE  
192       (global color variation) values were calculated using Equations 1 - 3, respectively, in order to  
193       evaluate the color change of the microparticles and the fortified gums during storage, and after  
194       heat treatment during tapioca preparation.

195

$$C^* = \sqrt{(a^*)^2 + (b^*)^2} \quad (\text{Eq.1})$$

$$h^* = \operatorname{tg}^{-1}(b^*/a^*) \quad (\text{Eq.2})$$

$$\Delta E = \sqrt{(\Delta L)^2 + (\Delta a)^2 + (\Delta b)^2} \quad (\text{Eq.3})$$

196

197       The - a\* to +a\* quantifies the sample color from green to red, blue color by - b\* and  
 198       yellow color is represented by +b\* values. An angle of 0° represents the pure red hue, whilst  
 199       angles of 90°, 180° and 270° represent the pure yellow, green and blue hues, respectively. The  
 200       following classification for color perception will be:  $\Delta E > 3$ : very distinct;  $1.5 < \Delta E < 3$ :  
 201       distinct;  $\Delta E < 1.5$ : minor differences in color.

202       **2.6 Determination of carotenoid**

203       The carotenoid content was determined according to the microextraction and  
 204       spectrophotometric method proposed by Pacheco et al. (2011). The absorbance at a wavelength  
 205       450 nm was measured using a BioSpectrometer Basic spectrophotometer (Eppendorf,  
 206       Hamburg, Germany). Equation (4) was used to calculate the carotenoid content. Carotenoid  
 207       were determined in the carrot juice, microparticle with carotenoid and fortified tapioca samples.

208

$$C = \frac{A \cdot V \cdot 10^4}{A_{cm}^{1\%} \cdot W} \quad (\text{Eq. 4})$$

209

210       where C is the total carotenoid content ( $\mu\text{g/g}$ ), A is the absorbance at 450 nm,  $A_{cm}^{1\%}$  is the  
 211       absorption coefficient of  $\beta$ -carotene in Petroleum Ether ( $2592 \text{ L.mol}^{-1}.\text{cm}^{-1}$ ) (Rodriguez-amaya  
 212       & Kimura, 2004), V is the volume of the extract (ml) and W is the sample weight in grams.

213

214    **2.7    Texture profile analysis (TPA)**

215              The tapioca samples were subjected to TPA testing using a Brookfield CT3 Texture  
216   Analyzer (Brookfield Engineering Labs, Middleboro, USA). The test was carried out by  
217   applying double compression with 80 % deformation, a waiting time of 5 s and an indentation  
218   speed of 1 mm/s. A sample probe (TA-10) of cylindrical geometry (diameter 12.7 mm) was  
219   used. The samples were submitted to the test at the temperature in the range between 40°C and  
220   45°C. Each sample was used to perform 2 tests. In total 6 repetitions were done. The TPA  
221   parameters (hardness, springiness index, cohesiveness and resilience) were calculated by the  
222   equipment software (Texture Expert for Windows, version 1.19).

223    **2.8    Rheological analysis**

224              The gelatinization profile of cassava gum fortified with either carrot juice (J) or  
225   carotenoid-containing microparticles (M) was determined using a MARS III stress-controlled  
226   rheometer (Haake, Karlsruhe, Germany) equipped with a cone-plate probe (C35/2° Ti L) with  
227   a diameter of 35 mm and an angle of 2°. A protective cover was used to prevent water  
228   evaporation. For suspensions prepared with juice, the amount of starch (40-55 % w/w of final  
229   suspension) was dispersed in the fluid mixture of juice and water, so that the final suspension  
230   contained 16.5 % of juice. For suspensions prepared with microparticles, 3.4 g of microparticles  
231   were dry blended to 36.6 g, 46.6 g or 51.6 g of cassava starch and then mixed with water to  
232   obtain 100 g suspension. The suspensions were equilibrated for 1 h to ensure complete starch  
233   hydration before the analysis. The starch suspensions were submitted to the following  
234   temperature profile: 1. Heating ramp from 50 °C to 85°C at a heating rate of 0.125 °C/s; 2. Held  
235   at 85 °C for 90 s; and 3. Cooling ramp from 85 °C to 40 °C at a cooling rate of 0.125 °C/s. Tests  
236   with cassava gum fortified with carrot juice were conducted in duplicate and tests cassava gum  
237   fortified with carotenoid microparticles were conducted in triplicate. These conditions were

238 determined following preliminary experiments, taking into consideration the gelatinization tests  
239 commonly applied in a rapid visco-analyzer (RVA).

240 **2.9 Statistical analysis**

241 The results for water content, water activity, carotenoid and color of the cassava gum  
242 and fortified tapioca samples were statistically evaluated in order to verify possible differences  
243 between the samples by applying the Tukey test at the 95 % significance level using the R  
244 studio program version 1.2.1335 (RStudio, Inc., Boston, USA).

245 **3 Results and discussion**

246 **3.1 Development requirements for carotenoid fortification of tapioca**

247 Cassava gum is a traditional Brazilian product, commercialized either by local farmers  
248 or small-medium size enterprises. For the development of a fortified product, it is helpful to  
249 apply the retro-design approach (Ubbink & Krüger, 2006). For that it is necessary to first  
250 identify the final application's physico-chemical properties, including storage and the processes  
251 the product will undergo before final consumption. In the case of cassava gum, one has to  
252 consider that this is a high moisture (37 – 48 %), high water activity (0.99) agglomerated  
253 powder, traditionally packed in plastic bags under air and stored refrigerated (4 °C) or, for short  
254 periods of time, at ambient temperature (20 - 40 °C). Traditionally, tapioca is prepared after  
255 sieving cassava gum using common household mesh sieves (mesh size around 1 mm), which is  
256 then sprinkled on a hot plate surface (>200 °C) and cooked for a minimum duration of 1 min.  
257 Typically, regular stove-top skillets are used. Table 1 shows the technical requirements that are  
258 posed on microparticles containing carotenoid when blended with cassava gum and the in the  
259 prepared tapioca, considering also the social technology requirements.

260

261 Table. 1. Technical Requirements for satisfactory performance of carotenoid microparticles in  
 262 cassava gum and tapioca products

<b>Carotenoid Particle for Tapioca fortified in carotenoid</b>	
<b>Product technical requirements</b>	<b>Microparticle technical requirements</b>
Dry blended homogeneous powder (microparticle - cassava gum).	Free flowing microparticles with size distribution in the same range of the cassava starch one (38 – 52 µm).
All carotenoid-containing microparticles pass through the typical household mesh sieve	Microparticles with maximum size smaller than sieve mesh size (about 1 mm).
Minimal carotenoid degradation for 1-3 months storage at high water content and at high water activity (cassava gum).	To protect carotenoid against oxidation and degradation: - Have dense matrix, in principle in the glassy state (Haas et al., 2019; Ubbink, 2018): a) complex coacervated polymers b) carbohydrate matrix - Application of low/mild temperature processes: a) freeze drying b) vacuum drying c) Forced convective air drying (30 - 50°C) + drying agent
Minimum of 1.338 µg total carotenoid/ 100 g cassava starch for having a claim of “Rich in Carotenoid”, according to Brazilian regulations (Brasil, 2005).	Concentration of carotenoid in the microparticle that is sufficiently high to have the claim, considering: a) Minimum addition of 1 % nutrient powder for good dry blending process b) The microparticles should not be perceived by the consumer in the final food c) The maximum added amount of nutrient powder should be such that the network formation of the tapioca gel is not impacted.
Particles should survive the cooking process, i.e. should be heat-stable at 100°C.	Particles that do not melt, disintegrate or dissolve at 100°C: a) Via the properties of biopolymer matrix or coating b) Via a suitably chosen coating of a crystalline material
Sustainable and environmentally friendly product	- Carotenoid to be sourced from local farmers - Vegetable source - Low energy consumption process - Low degree of carotenoid enrichment in source - Low cost / low energy consumption equipment - Simple technology with easily controlled parameters - Small production plant - Easy scale-up process
Carotenoid fortified product is to be produced by local artisanal and/or small industries.	

264 To achieve this complex set of aims, we proposed to use carrot juices and the  
265 encapsulation process that is described in Fig. 1, considering that farmers or small industries  
266 could have a tank and a centrifuge for the coacervation step, a plate oven for the drying step  
267 and a grinder with sieve for the particle refining step.

268 **3.2 Development of carotenoid microparticles**

269 To evaluate the potential of complex coacervation process as a technology for carrot  
270 juice concentration and for carrot carotenoid encapsulation, first it was determined the optimal  
271 coacervation pH and the ratio of biopolymers in the carrot juice-WPI-GA system. Fig. 2 shows  
272 the influence of pH on the complexation of whey proteins and gum arabic in carrot juice after  
273 12h ageing at 25 °C. Fig. 2A shows the pH dependent behavior of samples with WPI-GA ratio  
274 of 1.5:1, which was very similar to the behavior obtained for the ratio 3:1. Fig. 2B shows that  
275 by increasing the WPI proportion up to a WPI:GA ratio of 6:1, the pH dependent complexation  
276 profile changed. For all protein (Pr) to polysaccharide (Ps) ratio samples the initial turbidity  
277 occurred at pH 5.2, which is the isoelectric point of  $\beta$ -lactoglobulin, the major whey protein  
278 (Ach et al., 2015). The initial turbidity has been previously observed for WPI:GA systems in  
279 the pH region of 5.2 to 4.8 and associated to the formation of soluble complexes (Weinbreck et  
280 al., 2003). For Pr:Ps ratio 6:1, the system destabilized more than those samples with lower  
281 protein concentration (ratio < 3:1), which was expected due to the higher number of proteins  
282 positive charge in the system (Ach et al., 2015). Macroscopic phase separation with a  
283 precipitated coacervate phase occurred from pH 4.9 to 3.0, independent of Pr:Ps ratio (Fig. 2),  
284 which is in agreement to the pH region of 4.8 to 2.5 shown by Weinbreck et al. (2004) for  
285 WPI:GA system. For the highest Pr:Ps ratio, the supernatant volume at pH 4.9 was significantly  
286 higher than at lower pH values, but also more turbid and showing orange color, typical of  $\beta$ -  
287 carotenoid (Fig. 2B). On the other hand, for low Pr:Ps ratio samples the supernatant volume did  
288 not vary strongly as function of pH, being 10-14 % of total volume. Weinbreck et al. (2004)  
289 showed that the optimum pH conditions for coacervation varied with Pr:Ps ratio, being pH 3.5

for a Pr:Ps ratio of 1:1, pH 4 for a Pr:Ps ratio of 2:1, and pH 4.5 for a Pr:Ps ratio of 8:1. Possibly the differences between our results with previous literature is due to the effect of the other carrot juice compounds ( $9.67 \pm 1.69$  °Brix). In addition, we did not observe a pH value that caused an intense precipitation (low volume) combined with transparent supernatant for any Pr:Ps ratio samples. However, considering for each ratio the largest amount of supernatant, we have chosen the following samples for the centrifugation step and carotenoid content analysis: pH 3.2 for a Pr:Ps ratio of 1.5:1, pH 3.0 for a Pr:Ps ratio of 3:1 and pH 4.9 for a Pr:Ps ratio of 6:1.

297

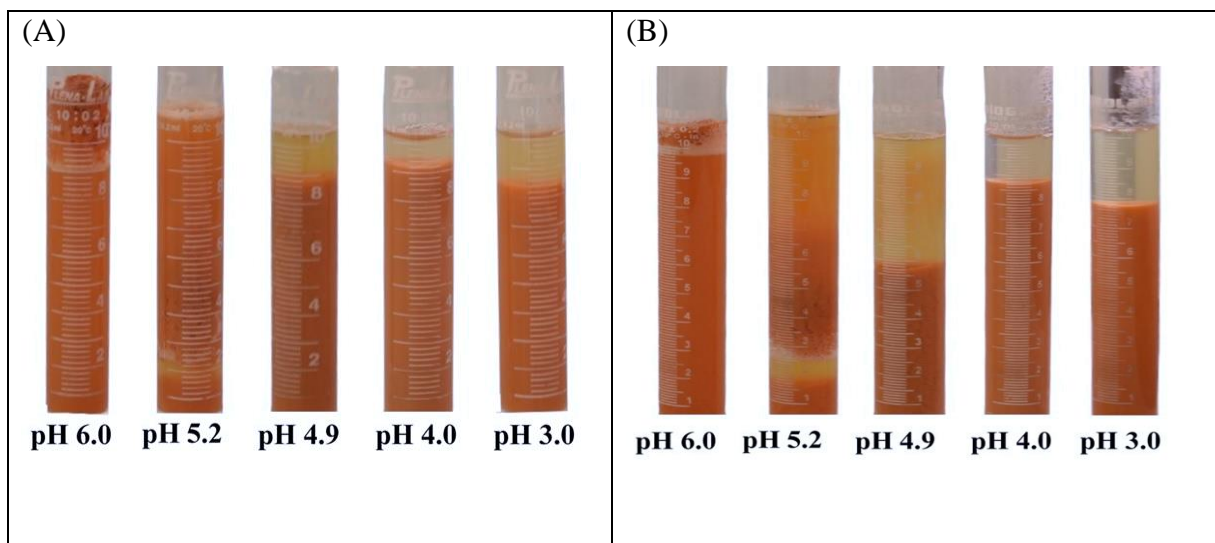


Fig 2. Complex coacervation between the whey proteins and gum arabic, in carrot juice, at pH values of 6.0; 5.2; 4.9; 4.0 and 3.0, at different WPI-GA ratio after 12 h ageing at 25 °C. A) Ratio of 1.5:1 WPI:GA; B) Ratio of 6:1 WPI:GA.

For producing the carrot carotenoid microparticles we evaluated the best Pr:Ps ratio for concentrating carotenoid after centrifugation of the coacervated material. The volume of carrot serum (supernatant) obtained through all process was very similar for all Pr:Ps ratio ranging from 81.4 to 87.4 % (v/v) of total initial mixture volume. For carotenoid retention in the coacervate after centrifugation we have observed an effect of Pr:Ps ratio. The carotenoid content of the juice was  $13.0 \pm 1.0$  mg/100g (wb), corresponding to  $185.9 \pm 15.3$  mg / (100g dry matter). This value was nearly twice the value found previously by Janiszewska-Turak and colaborators (2017), but from carrots of different sources and countries. For the coacervated samples we

310 obtained a carotenoid content of  $48.5 \pm 0.9$  mg/100g (wb) for Pr:Ps ratio 1.5:1, of  $64.0 \pm 2.5$   
311 mg/100g (wb) for Pr:Ps ratio 3:1 and a content of  $44.1 \pm 4.8$  mg/100g (wb) for Pr:Ps ratio 6:1.  
312 Therefore, the carotenoid retention ranged was higher than 90% for the low Pr:Ps ratio samples  
313 and 78.4% for the Pr:Ps ratio 6:1. These results indicate that complex coacervation combined  
314 with centrifugation showed to be a good processing approach for concentrating the carrot  
315 carotenoid in a small amount of a semi-solid matter. The concentration of dilute mixed solutions  
316 is normally done industrially by evaporation or by membrane filtration. The first has the  
317 disadvantage of being a process that requires temperatures higher than 70 °C and both  
318 technologies require a plant set up that can be expensive for small industries or even local  
319 agriculture cooperatives to build in. For producing the carotenoid powder the Pr:Ps ratio 1.5:1  
320 was chosen.

321 The carotenoid content of the coacervate-starch mixture prior to drying was  $51.0 \pm 1.3$   
322 mg/100 g (wb), while the final powder showed a nutrient concentration of  $62.3 \pm 5.2$  mg/100 g  
323 (wb), showing a mean carotenoid retention of 81.9 %. The total carotenoid retention of the  
324 encapsulation process was 79.2 %, which is higher than the best result obtained by Janiszewska-  
325 Turak and co-workers (2017) for spray-dried carrot juices (66 %). However, that value was  
326 slight lower than the best results of spray-dried microparticles (approximately 87 %) obtained  
327 by Haas and co-workers (2019) for commercial carrot concentrates in crystalline or emulsion  
328 forms.

329 After 30 days microparticles storage, the carotenoid content of the powder decreased to  
330  $49.2 \pm 4.3$  mg/100g (wb), indicating a storage retention of 79.0 % at 10 °C, in contact with air  
331 but protected from light. Haas and collaborators (2019) obtained similar values for carotenoid  
332 stability (77.4 %) after 91 days at 35°C, for microparticles produced by pilot-scale spray drying.  
333 The same authors noted that carotenoid stability in the microparticles was influenced by the  
334 particle porosity, with a retention that was typically higher for denser particles. In the study of

335 Haas and coworkers (2019), it was also shown that after 30 days storage, the rate of carotenoid  
336 loss leveled off for spray-dried particles. Therefore, we infer that the carotenoid loss in the  
337 microparticle produced by coacervation-starch co-drying (30 °C) would not drop much more  
338 than 79 %.

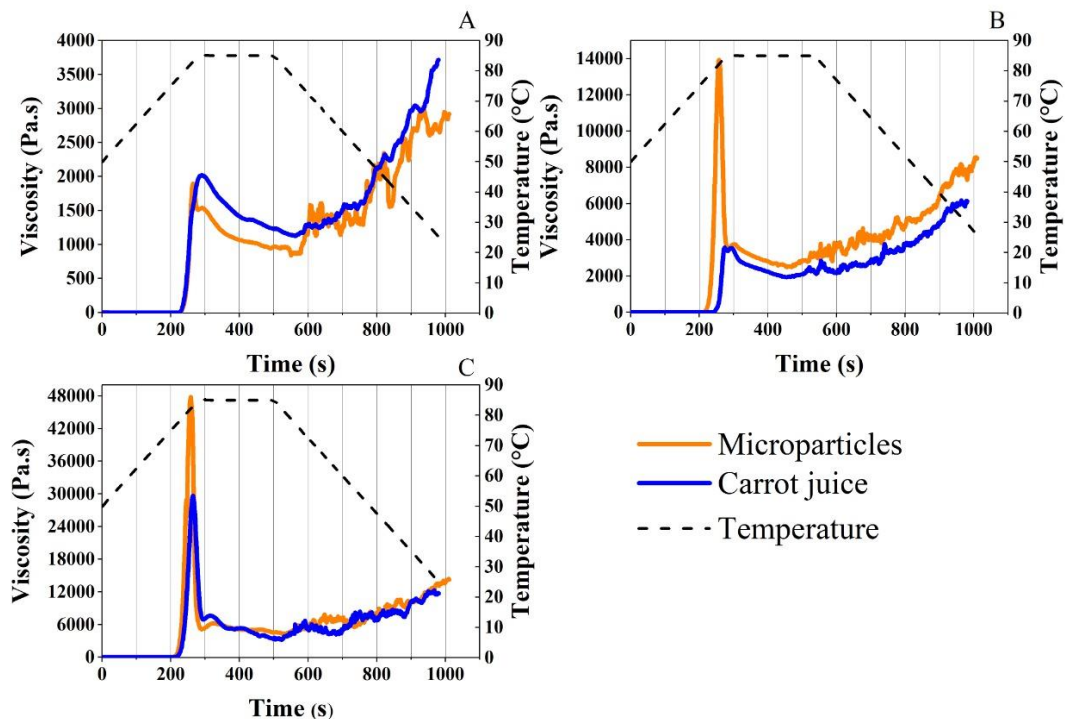
339 The laboratory-produced microparticles showed a narrow particle size distribution, with  
340 0.8 % of microparticles with effective sieve sizes smaller than 38 µm, 1.7 % with sieve sizes  
341 between 38 and 45 µm and 97.5 % with sieve sizes between 45 and 52 µm. The microparticles  
342 were characterize by a water content of  $9.8 \pm 0.2$  % in wet basis (wb) and water activity of 0.56  
343  $\pm 0.01$  (at 25 °C). It is important to note that the native cassava starch powder used as drying  
344 agent had a water content of 12 % (w/w). The results showed that the microparticle produced  
345 in the present work is at the maximum limit for the beginning of microbial growth. The  
346 minimum value of water activity in which microorganisms can grow is 0.60, and the minimum  
347 value for the growth of most bacteria is approximately 0.87 (Beuchat et al., 2013). Therefore,  
348 it was stored under refrigeration to ensure greater microbiological stability of the particle. From  
349 the analysis of water content in all stages of the encapsulation process, it can be said that the  
350 microparticles consist of approximately 75 % starch, 15 % biopolymers/juice components and  
351 10 % water.

352 **3.3 Physico-chemical properties of carotenoid fortified cassava gum**

353 Carotenoid contents of fortified cassava gum showed no statistically significant initial  
354 difference between samples prepared with juice ( $2.73 \pm 0.69$  mg/100g wb) versus those  
355 prepared with microparticles ( $2.71 \pm 0.73$  mg/100g wb). The same trend was observed for  
356 products after 30 days of storage, with the carotenoid content being  $2.27 \pm 0.92$  mg/100g (wb)  
357 for the juice-based cassava gum and  $2.26 \pm 0.79$  mg/100g (wb) for microparticle-based cassava  
358 gum. Carotenoid loss in both samples was determined to be 27 % after 30 days of storage at 10  
359 °C, in contact with air but protected from light. All samples showed water content in the range

360 of 40.5 to 46.5 % (w/w), which is higher than the minimum amount needed for tapioca  
361 formation (37 %) (Parente, et al., 2021). The water activity of all samples was 0.99, which is in  
362 agreement to previous work (Almeida, 2017), confirming that this is a highly perishable  
363 product.

364 The rheological profile of the samples presented in Fig. 3 shows the viscosity change as  
365 a function of temperature for the starch suspensions added by carrot juice or microcapsules.  
366 The pasting parameters values referring to the graphs are listed in Table 2. There was no effect  
367 of the type of ingredient (carrot juice or microparticles) on gelatinization in 40 % starch  
368 suspensions (Fig. 3). A significant effect of the type of ingredient added (juice or microparticle)  
369 to the starch suspension was only observed in the peak viscosity value (Table 2). The pasting  
370 temperature of all samples was approximately 77 °C, which was ten degrees higher than  
371 reported by Ai and Jane (2015) for 8 % cassava starch. The peak temperature ranged from 82  
372 to 85 °C, which is in accordance with the work of Ai and Jane (2015). It is noted that all  
373 suspensions containing microparticles and more than 50 % solids developed a steep curve with  
374 a larger and more defined drop in viscosity after gelatinization. The peak viscosity increases  
375 from  $1.8 \times 10^3$  Pa.s at 40 % (w/w) solids to  $13.2 \times 10^3$  Pa.s at 50 % (w/w) solids and  $51.6 \times 10^3$   
376 Pa.s at 55 % (w/w) solids (Table 2), which means an increase of 10 and 30 times more,  
377 respectively, for 50 and 55 % suspensions. Nevertheless, suspensions containing juice only  
378 showed increase of 7 times in peak viscosity when its starch concentration was 55 % (Table 2).



379

380  
381

Fig 3. Paste properties of starch suspension samples with carrot juice or microparticles added.  
(A) 40 % suspended solids, (B) 50 % suspended solids and (C) 55 % suspended solids.

382

383  
384

Table. 2. Rheological parameters of gelatinization process of starch suspensions fortified with carrot juice or microparticles.

Samples	Rheological Parameters		
	PT (°C)	PV (Pa.s)	PVT (°C)
40% SS-J	78.3 ± 0.2 <sup>a</sup>	1.8 x 10 <sup>3</sup> ± 213 <sup>a</sup>	85.2 ± 0.0 <sup>b</sup>
40% SS-M	77.1 ± 2.4 <sup>a</sup>	1.7 x 10 <sup>3</sup> ± 117 <sup>a</sup>	82.6 ± 1.1 <sup>a</sup>
50% SS-J	78.6 ± 1.0 <sup>a</sup>	3.9 x 10 <sup>3</sup> ± 388 <sup>b</sup>	83.7 ± 0.8 <sup>ab</sup>
50% SS-M	77.6 ± 0.3 <sup>a</sup>	13.1 x 10 <sup>3</sup> ± 790 <sup>c</sup>	82.6 ± 0.5 <sup>a</sup>
55% SS-J	77.1 ± 1.2 <sup>a</sup>	28.3 x 10 <sup>3</sup> ± 1255 <sup>d</sup>	83.0 ± 0.1 <sup>a</sup>
55% SS-M	76.4 ± 0.1 <sup>a</sup>	51.5 x 10 <sup>3</sup> ± 3765 <sup>e</sup>	82.2 ± 0.1 <sup>a</sup>

385  
386  
387

PT (Paste Temperature); PV (Peak viscosity); PVT (Peak viscosity Temperature). SS stands for suspended solids, J for juice and M for microparticles. The different lowercase letters (a, b, c, d, e) indicate significant differences ( $p < 0.05$ ) for each parameter presented per column.

388  
389390  
391  
392  
393

These results can be explained by the increase of frictional forces as a consequence of the swelling of starch granules during the temperature increase (Vamadevan & Bertoft, 2018; Zhang et al., 2018). This phenomenon results in a very high viscosity at high suspension concentration (> 50 % solids) that the viscosity value got even higher than the final viscosity after cooling, which is associated to the gel network formation. This same phenomenon can

394 explain the reason why samples with microparticles show higher PV (2-3 times) from the  
395 concentration of 50 % starch, thus the microparticles are increasing the molecular friction.  
396 Although the matrix of these microparticles is mainly composed by starch, the coacervated  
397 biopolymers probably reduced their swelling capacity, so that they were stiffer at gelatinization  
398 temperature.

399 All the above results indicate that the fortification of cassava gum with microparticles  
400 is feasible, since there was no difference in carotenoid stability when compared to juice sample,  
401 being the nutrient loss after 1 month of about 27 %. In addition, the microparticles affected only  
402 the viscosity during gelatinization, but did not have impacted the final gel.

403 **3.4 Physico-chemical properties of carotenoid-fortified tapiocas**

404 Table 3 shows the carotenoid and water content, as well the textural properties of  
405 fortified tapiocas. The tapiocas presented approximately a concentration of carotenoid of 2.5  
406 mg/100g (wb), independently of preparation temperature and type of nutritional ingredient  
407 added. According to Brazilian regulations (Brasil, 2005), all samples of fortified cassava gum  
408 could be claimed as “rich in vitamin A” and the prepared tapiocas would still give the benefit  
409 to the consumer.

410 Tapioca preparation temperature had an impact of carotenoid retention (Table 3).  
411 Immediately after preparation, tapiocas prepared at 200 °C using the juice-fortified cassava gum  
412 had a carotenoid loss of  $23.0 \pm 0.5\%$ , while the same formulation prepared at 300 °C had a  
413 slightly higher carotenoid loss of  $27.6 \pm 1.7\%$ . However, the preparation temperature did not  
414 significantly affect the carotenoid loss of tapiocas containing the microparticles, with  
415 carotenoid losses of  $21.8 \pm 0.5\%$  and  $22.2 \pm 0.6\%$  at 200 °C and 300 °C, respectively. These  
416 results indicate that by microencapsulating, the carotenoid is likely to be somewhat more  
417 protected from oxidation when exposed to the high temperatures encountered during tapioca  
418 preparation.

419 Table. 3. Textural properties, carotenoid and water content of tapiocas.

Carotenoid-fortified tapioca				
	Prepared with carrot juice (J)		Containing carotenoid microparticles	
	200 °C	300 °C	200 °C	300 °C
Carotenoid content (mg/100g wb)	2.58 ± 0.02 <sup>a</sup>	2.43 ± 0.06 <sup>b</sup>	2.61 ± 0.02 <sup>a</sup>	2.60 ± 0.02 <sup>a</sup>
Water content (%) w/w)	34.54 ± 0.51 <sup>a</sup>	34.39 ± 0.11 <sup>a</sup>	34.56 ± 0.40 <sup>a</sup>	34.41 ± 0.24 <sup>a</sup>
Hardness (N)	40.5 ± 2.13 <sup>a</sup>	83.6 ± 17.57 <sup>b</sup>	51.1 ± 3.37 <sup>ab</sup>	61.9 ± 16.69 <sup>ab</sup>
Springiness Index [-]	0.61 ± 0.06 <sup>a</sup>	0.56 ± 0.05 <sup>a</sup>	0.57 ± 0.03 <sup>a</sup>	0.56 ± 0.05 <sup>a</sup>
Cohesiveness [-]	0.55 ± 0.05 <sup>b</sup>	0.44 ± 0.01 <sup>a</sup>	0.53 ± 0.03 <sup>b</sup>	0.55 ± 0.02 <sup>b</sup>
Resilience [-]	0.14 ± 0.00 <sup>a</sup>	0.11 ± 0.00 <sup>a</sup>	0.13 ± 0.02 <sup>a</sup>	0.15 ± 0.02 <sup>a</sup>

420 The different lower-case letters (a, b) indicate significant differences ( $p < 0.05$ ) between  
 421 samples for the same analyzed parameter.  
 422

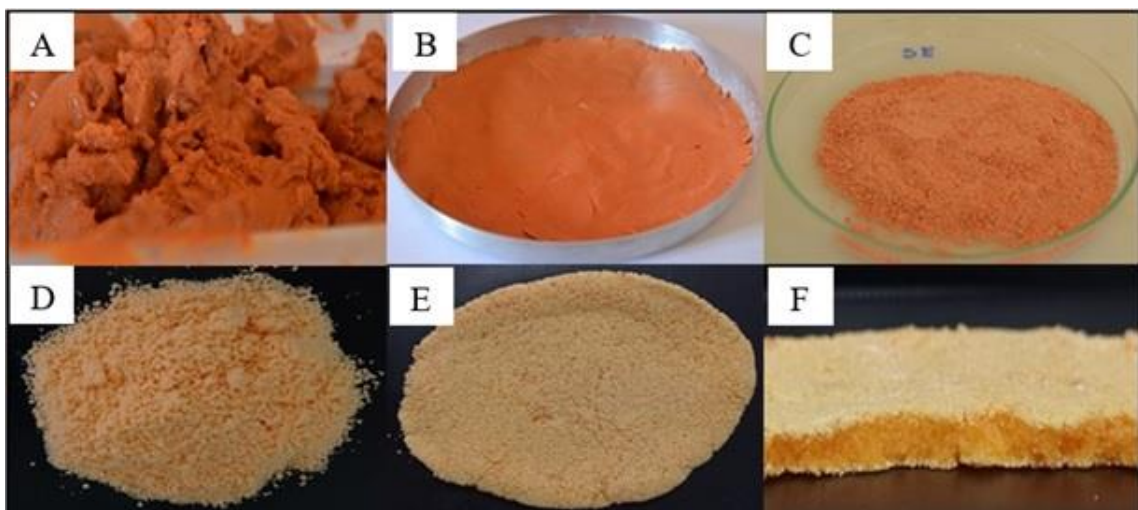
423 The water content of the prepared tapiocas was approximately 34.5 % for all samples  
 424 (Table 3), showing that cooking temperatures did not have a major impact of water loss during  
 425 the food preparation. Textural parameters obtained through TPA analysis did not show any  
 426 statistical differences among samples. TPA test gives mostly information on the core gel  
 427 characteristics under two compression cycles. The springiness indicated that this samples have  
 428 medium elasticity with a sample height recovery after first compression of about 57 %. The  
 429 very low resilience values (Table 3) indicate that the tapiocas do not return very fast to their  
 430 original state, at least slower than the probe velocity. The medium cohesiveness values  
 431 (approximately 55 %) indicate that the energy used in the second compression is half of the one  
 432 in the first compression. In other words, the tapiocas were hard under first compression (40 –  
 433 83 N), but their network bonds did not stand much the following compression cycle, showing  
 434 that it started to disintegrate. Such instrumental texture information is valuable for developing  
 435 new products, as texture plays an important role in the acceptance of food by consumers (Stieger

436 & Van de Velde, 2013). These texture results confirm that there was no impact of microparticles  
 437 on gel formation as observed by rheological gelatinization-retrogadation tests (Fig. 3).

438 **3.5 Color analysis of carotenoid microparticles and fortified cassava gum and tapioca  
 439 products**

440 Fig. 4 shows the visual images of the samples during the microencapsulation process  
 441 and the final products. Samples showed a vivid orange color during the encapsulation process,  
 442 which visually does not decrease in intensity between the coacervate sample after centrifugation  
 443 (Fig. 4A) and the final microparticle (Fig. 4C). The visually perceived color for the carotenoid  
 444 fortified gum (Fig. 4D) was less intense than that of the microparticles. It was noticed that the  
 445 gelatinized tapioca core (Fig. 4F) presented a visually more intense color than its crust (Fig.  
 446 4E) due to the fact that the crust has sintered and not fully gelatinized starch particles.

447



448  
 449 Fig 4. Visual images of the carotenoid samples during encapsulation process or as final  
 450 products. A) Complex coacervated sample after centrifugation, (B) Complex coacervated  
 451 sample dry-blended with cassava starch prior to drying; (C) Carotenoid microparticles;  
 452 (D) Carotenoid fortified cassava gum; (E) Top view of carotenoid fortified tapioca; (F)  
 453 Transversional seccction of carotenoid fortified tapioca.

454  
 455 Table 4 shows the color results of microparticles, gum and tapioca fortified after  
 456 production (initial storage time) and following 30 days of storage at 10 °C under ambient air  
 457 and protected from light. It was noted that the carotenoid microparticles had a reddish-orange

458 tint ( $h^* = 0.80$ ) based on positive results of the color parameters ( $a^* = 25.87$ ;  $b^* = 28.98$ ). The  
 459 luminosity value found ( $L^* = 65.6$ ) was similar to that described by Haas et al. (2019). The  $\Delta E$   
 460 value (4.47) suggests that the change in color after 30 days was classified as very distinct, being  
 461 easily detected by the human eye (Adekunte et al., 2010). This is likely related to the oxidation  
 462 of the carotenoid (García et al., 2018; Haas et al., 2019).

463

464 Table. 4. Color parameters of carotenoid microparticles and fortified gum immediately after  
 465 processing (day 0) and following 30 days of storage in plastic bags, at 10 °C, under air contact  
 466 and light protected.

	After Process (day 0)			After 30 days Storage		
	CM	Juice-Gum	CM-Gum	CM	Juice-Gum	CM-Gum
L*	65.6 ± 0.0	77.2 ± 0.0 <sup>a</sup>	76.6 ± 0.0 <sup>c</sup>	69.6 ± 0.0	81.3 ± 0.0 <sup>b</sup>	83.6 ± 0.1 <sup>d</sup>
a*	25.9 ± 0.0	7.7 ± 0.0 <sup>a</sup>	11.3 ± 0.0 <sup>c</sup>	25.9 ± 0.0	9.1 ± 0.0 <sup>b</sup>	15.8 ± 0.1 <sup>d</sup>
b*	28.9 ± 0.0	13.6 ± 0.3 <sup>a</sup>	12.6 ± 0.0 <sup>c</sup>	27.0 ± 0.0	13.9 ± 0.0 <sup>b</sup>	15.5 ± 0.1 <sup>d</sup>
C*	38.8 ± 0.0	15.6 ± 0.1 <sup>a</sup>	16.6 ± 0.0 <sup>c</sup>	37.4 ± 0.0	16.9 ± 0.0 <sup>b</sup>	22.1 ± 0.2 <sup>d</sup>
h*	0.8 ± 0.0	1.1 ± 0.0 <sup>a</sup>	0.8 ± 0.0 <sup>c</sup>	0.8 ± 0.0	1.0 ± 0.0 <sup>b</sup>	0.8 ± 0.0 <sup>c</sup>
$\Delta E_{T0 \times T30}$	( - )	( - )	( - )	4.47	4.29	8.79

467 The different lowercase letters (a, b, c, d) indicate significant differences ( $p < 0.05$ ) between  
 468 samples (effect of time and material added). CM stands for carotenoid microparticle.  
 469

470 A comparative evaluation of the color parameters (Table 4) between the two fortified  
 471 gum samples studied revealed that the gum with microparticles showed a higher red intensity  
 472 ( $a^*$  positive parameter), also being more reddish-orange (less hue) than the gum with juice, and  
 473 resulting in a higher chromaticity value.  $\Delta E$  values  $> 3$  identify a noticeable color change after  
 474 the storage period in both samples (Adekunte et al., 2010).

475 Table 5 shows the color results for the tapioca's crust and core after preparation at  
 476 different temperatures (200 °C and 300 °C). The luminosity ( $L^*$ ) value of crust was higher than  
 477 the value obtained for the core. On the other hand, the chroma value of the core was higher than  
 478 the value of the crust, denoting that crust has a lighter color with light orange tones. The  $\Delta E$   
 479 value of all tapiocas crost were very high (Table 5), indicating a very distinct difference ( $\Delta E >$   
 480 3) between the tapiocas prepared at the two temperatures. However, for the gelled core the  
 481 sample prepared with juice were less affected by temperature, showing a  $1.5 < \Delta E < 3$ , which  
 482 can still be visually perceived.

483

484 Table. 5. Color parameters of the crusts and core of the fortified tapiocas.

Tapioca's samples	L*	a*	b*	C*	h*	$\Delta E_{T20}$
0 x T300						
<b>Crust</b>						
CJ - 200 °C	78.1 ± 0.0 <sup>b</sup>	9.7 ± 0.0 <sup>b</sup>	28.5 ± 0.0 <sup>b</sup>	30.1 ± 0.0 <sup>a</sup>	1.2 ± 0.0 <sup>b</sup>	
CJ - 300 °C	73.8 ± 0.0 <sup>a</sup>	10.8 ± 0.0 <sup>a</sup>	36.7 ± 0.0 <sup>d</sup>	38.3 ± 0.0 <sup>d</sup>	1.0 ± 0.0 <sup>a</sup>	9.33
CM - 200 °C	78.8 ± 0.0 <sup>c</sup>	14.5 ± 0.1 <sup>d</sup>	26.8 ± 0.1 <sup>a</sup>	30.5 ± 0.1 <sup>b</sup>	1.3 ± 0.0 <sup>c</sup>	
CM - 300 °C	79.7 ± 0.1 <sup>d</sup>	9.9 ± 0.0 <sup>c</sup>	30.2 ± 0.2 <sup>c</sup>	31.8 ± 0.1 <sup>c</sup>	1.0 ± 0.0 <sup>a</sup>	5.73
<b>Core</b>						
CJ - 200 °C	56.3 ± 0.0 <sup>B</sup>	22.9 ± 0.0 <sup>B</sup>	38.8 ± 0.0 <sup>D</sup>	45.1 ± 0.0 <sup>C</sup>	1.1 ± 0.0 <sup>B</sup>	
CJ - 300 °C	57.8 ± 0.0 <sup>C</sup>	21.8 ± 0.1 <sup>A</sup>	38.1 ± 0.0 <sup>C</sup>	43.9 ± 0.1 <sup>A</sup>	0.9 ± 0.0 <sup>A</sup>	1.89
CM - 200 °C	60.1 ± 0.0 <sup>D</sup>	27.3 ± 0.1 <sup>D</sup>	37.7 ± 0.1 <sup>A</sup>	45.0 ± 0.1 <sup>BC</sup>	1.3 ± 0.0 <sup>C</sup>	
CM - 300 °C	53.1 ± 0.1 <sup>A</sup>	26.7 ± 0.1 <sup>C</sup>	35.9 ± 0.0 <sup>B</sup>	44.8 ± 0.1 <sup>B</sup>	0.9 ± 0.0 <sup>A</sup>	6.36

485 The different lower case letters (a, b, c, d) indicate significant differences ( $p<0.05$ ) between  
 486 crust samples for each parameter. Capital letters (a, b, c, d) indicate significant differences  
 487 ( $p<0.05$ ) between core gel samples for each parameter. Samples nomenclature: CJ – carrot  
 488 juice; CM – carotenoid microparticle; numbers indicate the tapioca preparation temperature.

489  
 490 **4 Conclusions**

491 We have shown that complex coacervation technique associated to centrifugation  
 492 provided a way to separate up to 87 % carrot serum and to concentrate up to five times carrot  
 493 carotenoid. Furthermore, we managed to dry the coacervated carrot juice solids with cassava  
 494 starch as drying agent to obtain a dry powder. The cassava starch used in the drying operation  
 495 is of the same type that is used in the preparation of the tapioca product that is traditional to the  
 496 Northeastern region of Brazil. In this way, an encapsulation efficiency of 79 % was achieved.  
 497 The process is also simple to be controlled and can be applied directly by local industries, since  
 498 it does not require sophisticated equipment and plant set up. By fortifying cassava gum with  
 499 the carrot carotenoid microparticle allows standardization of vitamin A concentration and to  
 500 target the recommended daily intake of carotenoid in tapioca product, which would not be  
 501 feasible if fortification is carried out by carrot juice addition. Also, it is easier to handle and to  
 502 dose powders rather than perishable liquids, like carrot juice, in food industries or in artisanal  
 503 productions. Only minor carotenoid losses were observed after tapioca preparation under heat  
 504 process (22 %) and during one-month storage of the fortified cassava gum at 10 °C and light

505 protected. Instrumental texture properties and color of the microparticle-cassava gum and the  
506 prepared tapioca were similar to the same products prepared with the carrot juice.

507 **Acknowledgements**

508 The authors acknowledge the Science, Technology and Innovation Ministry (MCTI) of  
509 Brazil for financial support through the program CVTSAN-UFPB and the Coordination of  
510 Improvement of Higher Education Personnel (CAPES), Brazil. Job Ubbink acknowledges  
511 partial USDA-NIFA funding from the Minnesota Agricultural Experiment Station (hatch  
512 project MIN-18-141).

513

514 **References**

- 515 Adekunte, A. O., Tiwari, B. K., Cullen, P. J., Scannell, A. G. M., & O'Donnell, C. P. (2010).  
516 Effect of sonication on colour, ascorbic acid and yeast inactivation in tomato juice. *Food  
517 Chemistry*, 122(3), 500–507. <https://doi.org/10.1016/j.foodchem.2010.01.026>
- 518 Ach, D., Briançon, S., Dugas, V., Pelletier, J., Broze, G., & Chevalier, Y. (2015). Influence of  
519 main whey protein components on the mechanism of complex coacervation with Acacia  
520 gum. *Colloids and Surfaces A: Physicochemical and Engineering Aspects*, 481, 367–374.  
521 <https://doi.org/10.1016/j.colsurfa.2015.06.006>
- 522 Ai, Y., & Jane, J. L. (2015). Gelatinization and rheological properties of starch. *Starch/Staerke*,  
523 67(3–4), 213–224. <https://doi.org/10.1002/star.201400201>
- 524 Almeida, E. G. de. (2017). Desenvolvimento de goma de mandioca colorida com bioativos da  
525 beterraba (*Beta Vulgaris*) [Universidade Federal Da Paraíba - UFPB]. In *Graduação*.  
526 <https://doi.org/https://repositorio.ufpb.br/jspui/handle/123456789/15714>
- 527 AOAC - Association of Official Analytical Chemists, 2016. Official methods of analysis of  
528 the Association of Official Analytical Chemists 20th ed. Rockville: A.O.A.C.
- 529 Beuchat, L. R., Komitopoulou, E., Beckers, H., Betts, R. P., Bourdichon, F., Fanning, S.,  
530 Joosten, H. M., & Kuile, B. H. T. (2013). Low-water activity foods: Increased concern as  
531 vehicles of foodborne pathogens. *Journal of Food Protection*, 76(1), 150–172.  
532 <https://doi.org/10.4315/0362-028X.JFP-12-211>
- 533 Brasil (2005). Ministério da Saúde. Agência Nacional de Vigilância Sanitária. Resolução. RDC  
534 n° 269, 22 de setembro de 2005. Aprova Regulamento Técnico sobre a Ingestão Diária  
535 Recomendada (IDR) de proteína, vitaminas e minerais. Diário Oficial República  
536 Federativa do Brasil, Brasília.
- 537 Cardoso, R. V. C., Fernandes, Â., González-Paramás, A. M., Barros, L., & Ferreira, I. C. F. R.  
538 (2019). Flour fortification for nutritional and health improvement: A review. *Food*

- 539    *Research International*,                                  125(May),                                  108576.  
 540    <https://doi.org/10.1016/j.foodres.2019.108576>
- 541 Chen, J., Li, F., Li, Z., McClements, D. J., & Xiao, H. (2017). Encapsulation of carotenoid in  
 542 emulsion-based delivery systems: Enhancement of  $\beta$ -carotene water-dispersibility and  
 543 chemical stability. *Food Hydrocolloids*, 69, 49–55.  
 544 <https://doi.org/10.1016/j.foodhyd.2017.01.024>
- 545 Falade, K. O., & Akingbala, J. O. (2011). Utilization of Cassava for food. *Food Reviews  
 546 International*, 27(1), 51–83. <https://doi.org/10.1080/87559129.2010.518296>
- 547 García, J. M., Giuffrida, D., Dugo, P., Mondello, L., & Osorio, C. (2018). Development and  
 548 characterisation of carotenoid-rich microencapsulates from tropical fruit by-products and  
 549 yellow tamarillo (*Solanum betaceum* Cav.). *Powder Technology*, 339, 702–709.  
 550 <https://doi.org/10.1016/j.powtec.2018.08.061>
- 551 Garrett, G. S., Luthringer, C. L., Yetley, E. A., & Neufeld, L. M. (2019). Food Fortification  
 552 Policy. In *Encyclopedia of Food Security and Sustainability* (Vol. 2). Elsevier.  
 553 <https://doi.org/10.1016/b978-0-08-100596-5.22068-4>
- 554 Gonçalves, A., Esteveiro, B. N., & Rocha, F. (2016). Microencapsulation of vitamin A: A  
 555 review. *Trends in Food Science and Technology*, 51, 76–87.  
 556 <https://doi.org/10.1016/j.tifs.2016.03.001>
- 557 Haas, K., Obernberger, J., Zehetner, E., Kiesslich, A., Volkert, M., & Jaeger, H. (2019). Impact  
 558 of powder particle structure on the oxidation stability and color of encapsulated crystalline  
 559 and emulsified carotenoid in carrot concentrate powders. *Journal of Food Engineering*,  
 560 263(July), 398–408. <https://doi.org/10.1016/j.jfoodeng.2019.07.025>
- 561 Han, H., Hou, J., Yang, N., Zhang, Y., Chen, H., Zhang, Z., Shen, Y., Huang, S., & Guo, S.  
 562 (2019). Insight on the changes of cassava and potato starch granules during gelatinization.  
 563 *International Journal of Biological Macromolecules*, 126, 37–43.  
 564 <https://doi.org/10.1016/j.ijbiomac.2018.12.201>
- 565 Janiszewska-Turak, E., Dellarosa, N., Tylewicz, U., Laghi, L., Romani, S., Dalla Rosa, M., &  
 566 Witrowa-Rajchert, D. (2017). The influence of carrier material on some physical and  
 567 structural properties of carrot juice microcapsules. *Food Chemistry*, 236, 134–141.  
 568 <https://doi.org/10.1016/j.foodchem.2017.03.134>
- 569 Janiszewska, E. (2014). Microencapsulated beetroot juice as a potential source of betalain.  
 570 *Powder Technology*, 264, 190–196. <https://doi.org/10.1016/j.powtec.2014.05.032>
- 571 Khalilian Movahhed, M., & Mohebbi, M. (2016). Spray Drying and Process Optimization of  
 572 Carrot-Celery Juice. *Journal of Food Processing and Preservation*, 40(2), 212–225.  
 573 <https://doi.org/10.1111/jfpp.12598>
- 574 Ngamwonglumlert, L., Devahastin, S., & Chiewchan, N. (2017). Natural colorants : Pigment  
 575 stability and extraction yield enhancement via utilization of appropriate pretreatment and  
 576 extraction methods. *Critical Reviews in Food Science and Nutrition*, 57(15), 3243–3259.  
 577 <https://doi.org/10.1080/10408398.2015.1109498>
- 578 Pacheco, S., De Oliveira, R., Luzimar, D. S., Passos, C., Pessanha, M., & Santos, J. (2011).

- 579 Adaptação Do Método De Extração De Carotenoides Para Escala De Micro-Extração. *IV*  
 580 *Reunião de Biofortificação, 1, 4.*
- 581 Páramo-Calderón, D. E., Aparicio-Saguilán, A., Aguirre-Cruz, A., Carrillo-Ahumada, J.,  
 582 Hernández-Uribe, J. P., Acevedo-Tello, S., & Torruco-Uco, J. G. (2019). Tortilla added  
 583 with Moringa oleífera flour: Physicochemical, texture properties and antioxidant capacity.  
 584 *LWT - Food Science and Technology*, 100(April 2018), 409–415.  
 585 <https://doi.org/10.1016/j.lwt.2018.10.078>
- 586 Pathare, P. B., Opara, U. L., & Al-Said, F. A. J. (2013). Colour Measurement and Analysis in  
 587 Fresh and Processed Foods: A Review. *Food and Bioprocess Technology*, 6(1), 36–60.  
 588 <https://doi.org/10.1007/s11947-012-0867-9>
- 589 Parente, G. D. L., Macêdo, F. A., Diniz, N. C. M., Conceição, M. M., Ubbink, J. B., Braga, A.  
 590 L. M. (2021). Traditional cassava-based food from the northeast of Brazil: observations  
 591 on the formation and textural properties of tapiocas (Submitted).
- 592 Rehman, A., Tong, Q., Jafari, S. M., Shehzad, Q., Aadil, R. M., Iqbal, W., Rashed, M. M. A.,  
 593 & Mushtaq, B. S. (2019). Carotenoid-loaded nanocarriers: A comprehensive review.  
 594 *Advances in Colloid and Interface Science*, 102048.  
 595 <https://doi.org/10.1016/j.cis.2019.102048>
- 596 Rodriguez-amaya, D. B., & Kimura, M. (2004). HarvestPlus Handbook for Carotenoid  
 597 Analysis. *International Food Policy Research Institute (IFPRI)*, 59.
- 598 Rutz, J. K., Borges, C. D., Zambiazi, R. C., Da Rosa, C. G., & Da Silva, M. M. (2016).  
 599 Elaboration of microparticles of carotenoid from natural and synthetic sources for  
 600 applications in food. *Food Chemistry*, 202, 324–333.  
 601 <https://doi.org/10.1016/j.foodchem.2016.01.140>
- 602 Stieger, M., & Van de Velde, F. (2013). Microstructure, texture and oral processing: New ways  
 603 to reduce sugar and salt in foods. *Current Opinion in Colloid and Interface Science*, 18(4),  
 604 334–348. <https://doi.org/10.1016/j.cocis.2013.04.007>
- 605 Tozer, S., O'Mahony, C., Hannah, J., O'Brien, J., Kelly, S., Kosemund-Meynen, K., &  
 606 Alexander-White, C. (2019). Aggregate exposure modelling of vitamin A from cosmetic  
 607 products, diet and food supplements. *Food and Chemical Toxicology*, 131(January),  
 608 110549. <https://doi.org/10.1016/j.fct.2019.05.057>
- 609 Ubbink, J., & Krüger, J. (2006). Physical approaches for the delivery of active ingredients in  
 610 foods. *Trends in Food Science and Technology*, 17(5), 244–254.  
 611 <https://doi.org/10.1016/j.tifs.2006.01.007>
- 612 Ubbink, J. (2018). Plasticization and antiplasticization in amorphous food systems. *Current  
 613 Opinion in Food Science*, 21, 72–78. <https://doi.org/10.1016/j.cofs.2018.05.007>
- 614 Vamadevan, V., & Bertoft, E. (2018). Impact of different structural types of amylopectin on  
 615 retrogradation. *Food Hydrocolloids*, 80, 88–96.  
 616 <https://doi.org/10.1016/j.foodhyd.2018.01.029>
- 617 Weinbreck, F., de Vries, R., Schrooyen, P., & de Kruif, C. G. (2003). Complex coacervation of  
 618 whey proteins and gum arabic. *Biomacromolecules*, 4(2), 293–303.

619       <https://doi.org/10.1021/bm025667n>

620       Zhang, Z., Wei, Q., Nie, M., Jiang, N., Liu, C., Liu, C., Li, D., & Xu, L. (2018). Microstructure  
621       and bioaccessibility of different carotenoid species as affected by hot air drying: Study on  
622       carrot, sweet potato, yellow bell pepper and broccoli. *Lwt*, 96(May), 357–363.  
623       <https://doi.org/10.1016/j.lwt.2018.05.061>

624

## 5 CONSIDERAÇÕES FINAIS

Pela primeira vez, uma definição físico-química de tapioca comercializada no Nordeste do Brasil foi fornecida na literatura científica. A tapioca é um produto elaborado à base de mandioca que se caracteriza por uma transição cristalina para fase amorfa em durante o seu preparo, e que inclui um grau de sinterização que varia entre o núcleo e a crosta dependendo de um equilíbrio entre a taxa de aquecimento, a taxa de evaporação da água, gelatinização do amido e a viscosidade da estrutura formada. A tapioca foi visualmente considerada um produto predominantemente amiláceo, na forma de um disco de baixa espessura, com estrutura contínua composta por uma região central gelificada e translúcida (núcleo) e superfície esbranquiçada ( $L^*$  aproximadamente 80) (crosta) mais seca que a núcleo, sendo possível dobrá-la sem quebrá-lo ou destruí-la. Devido ao alto teor de água (32,5-40% em base úmida) e atividade de água (0,93-0,96) medida em tapiocas preparadas em várias condições, a tapioca foi classificada como um alimento perecível. Portanto, deve ser consumido imediatamente após ser produzido. Quanto às propriedades físicas de textura, a tapioca foi classificada de acordo com o tempo de cozimento (120-210 s).

Misturas concentradas de amido de mandioca quando inserido em um processo térmico padronizado a 200 °C por 120 s formam materiais amiláceos distintos, dependendo da quantidade de água adicionada no sistema. A desintegração do grânulo foi verificada microscopicamente a partir de 35% de amido. Imagens do rompimento dos grânulos e da interface entre o gel e a superfície seca da tapioca foram registradas nesta pesquisa através do MEV. A amostra de amido nativo apresentou características do padrão de cristalinidade tipo A, o mesmo foi apresentado pelas amostras com 85 e 75 % (p / p) de amido, enquanto as amostras com 50 e 40 %, mostraram perda relevante do grau de cristalinidade decorrente do tratamento térmico aplicado. As propriedades reológicas das suspenções de amido apontam que a medida que a concentração de amido aumenta, os valores de PV (2033-167100 Pa.s), QV (992-165738 Pa.s), e VF (3303-21660 Pa.s) aumenta consequentemente e que as amostras com menor concentração de amido (40, 50 e 55%) apresentam VF maior do que PV.

Também foi realizado nesse estudo o desenvolvimento de uma técnica de encapsulação sustentável que concentra o suco de cenoura por meio do processo de coacervação complexa, removendo aproximadamente 87% de água e alguns compostos solúveis, e conseguiu secá-la posteriormente em temperatura amena (30 °C) aplicando o mesmo amido nativo utilizado na tapioca como agente secante, alcançando 79 % de

eficiência de encapsulação. As micropartículas também apresentaram alta retenção de carotenoides após 30 dias armazenadas em baixa temperatura e em contato com o ar. Esse processo também é simples de ser controlado e pode ser aplicado pelas indústrias locais, uma vez que não requer equipamentos sofisticados e montagem de planta. O enriquecimento da goma de mandioca com micropartículas de suco de cenoura é tecnologicamente viável, uma vez que o teor final de carotenoides no produto micropartícula goma de mandioca e correspondentes tapiocas foi superior a 30 % da RDI de vitamina A e de acordo com a legislação brasileira. Houve baixas perdas de carotenoides durante o armazenamento do pó da micropartícula de goma de mandioca (27 %) e após o preparo da tapioca pelo processo térmico (22 %). Todas as propriedades físico-químicas da micropartícula-goma de mandioca e da tapioca preparada foram semelhantes às dos mesmos produtos preparados com o suco fluido de cenoura.

Esses resultados auxiliam ainda na valorização da mandioca e seus derivados como a goma de mandioca e da tapioca no cenário internacional além de proporcionar a indústria alternativas para a expansão mercadológica de tais produtos gerando renda e crescimento da agricultura familiar do Brasil em especial na Região Nordeste.